

Mechanika hm. bodov

- 1) Základní kinematické veličiny, Newtonovy pohybové zákony
- 2) Inerciální a neinerciální systémy
- 3) První a druhá impulzní věta
- 4) Keplerovy zákony
- 5) Harmonický oscilátor
- 6) Pohyb s vazbami, d'Alembertův princip
- 7) Lagrangeovy rovnice II. druhu
- 8) Hamiltonovy kanonické rovnice, Poissonovy závorky
- 9) Hamiltonov variací princip

Mechanika tuhého tělesa

- 10) Eulerovy úhly a Eulerovy kinematické rovnice
- 11) Tenzor setrvačnosti
- 12) Eulerovy dynamické rovnice, pohyb jednoduch. setrvačnicka

Mechanika kontinua

- 13) Tenzor napětí a deformace, Hookův zákon
- 14) Rovnice struny a její řešení
- 15) Pohybové rov. ideální tekutiny, rov. kontinuity, Bernoulliho rov.
- 16) Viskózní tekutina, Navier-Stokesova rov., laminární a turbulentní p.

Speciální teorie relativity

- 17) Otázka éteru a Michelsonov-Morleyov experiment
- 18) Východní principy teorie relativity, Lorentzova transformace
- 19) Minkowského prostorečas, světelný kužel
- 20) Relat. pohybové rovnice, ekvivalence hmotnosti a energie
- 21) Maxwellovy rovnice ve M^4

Termodynamika a stat. fyz.

- 22) Teplo, teplota, tepelná kapacita, tlak
- 23) Vnitřní energie, termodynamické potenciály
- 24) Hlavní zákony termodynamiky, entropie
- 25) Ideální plyn, stavová rovnice, Carnotův cyklus
- 26) Fázový prostor, rozdělovací funkce, Liouvillova rovnice
- 27) Maxwellovo-Boltzmannovo rozdělení
- 28) Základní stat. rozdělení, stat. entropie

Elektrostat., stat. el. a mag. pole

- 29) Elektrostat. pole ve vakuu
- 30) Elektrostat. pole v přítomnosti vodičů a v dielektrikách
- 31) Stat. elektrické pole a elektrické proudy

- 32) Stat. magnetické pole
- 33) Mag. pole v látkovém prostředí

Elektrodynamika

- 34) Elektromag. indukce
- 35) Kvasistac. elektrické a magnetické pole
- 36) Elektrické obvody
- 37) Maxwellovy rovnice
- 38) Elektromagnetické potenciály a ich vlastnosti
- 39) Zákon zachování v teorii elmag. pole

Elektromagnetické vlny

- 40) Vlnová rovnice, rovinná elmag. vlna
- 41) Polarizační vlastnosti elmag. vln
- 42) Šíření elmag. vln v látkovém prostředí
- 43) Odraz a lom elmag. vln na rozhraní dvou prostředí
- 44) Elmag. vlny ve vlnovodech
- 45) Dipólové elmag. záření

Optika

- 46) Interference světla, optické interferometry
- 47) Koherence světla
- 48) Ohyb světla
- 49) Šíření světla v anizotropních látkách
- 50) Geometrická optika
- 51) Optické zobrazovací přístroje
- 52) Spektrální přístroje a základní metody optické spektro.
- 53) Základy holografie
- 54) Princip laseru
- 55) Tepelné záření, zákony záření absolutně černého tělesa

Strukt. atomů, molekul a kond. l.

- 56) Dualismus dual-cstice, fotoefekt, Comptonov rozptyl
- 57) Bohrov model atomu
- 58) Základní typy vazeb mezi atomy, meziatom. potenciál
- 59) Popis symetrie molekul a krystalů pomocí grup, krizi krystalů
- 60) Krystalová strukt. látek, základní typy mříží, prostorové grupy
- 61) Exp. studium strukt. látek pomocí r_{tg}, dif. podin, strukt. fakt.
- 62) Einsteinov a Debyeov model vibrací atomů v kond. l.
- 63) Molekulové orbitály, metoda LCAO, hybridizace orbitalů
- 64) Model volných a těměř volných e⁻, pásová strukt., Blochov Elm

Formalizmus QM

- 65) Popis stavů kvant. syst.
- 66) Repr. fyz. veličin, diskrétní a sp. spektrum, stac. SchR
- 67) Souřadnicová, impulsová a maticová repr. QM
- 68) Variacní metoda a stac. poruchová metoda hledání vázaných st.

Kvantová dynamika

- 69) Nestacionární SchR, rovnice kontinuity, Ehrenfestovy rovnice
- 70) Evoluce obecného kvant. systému, kvantové měření
- 71) Integroály pohybu, kvantová čísla, symetrie v QM

Jednoduché kvantové syst.

- 72) Kvant. energie pro vázanou částici: \square jáma a LHO
- 73) Volná částice, vlnové balčky, průchod částice poten. bariérou
- 74) Orbitální a spinový mom. hybnosti, základy skládání.
- 75) Částice ve sférickém potenciálu, atom vodíku
- 76) Částice v elmag. poli: Zeemanovo štepění, Larmorova precese
- 77) Systémy s více částicemi: nerozlišitelnost, Pauli, jednocas. app.

Jaderné záření

- 78) Interakce záření s látkou
- 79) Detekce a spektroskopie jaderného záření
- 80) Využití jaderného záření

Atómové jádro

- 81) Základní vlastnosti a charakteristiky jádra
- 82) Jaderné síly, vazba energie jádra
- 83) Radioaktivita, jaderné reakce
- 84) Jaderné zdroje energie

Částicová fyzika

- 85) Fundamentální částice
- 86) Hadrony
- 87) Základní interakce mezi částicemi, zákony zachování
- 88) Částicové experimenty

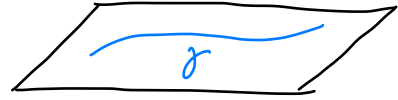
Mechanika hmotných bodů

Základní kinematické veličiny, Newtonovy pohybové zákony

- **kinematika** - opis pohybu tělesa
- základní pojmy:
 - 1) **prostor** - spojitý, homogenní, izotropický, euklidovský, 3D
 - 2) **čas** - spojitý, synchronní, 1D, rovnoměrně plynoucí
 - 3) **hmotný bod** - bezrozměrný objekt s hmotností

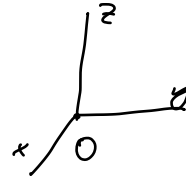
Trajektorie

- parametrická křivka $\gamma: \mathbb{R} \rightarrow \mathbb{E}^3$
- parameter - spojitý, značí čas nebo délka
- **dráha s** = délka trajektorie



Sústava souřadnic

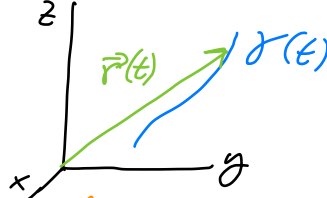
- vektorová báze v \mathbb{R}^3 a bod = počátek 0
- vč. nej měříme kinem. veličiny hm. bodu



Polohový vektor

- vektor popisující polohu hm. bodu v každém čase

$$\vec{r}(t) = \begin{pmatrix} x_1(t) \\ x_2(t) \\ x_3(t) \end{pmatrix}$$



Rychlost

- změna polohy za čas

$$\vec{v}(t) = \frac{d\vec{r}}{dt}(t) = \frac{d\vec{r}}{ds} \frac{ds}{dt} = \vec{e} v(t)$$

- tečna k trajektorii



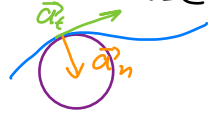
Zrychlení

- změna rychlosti za čas

$$\vec{a}(t) = \frac{d\vec{v}}{dt} = \underbrace{\frac{dv}{dt}}_{\text{tang.}} \vec{e} + \underbrace{\frac{v^2}{R}}_{\text{normálové}} \vec{n}$$

$$R \dots \text{poloměr obláčnicí kružnice}$$

$$\frac{d\vec{e}}{ds} = \frac{\vec{n}}{R}$$



Pohybové zákony

- 1) Existuje vzájemný systém (inerciální) vč. nemu sa každý izolovaný hmotný bod pohybuje rovnoměrně přímočaře.
- 2) Pro každý hmotný bod existuje vektorová funkce \vec{F} (síla), že jeho pohyb je vč. inerciálnímu vzájemnému systému daný $m\ddot{x} = \vec{F}$.
- 3) Vzájemné silové působení dvou těles sú rovnako veľké, ale opačne orientované

ad 1) izolovaný hm. bod → žádné prave síly
definuje inerciální vz. systém

ad 2) definuje sílu \vec{F} a konstantu měry $m \rightarrow$ hmotnost
zobecnění na proměnliv. hmotnost: $\vec{F} = \frac{d}{dt} \vec{p}$, $\vec{p} = m\vec{v} \dots$ hybnost
DE 2. řádu s netrivi. pravou stranou \vec{F}

ad 3) zákon akce a reakce

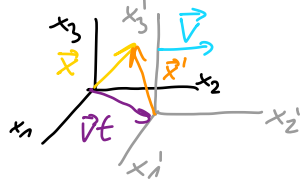
Inerciální a neinerciální soustavy

• inerciální v.ř. soustava - definovaná 1. N. Z.:

Existuje vzájemný systém (inerciální) vůči kterému se každý izolovaný hm. bod pohybuje přímočaře.

• třída vzájemných systémů je navzájem spojena Galileovou transformací:

$$\vec{x}' = \vec{x} - \vec{v}t$$



\vec{v} ... rychlost jedné syst. vůči druhé

• v i. s. s. platí $\sum_{\text{prave}} \vec{F} = 0 \Leftrightarrow \frac{d\vec{p}}{dt} = 0$

• v n. i. s. s. tato ekvivalence neplatí, tedy body se pohybují z 0 zrychlením

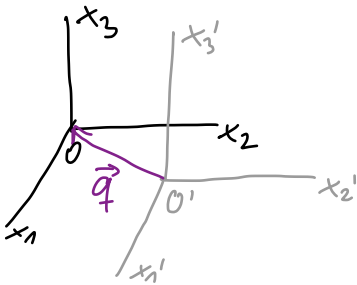
aj když na ně nepůsobí žádné síly

↳ přidáním zdanlivé, setrvačné síly \vec{F}_s už platí $\vec{F}_s + \sum_{\text{prave}} \vec{F} = 0 \Leftrightarrow \frac{d\vec{p}}{dt} = 0$

↳ 2. N. Z.:

$$\vec{F}_s = -m\vec{a}_0 \rightarrow \vec{a}_0 \dots \text{vnášivé zrychlení}$$

Zrychlená soustava



$\vec{q} = \vec{a}_0$... zrychlená soustava se pohyb. z 0 zrychlením

$$\vec{a} = \vec{a}_0 + \vec{a}' \Rightarrow \vec{a}_u = \vec{a}_0$$

Rotující soustava

• pro obecný vektor \vec{A} platí $\frac{d\vec{A}}{dt} = \frac{d\vec{A}'}{dt} + \vec{\omega} \times \vec{A}$
 kde $\frac{d\vec{A}'}{dt}$ je v rotující soustavě a $\vec{\omega}$ je úhlová rychlost soustavy

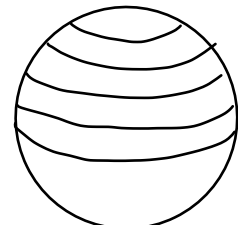
→ aplikací vzorce na $\vec{A} = \vec{v}$ dostaneme:

$$\vec{a} = \vec{a}' + \underbrace{\vec{\omega} \times \vec{v} + 2\vec{\omega} \times \vec{v}'}_{\vec{a}_u} + \vec{\omega} \times (\vec{\omega} \times \vec{r})$$

$\vec{F}_E = -m\vec{\omega} \times \vec{v}$... Eulerovo zrychlení

$\vec{F}_C = -2m\vec{\omega} \times \vec{v}'$... Coriolisova síla

$\vec{F}_d = -m\vec{\omega} \times (\vec{\omega} \times \vec{r})$... odstředivé zrychlení



• Foucaultovo kyvadlo - stačení roviny kyvadla vplyvom F_c
 ↳ dané zem. šírkou 215smie za den

1. a 2. impulzová vĕta

• sŭstava hm. bodov \vec{x}_i, m_i

• **hmotný stred** (Eárisko)

$$\vec{x}_{cm} = \frac{\sum m_i \vec{x}_i}{\sum m_i} = \sum \frac{m_i}{M} \vec{x}_i, \text{ kde } M = \sum m_i$$

• pohybová rovnica i-teho bodu

$$m \ddot{\vec{x}}_i = \sum_j \vec{F}_{ij} + \vec{F}_i^E \quad \leftarrow \text{externí síly}$$

• vŭsčítaním \forall bodov :

$$\frac{d}{dt} \vec{P} = \sum_i \sum_j \vec{F}_{ij} + \sum_i \vec{F}_i^E \rightarrow \vec{F}^E$$

celková hybnost $\rightarrow 0$ lebo $F_{ij} = 0$ a $F_{ij} = -F_{ji}$

1. impulzová vĕta: $\frac{d\vec{P}}{dt} = \vec{F}^E$ Časová zmena hybnosti celej sŭstavy je daná vŭslednicí vonkajšich síl.

\hookrightarrow pokiaľ $\frac{d}{dt} m_i = 0 \Rightarrow$

$$M \ddot{\vec{x}}_{cm} = \vec{F}^E$$

\rightarrow sŭstava sa pohybuje ako hmotný bod v mieste cm so silou danou vŭslednicou externých síl

• pre $\vec{F}^E = 0$ platí ZZH celej sŭstavy

• moment hybnosti i-teho bodu

$$\vec{l}_i = \vec{r}_i \times \vec{p}_i$$

• pohyb. rovnice i-teho bodu

$$\vec{r}_i \times (\sum_j \vec{F}_{ij} + \vec{F}_i^E) = \frac{d}{dt} (\vec{r}_i \times \vec{p}_i)$$

\hookrightarrow vŭsčítaním cez \forall body:

za predpokladu centrálnych síl $\rightarrow 0$

$$\sum_{i,j} \vec{r}_i \times \vec{F}_{ij} + \sum_i \vec{r}_i \times \vec{F}_i^E = \frac{d}{dt} (\sum_i \vec{l}_i)$$

2. impulzová vĕta: $\frac{d\vec{L}}{dt} = \vec{M}^E$ Časová zmena celkového momentu hybnosti sŭstavy je daná vŭslednicou externých síl.

\rightarrow pre \vec{M}^E platí ZZMH celej sŭstavy

\rightarrow mom. hybnosti sú vŭjadrené voči tomu istému fixnému bodu

• moment síly voči hm. stredu

$$\vec{M}^E = \vec{M}_{cm}^E + \vec{r}_{cm} \times \vec{F}^E$$

\rightarrow 2. IV voči hm. stredu:

$$\frac{d\vec{L}_{cm}}{dt} = \vec{M}_{cm}^E$$

\rightarrow máže rovnake ako 2. IV, lebo hm. stred sa máže hybať

Königova vĕta: Celková kinetická energia je daná súčtom kinetickej energie hm. streda a vnútornj energy.

$$T = \frac{1}{2} M v_{cm}^2 + T_I$$

$\hookrightarrow T_I = \frac{1}{2} \sum m_i \dot{\vec{x}}_{i,c}^2 \rightarrow$ voči hm. streda

\rightarrow pre energiu už nestačí pracovať iba s hm. stredom, treba započítat aj vnútornú energiu

Keplerove zákony

- Keplerova úloha - pohyb planét v centrálnom poli $V(r) = -\frac{GMm}{r} = -\frac{\alpha}{r}$
- sféricky symetrický potenciál \rightarrow sférické súradnice r, φ, θ
- pohyb je rovinný \Rightarrow uhlík θ
- φ je uhlík, tj. $\frac{\partial L}{\partial \varphi} = 0 \Rightarrow \frac{\partial L}{\partial \dot{\varphi}} = \mathcal{L} = mr^2\dot{\varphi}$ je zach. su vel.
- $\frac{\partial L}{\partial t} = 0 \rightarrow$ zachováva sa celková energia $E = T + V$
- zavedením substitúcie $u = \frac{1}{r} \rightarrow V(u) = -\alpha u$ dostaneme

$$\frac{d^2 u}{d\varphi^2} + u = \frac{\alpha m}{\mathcal{L}^2} \quad \text{Binetov vzorec} \quad \rightarrow \text{obecne je prava strana } -\frac{m}{\mathcal{L}^2} \frac{dV}{du}$$

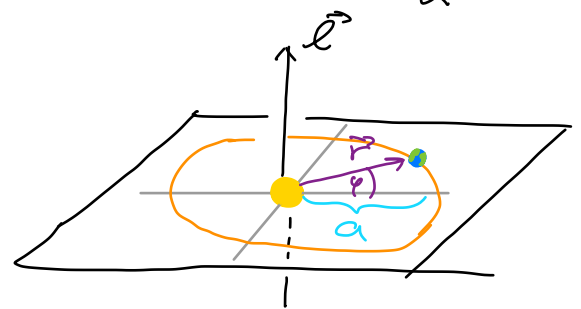
\rightarrow riešením dostaneme tvar trajektórie:

$$r(\varphi) = \frac{p}{1 + \epsilon \cos \varphi}$$

$$p = \frac{\mathcal{L}^2}{\alpha m}$$

$$\epsilon^2 - 1 = \frac{2\mathcal{L}^2 E}{\alpha^2 m} = \frac{2pE}{\alpha}$$

- \rightarrow kuželosečky
- $\epsilon = 0$... kružnica
 - $0 < \epsilon < 1$... elipsa
 - $\epsilon = 1$... parabola
 - $\epsilon > 1$... hyperbola



1. KZ: Planety sa pohybujú po elipsách so Slnkom v ohnisku.

\rightarrow planety sú väzani $\Rightarrow E < 0 \Rightarrow \epsilon < 1 \Rightarrow$ elipsa

2. KZ: Spojnice Slnca a planety opisujú za stejné časové intervaly stejné plochy

• element plochy: $dS = \frac{1}{2} r^2 d\varphi \Rightarrow \frac{dS}{dt} = \frac{\mathcal{L}}{2m} = \text{konst} \leftarrow$ zo ZMCH

3. KZ: Pro všetky planety je podíl $\frac{T^2}{a^3}$ konstanta.

$$a = \frac{p}{1 - \epsilon^2}$$

\rightarrow dostaneme integráciu $S = \int dS = \frac{\mathcal{L}}{2m} T \Rightarrow \frac{T^2}{a^3} = \frac{4\pi^2}{GM}$

$\hookrightarrow a$ je hlavná polosou

$$b = \sqrt{1 - \epsilon^2} p$$

\rightarrow časovú závislosť neme dostať z integrácie celk. energie E :

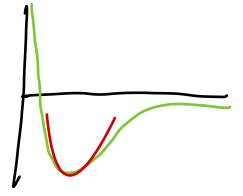
$$\frac{m}{2} (\dot{r}^2 + r^2 \dot{\varphi}^2) + V(r) = E = \text{konst} \Rightarrow t - t_0 = \int \frac{dr}{\sqrt{\frac{2}{m} [E - V(r) - \frac{\mathcal{L}^2}{2mr^2}]}}$$

$\downarrow \dot{\varphi} = \frac{\mathcal{L}}{mr^2}$

Harmonický oscilátor

• Taylorov polynóm obecného potenciálu v okolí lok. minima a :

$$V(x) = V(a) + x \frac{dV}{dx}\bigg|_a + \frac{x^2}{2} \frac{d^2V}{dx^2}\bigg|_a + \mathcal{O}(x^3) = \alpha x^2 + \beta$$



• obecný potenciál neme aproximovať pomocou harmonického potenciálu:

$$V(x) = \frac{1}{2}k(x-x_0)^2 \rightarrow \text{potenciálna energia pružiny}$$

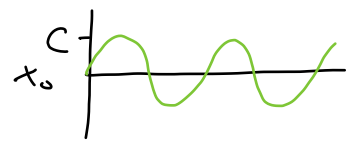
$$F = -V'(x) = -k(x-x_0) \rightarrow \text{príslušná sila}$$

• z Newtonovho 2. zákona: $m\ddot{x} = -k(x-x_0) \rightarrow \text{ODE 2. řadu}$

$$x(t) - x_0 = A \sin(\omega t) + B \cos(\omega t) = C \cos(\omega t + \delta)$$

$$\dot{x}(t) = -C\omega \sin(\omega t + \delta)$$

\rightarrow riešenie sú harmonické kmity s freq $\omega = \sqrt{k/m}$



$$E = T + V = \frac{1}{2}m\dot{x}^2 + \frac{1}{2}k(x-x_0)^2 = \frac{1}{2}m\omega^2 C^2$$

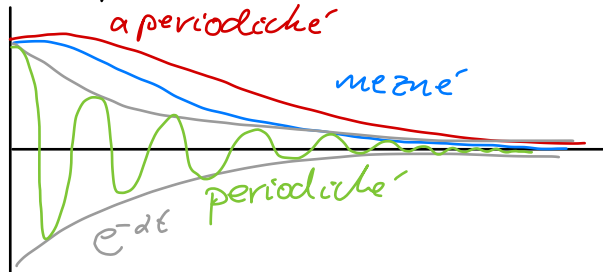
Tlumený oscilátor

\rightarrow trecia, brzdiaca sila $F_t = -b\dot{x} \Rightarrow m\ddot{x} = -kx - b\dot{x} \Rightarrow \ddot{x} + 2\alpha\dot{x} + \omega_0^2 x = 0$

\rightarrow ODE 2. řadu $\rightarrow \lambda_{1,2} = -\alpha \pm \sqrt{\alpha^2 - \omega_0^2}$

\rightarrow 3 druhy riešení

- \rightarrow aperiodické $\delta > \omega_0$ $x(t) = e^{-\alpha t} (C_1 e^{\sqrt{\alpha^2 - \omega_0^2} t} + C_2 e^{-\sqrt{\alpha^2 - \omega_0^2} t})$
- \rightarrow medzi aperiodické $\delta = \omega_0$ $x(t) = A(1 + \omega_0 t)e^{-\omega_0 t}$
- \rightarrow periodické $\delta < \omega_0$ $x(t) = Ae^{-\alpha t} \cos(\omega t + \delta)$



Vynucené harmonické kmity

• pridanie budiacej sily $F(t) = F_0 \cos \Omega t \Rightarrow \ddot{x} + 2\alpha\dot{x} + \omega_0^2 x = S \cos \Omega t$

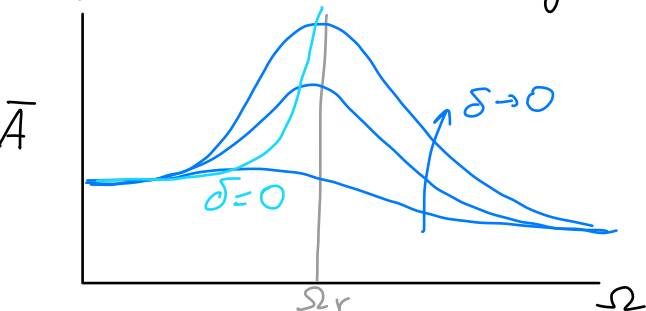
\rightarrow obecné riešenie: $x(t) = \underbrace{Ae^{-\alpha t}}_{\text{prechodové}} \cos(\omega t + \delta) + \underbrace{\frac{S}{\sqrt{\omega_0^2 - \Omega^2 + 4\alpha^2 \Omega^2}} \cos(\Omega t + \beta)}_{\text{ustálené}}$

• amplitúda ustálenej časti: $A' = \frac{S}{\sqrt{\omega_0^2 - \Omega^2 + 4\alpha^2 \Omega^2}} \rightarrow \text{extrém: } \frac{dS}{d\Omega} = 0$

$$\Rightarrow \bar{\Omega} = \sqrt{\omega_0^2 - 2\alpha^2}$$

$$A' = \frac{S}{2\alpha\sqrt{\omega_0^2 - \alpha^2}}$$

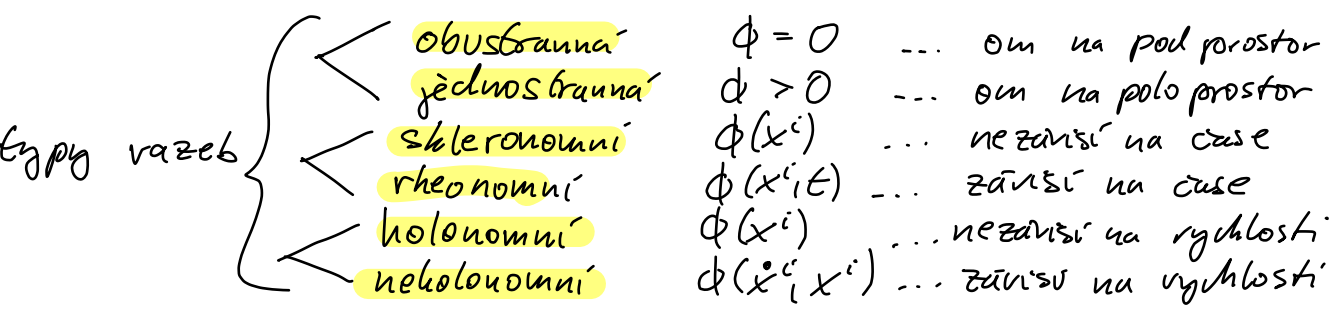
• rezonance - budici sila vyvola veľkí odevzu



• pre $\delta = 0$ je $A' \rightarrow \infty$ pokiaľ $\Omega = \Omega_r$

Pohyb s vazbami, d'Ambertov princip

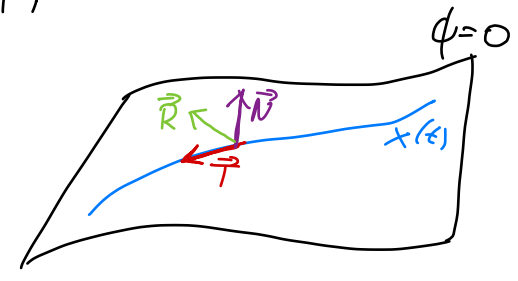
- vazba - apriorní podmínka na pohyb (na kuli, na ploše, ...)
- ↳ přísluší její síla \vec{R}
- ↳ zadání explicitní funkcí např. $\phi = x^2 + y^2 + z^2 - r^2 = 0$



- vazboví sílu víme rozložit jako $\vec{R} = \vec{T} + \vec{N}$ tečnou a normálovou
- ↳ normálovou složku víme vyjádřit jako $\vec{N} = \lambda \nabla \phi$, kde λ je nějaký parameter

⇒ Lagrangeovy rovnice I. druhu

$$m\ddot{\vec{x}} = \vec{F} + \vec{T} + \lambda \nabla \phi \quad \phi = 0$$



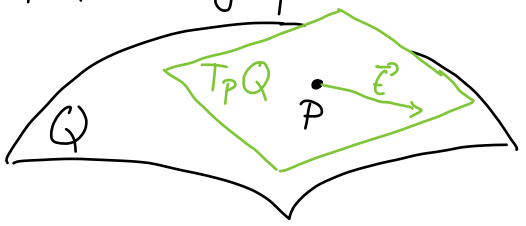
- λ - Lagrangeov multiplikátor - určime z $\phi = 0$
- \vec{F} - vtištěná síla
- \vec{T} sa zanedbáva: $m\ddot{\vec{x}} = \vec{F} + \lambda \nabla \phi, \phi = 0$

- \vec{T} má v prípade tretej sily tvar $\vec{T} = -f \frac{|\nabla \phi|}{|\nabla \phi|} \frac{\nabla \phi}{|\nabla \phi|}$
- v prípade \perp vazbo a N hm. bodov dosťanemo

$$m_1 = m_2 = m_3 \leftarrow m_i \ddot{x}_i = F_i + \sum_{\nu=1}^N \lambda_\nu \nabla \phi_\nu \quad \phi(x_1, \dots, x_{3N}) = 0 \quad \text{pro } i=1, \dots, 3N$$

d'Ambertov princip: Sústava N hm. bodov sa pohybuje tak, že $\sum_{i=1}^{3N} (m_i \ddot{x}_i - F_i) \delta x_i = 0$, pro \forall virtuálne posunutia δx_i v súlade s vazbami.

- Q varietu konfiguracného priestoru \rightarrow vymezená vazbami $\phi_\nu = 0$
- $T_p Q$ tečný priestor Q v bode P



geometricky môžeme formulovať:

$$(m\ddot{\vec{x}} - \vec{F}) \cdot \vec{E} = 0 \quad \text{pro } \forall \vec{E} \in T_p Q$$

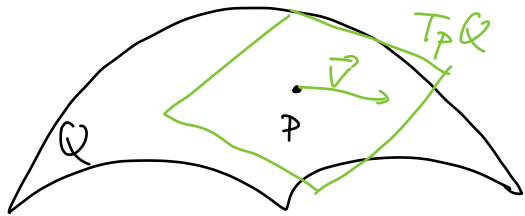
- d'Ambertov princip je plne ekvivalentný Lag. rovnicim I. druhu
- ↳ plguie z $\nabla \phi \cdot \delta \vec{x} = \nabla \phi \cdot \vec{E} = 0$ lebo $\nabla \phi$ je normála

Lagrangeove rovnice II. druhu

- **zobecnené souřadnice** q^i - souřadnice „ušíťe na míru“ problému
 - automaticky splňují vazby podmínky
 - q^1, \dots, q^n kde $n = 3N - v$
 - jednoznačně určují všechny polohy syst. = konfigurace
- pF: kyvado ... 2d pohyb $x, y \rightarrow$ zobecnené sŮr - vřchylka φ
- **konfigurační prostor** = prostor všech poloh daných q^i
 - není prostor všech fyz. stavů - chybějí rychlosti
- **zobecnené rychlosti** \dot{q}^i = dodatečné parametry nezáv. od q^i

\rightarrow splňují: $\frac{\partial q^i}{\partial q^j} = \delta_{ij}$ $\frac{\partial \dot{q}^i}{\partial \dot{q}^j} = \delta_{ij}$ $\frac{\partial q^i}{\partial \dot{q}^j} = 0$ $\frac{\partial \dot{q}^i}{\partial q^j} = 0$

\rightarrow rychlosti \dot{q}^i sŮ vektory tečného prostoru.



$$\vec{v} = (\dot{q}^1, \dot{q}^2, \dot{q}^3) \in T_P Q$$

• prostor všech fyz. stavů je tedy tečný bundl $TQ = \bigcup_{P \in Q} T_P Q$

• necht T je celková kinetická energie a $Q_i = \sum_j F_j \frac{\partial x^j}{\partial q^i}$ je zobecnená síla:

$$i=1, \dots, \underbrace{3N-v}_n \quad \frac{d}{dt} \left(\frac{\partial T}{\partial \dot{q}^i} \right) - \frac{\partial T}{\partial q^i} = Q_i \quad \text{Lagrangeove rovnice II. druhu}$$

\rightarrow sŮ plně ekvival Lag. rovnicám I. druhu, tj. Newtonovej pohyb. rovnici
 $\rightarrow n$ ODE 2. řádu pro neznáme $q^i(t)$

• v případě konzervativnej sily $F_j = -\frac{\partial V}{\partial x^j}$ platí $Q_i = -\frac{\partial V}{\partial q^i}$ dosazením:

$$\frac{d}{dt} \left(\frac{\partial L}{\partial \dot{q}^i} \right) - \frac{\partial L}{\partial q^i} = 0, \text{ kde } L = T - V \quad \rightarrow \text{mechanika je plně popisána 1 skalárnou fci}$$

• konz. síla sa dá ešte zobecnit na prípad
 $Q_i = \frac{d}{dt} \left(\frac{\partial V}{\partial \dot{q}^i} \right) - \frac{\partial V}{\partial q^i} \rightarrow$ **zobecnený potenciál**
 \rightarrow aj v takomto prípade $L = T - V$ rieši LRII

• dŮležitý prípad zobecneného potenciálu je poten. Lorentzovej sily

$$\vec{F} = q(\vec{E} + \vec{v} \times \vec{B}) \rightarrow V = q(\varphi + \vec{v} \cdot \vec{A})$$

kde $\vec{B} = \nabla \times \vec{A}$ a $\vec{E} = -\nabla \varphi - \frac{\partial \vec{A}}{\partial t}$

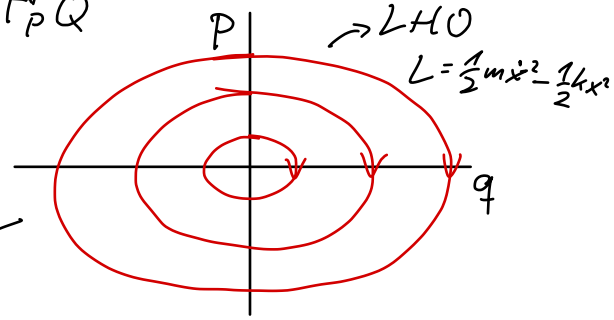
Hamiltonovy kanonické rovnice a Poissonovy závorky

- namísto rychlosti \dot{q}^i - **zobecněné hybnosti** $p_i = \frac{\partial L}{\partial \dot{q}^i}$
- popis pomocí združených proměnných (q^i, p_j) :

$$\frac{\partial p_i}{\partial p_j} = \delta_{ij} \quad \frac{\partial q^i}{\partial q^j} = \delta_{ij} \quad \frac{\partial p_i}{\partial q^j} = 0 \quad \frac{\partial q^i}{\partial p_j} = 0$$

- **fázový prostor** - prostor všech poloh a hybností dimenze $2n = 2(3N - v)$
 - bod fázového prostoru určuje fyzikální stav
 - kotecný bundl $T^*Q = \bigcup_{p \in Q} T_p^*Q$

↳ časový vývoj lze znázornit jako křivku na fázovém prostoru $(q(t), p(t))$



všimněte si, že různé křivky odpovídají různým poč. podm. ←

- **Hamiltonián:**

$$H(q^i, p_i, t) = \sum_i p_i \dot{q}^i(p_i, q^i, t) - L(q^i, \dot{q}^i(p_i, q^i, t), t)$$

- Legendrova transformace L , od \dot{q}^i do p_i
- invertováním $p_i = \frac{\partial L}{\partial \dot{q}^i}$ třeba rychlosti vyjádřit pomocí p_i

- Hamiltonián nelze najít vždy → musí být $p_i = \frac{\partial L}{\partial \dot{q}^i}$ invertní funkce
 ↳ Lagran. dostaneme spátnou transformací $\Rightarrow \det\left(\frac{\partial^2 L}{\partial \dot{x}_i \partial \dot{x}_j}\right) \neq 0$

- **Hamiltonovy kanonické rovnice**

$$\frac{dq^i}{dt} = \frac{\partial H}{\partial p_i} \quad \frac{dp_i}{dt} = - \frac{\partial H}{\partial q^i}$$

- soustava dvou ODE 1. řádu
- ekvivalentní LR II

- **Poissonovy závorky** dvou funkcí f, g na fázovém prostoru:

$$\{f, g\} = \sum_{i=1}^n \left(\frac{\partial f}{\partial q^i} \frac{\partial g}{\partial p_i} - \frac{\partial f}{\partial p_i} \frac{\partial g}{\partial q^i} \right)$$

- teorie Lieov algebra: linearita, antisymetrie, Jacobiho identita
- Leibnizovo pravidlo

- fundamentální Poissonovy závorky: $\{q^i, q^j\} = 0$ $\{p_i, p_j\} = 0$ $\{q^i, p_j\} = \delta_j^i$

- časový vývoj pozorovatelné f : $\frac{df}{dt} = \{f, H\} + \frac{\partial f}{\partial t}$

- f je integrál pohybu $\Leftrightarrow \{f, H\} = 0$
- H je integrál pohybu $\Leftrightarrow \frac{\partial H}{\partial t} = 0$

Hamiltonov variáčny princíp

• integrálny funkcionál: $F: C^n \mapsto \mathbb{R}$

$$F = \int_{\Gamma} f(x, y(x), y'(x)) dx$$

• nech f je extrém funkcionálu F , potom f rieši E-L:

$$\frac{d}{dx} \left(\frac{\partial f}{\partial y'} \right) - \frac{\partial f}{\partial y} = 0 \quad \Rightarrow \quad \delta F = 0$$

• v klasickej mechanike:

Pohyb sústav v čase $t \in [t_0, t_1]$ sa deje tak, že

$$\delta S = 0$$

, kde S je funkcionál akcie: $S = \int_{t_0}^{t_1} L(t, q^i(t), \dot{q}^i(t)) dt$

$L = T - V$ je Lag. fun., T je celková kinetická energia,
 V je zobecný potenciál:

$$\frac{d}{dt} \left(\frac{\partial V}{\partial \dot{q}^i} \right) - \frac{\partial V}{\partial q^i} = 0$$

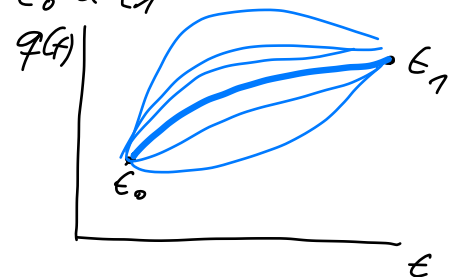
→ skutočná trajektória extrémizuje akciu

→ variácie prebieha cez \forall možné trajektórie medzi t_0 a t_1

→ automaticky z $\delta S = 0$ plynie LRII.

→ úloha má fixný poč. a koncový bod

→ predpoklad zobecného potenciálu
↳ dá sa rozšíriť aj pre nekonz. sily



→ najobecnější princíp mechaniky

• dá sa zobecnit aj na potné rovnice

$$q^i(t) \mapsto \phi(\vec{x}, t) \mapsto \phi(x^M) \quad \leftarrow \text{pole}$$
$$\dot{q}^i(t) \mapsto \phi_{, \nu}(x^M)$$

• od Lagrangianu sa prejde k Lagrangeovej hustote $L = \mathcal{L} dV$
a integruje sa cez p.c. element:

$$S = \int_{\Omega} \mathcal{L}(x^M, \phi(x^M), \phi_{, \nu}(x^M)) d\Omega \Rightarrow \sum_{M=0}^3 \frac{\partial}{\partial x^M} \left(\frac{\partial \mathcal{L}}{\partial \phi_{, \nu}(x^M)} \right) - \frac{\partial \mathcal{L}}{\partial \phi} = 0$$

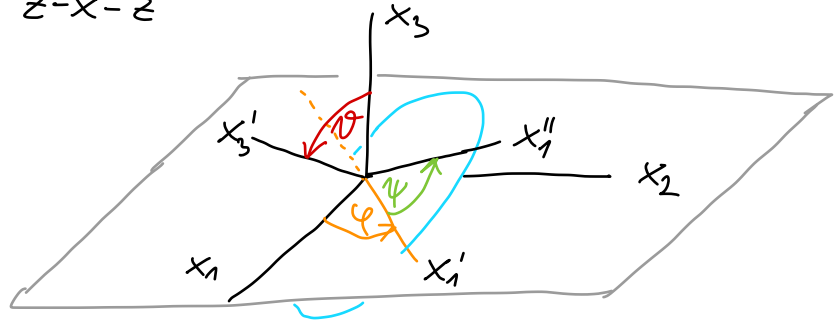
$\hookrightarrow d\Omega = \sqrt{|\det g|} dV dt$

Mechanika tuhého tělesa

Eulerovy úhly a Eulerove kinematické rovnice

- obecní rotaci ve 3D můžeme vyjádřit pomocí rotační matice $R_{\vec{n}}(\alpha)$, která je param. úhlem α a jednotkového vektoru \vec{n} , okolo kt. se rotuje
- alternativný popis je pomocí tzv. Eulerových úhlů, kt. vyjadřují posloupnost rotací okolo os Z-X-Z

- φ ... precesní úhel
- ϑ ... nutační úhel
- ψ ... rotační úhel



- rozlišujeme dvě báze \rightarrow korotující a fixní v prostoru
- v bázi spojené s prostorem:

$$D = \begin{pmatrix} \cos\varphi & \sin\varphi & & \\ -\sin\varphi & \cos\varphi & & \\ & & 1 & \\ & & & 1 \end{pmatrix} \quad C = \begin{pmatrix} 1 & & & \\ & \cos\vartheta & \sin\vartheta & \\ & -\sin\vartheta & \cos\vartheta & \\ & & & 1 \end{pmatrix} \quad B = \begin{pmatrix} \cos\psi & \sin\psi & & \\ -\sin\psi & \cos\psi & & \\ & & 1 & \\ & & & 1 \end{pmatrix}$$

\rightarrow výsledná matice $A = BCD$

\rightarrow tenzor úhlové rychlosti je daný $\Omega = \frac{dA}{dt} A^T$ v korotující bázi
 \rightarrow vďaka jeho asym. ho neme vyjadrit ako vektor

$$\Omega_i = \frac{1}{2} \epsilon_{ijk} \Omega_{jk} \quad \dots \text{vektor úhlové rychlosti}$$

\rightarrow celková úhlová rychlost Ω je daná součtem jednotlivých úhlových rychlostí v dané syr. sýstavě:

$$\Omega = \Omega^B + B\Omega^C + BC\Omega^D, \quad \text{kde} \quad \begin{aligned} \Omega^B &= (0, 0, \dot{\varphi}) \\ \Omega^C &= (0, \dot{\vartheta}, 0) \\ \Omega^D &= (0, 0, \dot{\psi}) \end{aligned}$$

\rightarrow dosazením za matice dostaneme Eulerove kinematické rovnice:

$$\begin{aligned} \Omega_x &= \dot{\varphi} \sin\vartheta \sin\psi + \dot{\vartheta} \cos\psi \\ \Omega_y &= \dot{\varphi} \sin\vartheta \cos\psi - \dot{\vartheta} \sin\psi \\ \Omega_z &= \dot{\varphi} \cos\vartheta + \dot{\psi} \end{aligned}$$

\rightarrow vyjádrené v bázi korotující s tělesem x, y, z

Tenzor setrvačnosti

- N hmotných bodů s hmotnostmi m^a a polohami \vec{r}^a $a=1, \dots, N$
- celkový moment hybnosti je daný ako

$$\vec{L} = \sum_a \vec{l}^a = \sum_a \vec{r}^a \times \vec{p}^a = \sum_a m^a \vec{r}^a \times \vec{v}^a = \sum_a m^a \vec{r}_x^a (\vec{\Omega} \times \vec{r}^a)$$

- skalárny súčin s lib. vektor $\vec{\xi}$: $\vec{L} \cdot \vec{\xi} = \sum_a m^a (\vec{\xi} \times \vec{r}^a) \cdot (\vec{\Omega} \times \vec{r}^a)$

\Rightarrow zavedieme **tenzor setrvačnosti** $I(\vec{\xi}_1, \vec{\xi}_2) = \sum_a m^a (\vec{\xi}_1 \times \vec{r}^a) \cdot (\vec{\xi}_2 \times \vec{r}^a)$

\rightarrow ve složkách $I_{ij} = I(e_i, e_j) = \sum_a m^a (\delta_{ij} x_k^a x_k^a - x_i^a x_j^a)$

\hookrightarrow v prípade spojitého tělesa: $I_{ij} = \int \delta_{ij} |\vec{x}|^2 - x_i^a x_j^a \, dm$

\rightarrow **kinetická energia** $T = \frac{1}{2} I(\vec{\Omega}, \vec{\Omega}) = \frac{1}{2} I_{ij} \Omega_i \Omega_j$

\rightarrow **mom. hybnosti** $L_i = I_{ij} \Omega_j$

\rightarrow ide o sym. tenzor (plynie zo skal. súčinu) \Rightarrow lze diagonalizovať

\Rightarrow báze hlavních os $\rightsquigarrow I_{11} = I_x \quad I_{22} = I_y \quad I_{33} = I_z$

$\rightarrow T = \frac{1}{2} (I_x \Omega_x^2 + I_y \Omega_y^2 + I_z \Omega_z^2)$

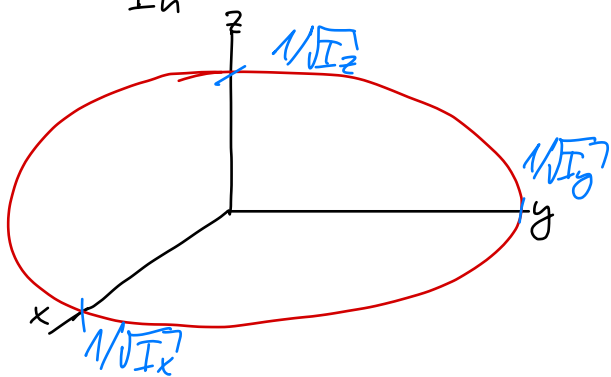
- označením $\vec{\Omega} = \Omega \vec{n}$, kde \vec{n} je osa okamžitého otáčení:

$$I_{\vec{n}} = I_{ij} n_i n_j \quad T = \frac{1}{2} I_{\vec{n}} \Omega^2$$

\hookrightarrow mom. zotrvačnosti vůči ose \vec{n} - skalární veličina

- I_{ij} určíme z meraním $I_{\vec{n}}$ vůči 6 různým osám

$\rightarrow \frac{I_{ij} n_i n_j}{I_{\vec{n}}} = 1 \Rightarrow$ v bázi hlavních os $I_x \xi_1^2 + I_y \xi_2^2 + I_z \xi_3^2 = 1$
 \hookrightarrow hranice elipsy \Rightarrow elipsoid zotrvačnosti



\rightarrow vůči libovolnéj osi \vec{n} dostame $I_{\vec{n}}$ vzdáleností k elipsoidu

$$I_{\vec{n}} = \frac{1}{|\vec{\xi}|^2} \quad \text{hde } \vec{\xi} \perp \vec{n}$$

- **Steinerova věta** Necht I_{ij}^0 je vůči ose procházející E ziskem, potom vůči ose posunutéj v smere \vec{a} je

$$I_{ij} = I_{ij}^0 + (\delta_{ij} a_k a_k - a_i a_j) m$$

$$I_{\vec{n}} = I_{\vec{n}}^0 + a_{\perp}^2 m$$

$\hookrightarrow a_{\perp}$ kolmá vzdálenost od \vec{n}

Eulerove dynamické rovnice, pohyb jednoduchých zotrvačiek

- 2. impulzová veta: $\frac{d\vec{L}}{dt} = \vec{M}$ → plati v bázi priestoru
- \vec{L} známe v bázi korotujúcej: $L_x = I_x \Omega_x$ $L_y = I_y \Omega_y$ $L_z = I_z \Omega_z$, kde I_i sú diag. elementy tenzoru I_{ij} v báze hl. os

• vzťah medzi bázi v priestore a korotujúcej:

$$\left. \frac{d\vec{L}}{dt} \right|_{\text{priestor}} = \left. \frac{d\vec{L}}{dt} \right|_{\text{teleso}} + \vec{\Omega} \times \vec{L}$$

hde $\vec{\Omega}$ je uhlová rýchlosť

• dosadením za $\left. \frac{d\vec{L}}{dt} \right|_{\text{teleso}}$ a užitím, že I_i sú konštanty dostaneme

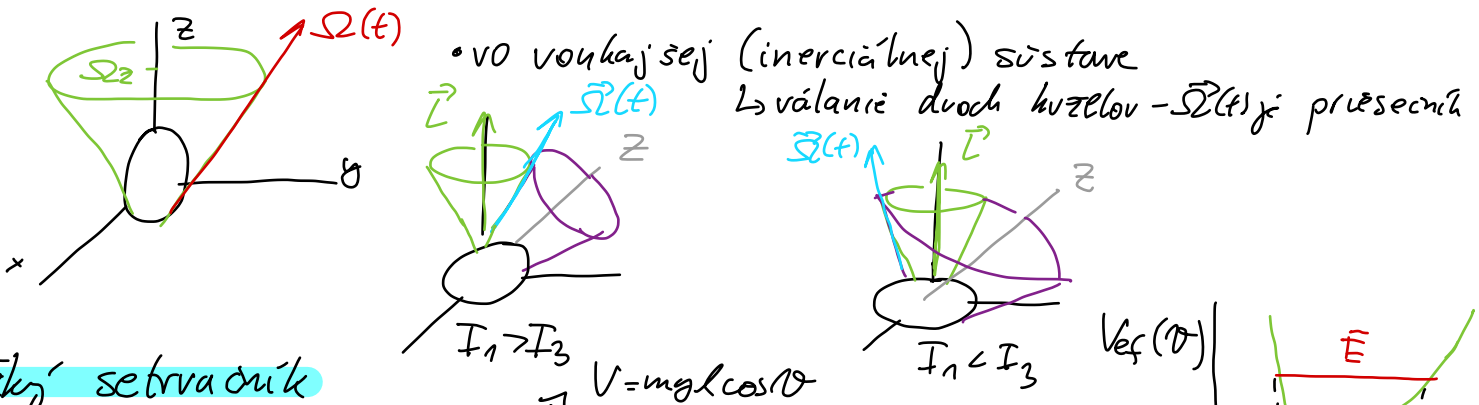
$$\begin{aligned} M_x &= I_x \dot{\Omega}_x - (I_y - I_z) \Omega_y \Omega_z \\ M_y &= I_y \dot{\Omega}_y - (I_z - I_x) \Omega_z \Omega_x \\ M_z &= I_z \dot{\Omega}_z - (I_x - I_y) \Omega_x \Omega_y \end{aligned}$$

Eulerove dynamické rovnice

→ zložky \vec{M} musia byť usporiadané v korotujúcej bázi $M_i(\varphi, \psi, \psi)$
 → neline. rovnice 1. rádi, pre obecné \vec{M} - zložite riešiť

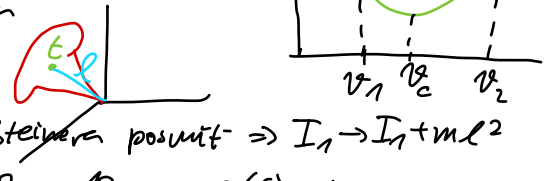
Volný setrvačnik

- symetrické teleso okolo osy z: $I_x = I_y$
- volný, bez silov $\Rightarrow \vec{M} = 0$
- celková uhlová rýchlosť $|\vec{\Omega}|$ sa zachováva
- Ω_z je konst a Ω_x, Ω_y oscilujú \Rightarrow regulárni precese



Težký setrvačnik

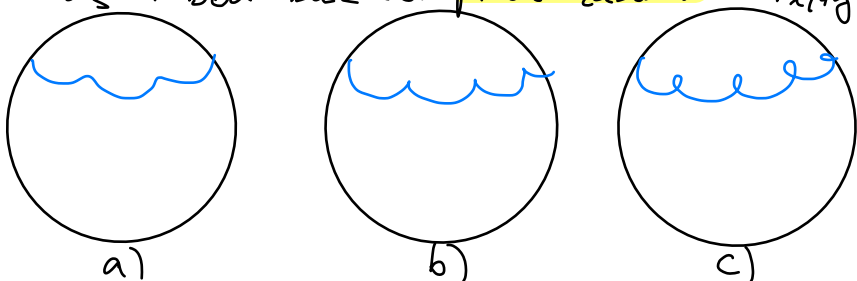
- setrvačnik s hmotnosťou m s fixným bodem $\Rightarrow V = mgl \cos \theta$
- okrem precese a rotácie - aj nutácie
- θ_s ... bod kde sa precese zastaví I_x, I_y bodom



pomocou Stejnereho posmit $\Rightarrow I_1 \rightarrow I_1 + ml^2$

- a) $\theta_s < \theta_1 \rightarrow \varphi(t)$ je rost
- b) $\theta_s = \theta_1 \rightarrow \dot{\varphi}(t) \geq 0 \Rightarrow$ 1 bod su zastavi
- c) $\theta_1 < \theta_s < \theta_2 \rightarrow \dot{\varphi}(t)$ roste cihlesa

$\theta = \theta_c \rightarrow$ reg. precese



Mechanika kontinua

Tenzor napätí a deformace, Hookov zákon

• trajektorie materiálových častíc je daná

$$x_i = X_i(X_k, t)$$

kde X_k je poč. poloha $X_i(X_k, 0) = X_i$, X je deformačné zobrazenie

← Lagrange - pohyb
Euler - sedí na mieste

• deformačný gradient $F_{ik} = \frac{\partial x_i}{\partial X_k} = X_{i,k}(X_j, t) \Rightarrow dx_i = F_{ik} dX_k$

• invariantná vzdialenosť

po deformácii: $dl^2 = dx_i dx_i = C_{kl} dX_k dX_l$ $C_{kl} = F_{ik} F_{il} = \frac{\partial x_i}{\partial X_k} \frac{\partial x_i}{\partial X_l}$

pred deformáciou: $dL^2 = dX_i dX_i = C_{kl} dX_k dX_l$ $C_{kl} = F_{ik}^{-1} F_{il}^{-1} = \frac{\partial X_i}{\partial x_k} \frac{\partial X_i}{\partial x_l}$

• tenzory deformácie - rozdiely od jedničiek:

lagrangeovský
 $E_{ij} = 1/2 (C_{ij} - \delta_{ij})$

eulerovský
 $e_{ij} = 1/2 (c_{ij} - \delta_{ij})$

• vyjadrením pomocou vekt. pole posunutí
→ dosadením derivácií

$$x_i = X_i + u_i$$

$$u_i(x_k, t) = x_i(x_k, t) - X_i(x_k, t)$$

$$\frac{\partial x_i}{\partial X_k} = \delta_{ik} + \frac{\partial u_i}{\partial X_k}$$

$$\frac{\partial x_i}{\partial x_k} = \delta_{ik} + \frac{\partial u_i}{\partial x_k}$$

dostaneme tenzory deformácie

$$E_{kl} = \frac{1}{2} \left(\frac{\partial u_k}{\partial X_l} + \frac{\partial u_l}{\partial X_k} + \frac{\partial u_k}{\partial X_l} \frac{\partial u_l}{\partial X_k} \right) \quad e_{ij} = \frac{1}{2} \left(\frac{\partial u_i}{\partial x_j} + \frac{\partial u_j}{\partial x_i} - \frac{\partial u_k}{\partial x_i} \frac{\partial u_k}{\partial x_j} \right)$$

→ zanedbaním členov s druhými der. dostaneme tenzory malých deformácií E_{ij}

→ diagonálne zložky - normálna deformácia, offdiag - smyková deformácia

• sila pôsobiaca na plochu $d\Sigma$

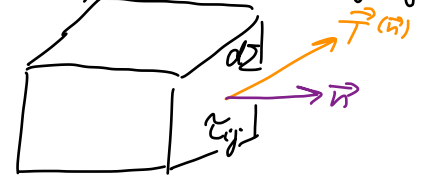
$$d\vec{F}_{\text{platin}} = \vec{T}^{(\vec{n})} d\Sigma, \text{ kde } T_i^{(\vec{n})} = \tau_{ij} n_j$$

• τ_{ij} je tenzor napätí

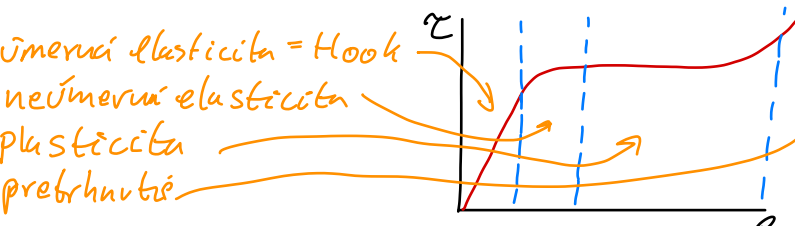
• \vec{p} : Maxwellov tenzor napätí

$$T_{ij} = - (D_i E_j + \beta_i H_j - 1/2 \delta_{ij} (H_k B_k + E_k D_k))$$

→ platí v prípade centrálnych síl



• z 2. impulzovej vety, rovnice kontinuity a pohybov. rovnice $\Rightarrow \tau_{ij} = \tau_{ji}$ symetrický



elastická → vrátenie do pôv. stavu
plastická → trvalá deformácia

→ charakt. čítky

$$\tau_{ij} = C_{ijkl} E_{kl}$$

• Hookov zákon - napätí je úmerné deformácii

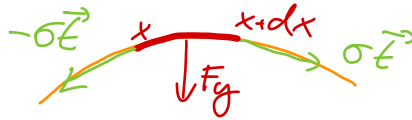
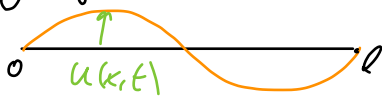
→ v prípade izotropného mat: $\tau_{ij} = \lambda \delta_{ij} E_{kk} + 2\mu E_{ij}$ Lamého koef

• z informácií o pôsob. silách chceme zistiť info o deformačných telesach
↳ dostupné rovnice → rovnice kontinuity, pohybov. rovnice, (číslové) vzťahy (Hook)

• v prípade 1D taku: $\tau = \frac{F}{S} = E \frac{\Delta l}{l_0} = C \epsilon$

Rovnice struny a její řešení

- struna charakt. lín. hustotou ρ , napětím σ , délkou l ,
- uvažujka v bode x a t je $u(x,t)$



- uvažujka je popisávána fci $y = y(x)$, tečna $\vec{e} = \left(1 + \left(\frac{dy}{dx}\right)^2\right)^{-1/2} \left(1, \frac{dy}{dx}\right)$
- Newton pro dx

$$m\ddot{x} = \rho dx \frac{\partial^2 u}{\partial t^2} = F_y = \sigma (t_y(x+dx) - t_y(x)) \approx \sigma dx \frac{\partial^2 u}{\partial x^2}$$

$$\Rightarrow \rho u_{,tt} - \sigma u_{,xx} = 0$$

- kin. ener. dx : $\frac{1}{2} \rho dx \left(\frac{\partial u}{\partial t}\right)^2 \rightarrow$ celková $T = \int_0^l \frac{1}{2} \rho \left(\frac{\partial u}{\partial t}\right)^2 dx$

- délka křivky $\lambda = \int_0^l \sqrt{1 + \left(\frac{dy}{dx}\right)^2} dx \approx \int_0^l \left(1 + \frac{1}{2} \left(\frac{dy}{dx}\right)^2\right) dx$

- potenciální energie $V = \sigma \cdot \Delta l = \sigma(\lambda - l) = \int_0^l \frac{1}{2} \sigma \left(\frac{\partial u}{\partial x}\right)^2 dx$

$$\Rightarrow \mathcal{L} = \frac{1}{2} \rho u_{,t}^2 - \frac{1}{2} \sigma u_{,x}^2 \quad \stackrel{E-L}{\Rightarrow} \quad \frac{\partial}{\partial x} \left(\frac{\partial \mathcal{L}}{\partial u_{,x}}\right) + \frac{\partial}{\partial t} \left(\frac{\partial \mathcal{L}}{\partial u_{,t}}\right) - \frac{\partial \mathcal{L}}{\partial u} = 0$$

$$\Rightarrow \rho u_{,tt} - \sigma u_{,xx} = 0 \quad c = \sqrt{\frac{\sigma}{\rho}}$$

d'Alembertova metoda řešení

- transformace souřadnic $x, t \rightarrow \xi = x - ct \quad \eta = x + ct \Rightarrow u_{,\xi\eta} = 0$
- \rightarrow jednoduchým vyintegrováním a použitím podm. $u(x,0) = u_0(x)$
 $u_{,t}(x,0) = v_0(x)$

dostaneme $u(x,t) = \frac{1}{2} (u_0(x-ct) + u_0(x+ct)) + \int_{x-ct}^{x+ct} v_0(x') \frac{dx'}{c}$

\rightarrow řešení pro nekonečnou strunu

Metoda Bernoulli - Fouriera

- \rightarrow pro fixní délku l
- \rightarrow fixní konce: $u(0,t) = u(l,t) = 0$
- \rightarrow řešení separací proměnných $u(x,t) = X(x)T(t)$
- \rightarrow z okraj. podm. dostaneme možné řešení

$$u_n(x,t) = \sin\left(\frac{\omega_n}{c} x\right) [a_n \cos(\omega_n t) + b_n \sin(\omega_n t)] \quad , \quad \omega_n = n\pi \frac{c}{l} \quad n \in \mathbb{N}$$

\rightarrow obecné řešení dostaneme LK:

$$u(x,t) = \sum_{n=1}^{\infty} u_n(x,t) \quad , \quad \text{konstanty určuje z FR:}$$

$$a_n = \frac{2}{l} \int_0^l \sin\left(\frac{\omega_n}{c} x\right) u_0(x) dx$$

$$b_n = \frac{2}{l} \int_0^l \sin\left(\frac{\omega_n}{c} x\right) v_0(x) dx$$

- v případě volných konců: $u_{,x}(0,t) = u_{,x}(l,t) = 0$
- \rightarrow řešení je podobné (en sa zmení $\sin\left(\frac{\omega_n}{c} x\right) \rightarrow \cos\left(\frac{\omega_n}{c} x\right)$ a přidá $\frac{a_0}{2}$)
- ak je brenie na koncoch struny:

$$\sigma u_{,x}(0,t) = b u_{,t}(0,t) \quad \sigma [-u_{,x}(l,t)] = b u_{,t}(l,t)$$

Pohybová rov. ideální tekutiny, rov. kontinuity, Bernoulliho rov.

- rovnice kontinuity vyjadřuje zachování hmoty:

$$0 = \frac{dm}{dt} \Rightarrow \frac{\partial \rho}{\partial t} + \nabla \cdot (\rho \vec{v}) = 0$$

→ kde $\frac{d\rho}{dt} = \frac{\partial \rho}{\partial t} + \vec{v} \cdot \nabla \rho$

- v případě nestlačitelné kapaliny je $\rho = \text{konst} \Rightarrow \nabla \cdot \vec{v} = 0$

- pohybová rovnice kontinua: $f_i + \frac{\partial \tau_{ij}}{\partial x_j} = \rho \left(\frac{\partial v_i}{\partial t} + v_j \frac{\partial v_i}{\partial x_j} \right)$

- f_i je hustotní síla a τ_{ij} je tenzor napětí
- v případě ideální tekutiny je $\tau_{ij} = -p \delta_{ij}$
↳ neviskozna

$$f_i + \frac{\partial p}{\partial x_i} = \rho \left(\frac{\partial v_i}{\partial t} + v_j \frac{\partial v_i}{\partial x_j} \right) \Rightarrow \vec{g} - \frac{1}{\rho} \nabla p = \frac{\partial \vec{v}}{\partial t} + \vec{v} \cdot \nabla \vec{v} \quad \text{kde } \vec{g} = \frac{1}{\rho} \vec{f}$$

↗ Eulerova rovnice

- rovnice kontinuity + Eulerova rovnice → pro 4 neznámé: ρ, \vec{v}
↳ Etah p určíme podľa vlastnosti plynu, např. adiab. cíd. ply $p = \rho g v$
- třeba zadat poč a okrajové podm → pro cíd tekutin je $v_n = 0$ k stene

- úpravou $\vec{v} \cdot \nabla \vec{v} = \nabla \left(\frac{v^2}{2} \right) - \vec{v} \cdot \nabla \times \vec{v}$, předpokladom neurvitého $\nabla \times \vec{v} = 0$, stacionarity $\partial_t \vec{v} = 0$ a ex. potenciálu $f = -\nabla \phi$ dostaneme integráccou

$$\frac{1}{2} v^2 + \phi + \int \frac{dp}{\rho} = \text{konst}$$

- pro nestlačitelnou kapalinu je $\rho = \text{konst} \Rightarrow \frac{1}{2} v^2 \rho + \rho \phi + p = \text{konst}$
↳ speciálně ak $\phi = gh$

$$\frac{1}{2} v^2 \rho + \rho gh + p = \text{konst}$$

- pro nestlačit kapalinu je $\nabla \times \vec{v} = 0 \Rightarrow$ ex ϕ , z č $\vec{v} = -\nabla \phi$
↳ navíc z rovnice kontinuity platí $\nabla \cdot \vec{v} = 0 \Rightarrow \nabla^2 \phi = 0 \dots$ Laplaceova rovnice
- analogiá z elmag: kladný náboj → vtok } \vec{E} je analogiá \vec{v}
záporný náboj → odtok }

Viskózní tekutiny, Navier-Stokesovi rov., lamin. a turb. proud.

• pohybová rovnice pro kontinuum:

$$f_i + \frac{\partial \tau_{ij}}{\partial x_j} = \left(\frac{\partial v_i}{\partial t} + v_j \frac{\partial v_i}{\partial x_j} \right) \rho$$

• newtonovská tekutina:

$$\tau_{ij} = -p \delta_{ij} + \lambda \delta_{ij} \frac{\partial v_k}{\partial x_k} + \mu \left(\frac{\partial v_i}{\partial x_j} + \frac{\partial v_j}{\partial x_i} \right)$$

↳ kde v_i je rychlostní proudění tekutiny

↳ p je izotropní tlak a λ, μ sú viskózne parametry

• předpoklad nestlačitelné kapaliny $\rightarrow \rho = \text{konst}$

\Rightarrow z rovnice kontinuity $\frac{\partial \rho}{\partial t} + \nabla \cdot (\rho \vec{v}) = 0$ dostaneme $\nabla \cdot \vec{v} = 0$

\Rightarrow člen s je nulový

\Rightarrow opravou dostaneme:

$$\vec{g} - \frac{1}{\rho} \nabla p + \nu \nabla^2 \vec{v} = \frac{\partial \vec{v}}{\partial t} + \vec{v} \cdot \nabla \vec{v}$$

\rightarrow Navier-Stokesova rovnice

$\rightarrow \nu = \frac{\mu}{\rho}$ je kinematická viskozita, $\mu = \mu$ je dynamická viskozita

• zavedením bezrozměrných veličin

$$g_i \rightarrow g'_i = \frac{g_i}{g} \quad v_i \rightarrow v'_i = \frac{v_i}{V} \quad x_i \rightarrow x'_i = \frac{x_i}{l}$$

kde l je typická délka, V je střední rychlost a g je grav. zrychlení má stacionární rovnice bezrozměrný tvar

$$\frac{1}{F} \vec{g}' - \nabla P + \frac{1}{Re} \nabla^2 \vec{v}' = \vec{v}' \cdot \nabla \vec{v}'$$

kde $P = \frac{p}{\rho g l}$
 $Re = \frac{lV}{\nu}$... Reynoldsova č.
 $F = \frac{V^2}{lg}$... Froudeova č.

• konstanty Re a F určují, které členy budú dominantné
 \rightarrow tie závisia na viac param \rightarrow řešení s rovnakými F, Re nazveme **geometricky podobné**

• podľa veľkosti Re môžeme rozdeliť na \leftarrow laminárne $Re \ll Re_{crit}$
 \rightarrow turbolentné $Re \gg Re_{crit}$
 $Re_{crit} \sim 10^3 - 10^4$

• laminárne - usporiadané, bez vírov, rovnobežné vrstvy

• turbolentní - chaotické, premiešavanie \rightarrow ťažko popisateľné

• parabolický zákon rozdeľení rýchlosti

viskózne tekutiny v trubici: $v(r) = \frac{\Delta p}{4\eta l} (R^2 - r^2)$

• množstvo pretečeného objemu

$$V = \pi \frac{\Delta p}{8\eta l} R^4 l \rightarrow \text{Hagen-Poiseill}$$



Speciálna teória relativity

Otázka éteru a Michelson-Morleyov experiment

• **Newtonovy pohyb. rovnice** - predpoklad existence **absolútneho času** a **absolútneho priestoru** (inerciálna sústava) \mathbb{E}^3

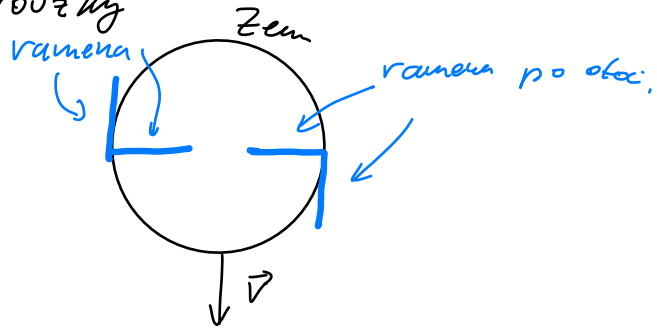
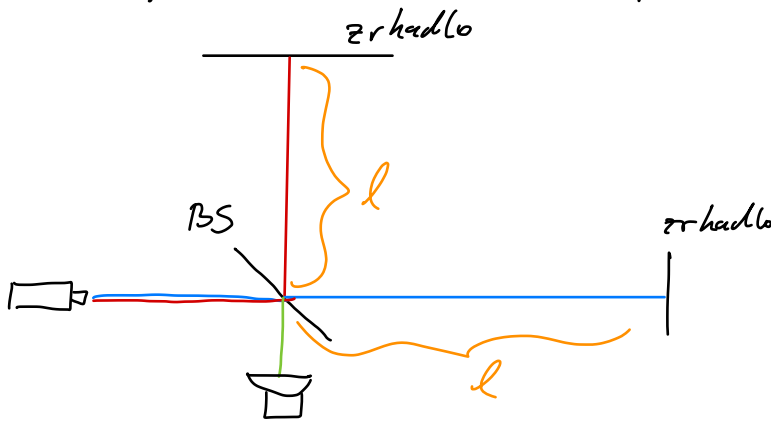
- voči tejto sústave sú dané pohyb. rovnice
- nezávisia na hmote - proste existujú
- Galileovska transformácia - existuje celá trieda iner. sústav

• **éter** - médium, pole, v ktorom sa svetlo šíri mechanicky priamo
- nemohol mechanicky interagovať s prostredím
⇒ privilegovaná absolútna sústava éteru

• **Maxwellove rovnice** - svetlo = elmag. vlnenie
- konečná rýchlosť svetla c
- **nie sú inv.** voči Galileovskej transf.
⇒ v inerciálnej sústave, ktorá sa pohybuje rýchlosťou \vec{v} sa bude svetlo šíriť **rozdielnymi rýchlosťami** v rôznych smeroch
→ **sústava éteru** = svetlo sa šíri rovnako \forall smermi
→ Zem sa pohybuje voči éteru ⇒ rýchlosť svetla bude v dvoch rôznych smeroch rozdielna

Michelson-Morleyov experiment

• chceme zmerať rozdielnu rýchlosť svetla v rôznych smeroch
⇒ interferencia svetla → interferenčný pruh



• posun vlny v medzi dvoch ramienami $\Delta L \approx L \frac{v^2}{c^2}$
↳ približne lebo $v \approx 10^{-4}c$ je cca rýchlosť Zeme
• meranie spravíme druhý krát, len otočíme ramená ⇒ $\Delta L \approx L \frac{v^2}{c^2}$
→ medzi týmito dvomi meraniami by mal byť pozorovateľný posun
IF pruhov
$$n = \frac{2\Delta L}{\lambda} = \frac{2Lv^2}{\lambda c^2}$$

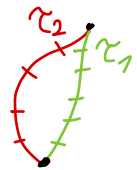
→ pre $\lambda = 500 \text{ nm}$, $L = 11 \text{ m}$ a $v = 30 \text{ km/s}$ je $n = 0,44$
→ pozorované nič nebolo ⇒ vyvrátenie teórie éteru

Výchozí principy teorie relativity, Lorentzova transformace

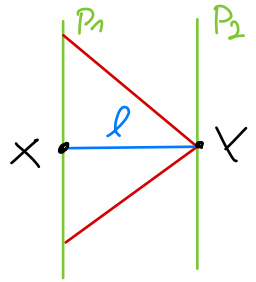
- maximální rychlost** je konečná, daná rychlostí světla ve vakuu, $c = 3 \cdot 10^8 \text{ m/s}$
- inerciální systém** - referenční systém souřadnic, vůči nemu se každý volný pozorovatel pohybuje rovnoměrně přímočaře
 - existuje celá třída IS která sa navz. pohyb. rovno. přímočaře
 - **realizace**: 1) sys. tuhých volných poz., kt. sa navzájom nepoh. 2) časová souřadnice daná vl. časem poz. 3) **synchronizace** hodin vol. poz 4) \mathbb{E}^3 v nadrovině sůč. \Rightarrow **kartézku báze**



- ekvivalence IS** - každá IS je rovnako dobrá - neex. privilegovaná - c je v každej sústave rovnaké
- vlastní čas** - čas meraný hodinami volného pozorovatele
 - ekvival biologickému času
 - parameter křivky, světocáry, poz.



- světocára** - trajektorie poz. ve 4D prostoru
- synchronizace hodin** - mezi 2 volnými poz., kt. sa vzájomne nepohyb.
 - definice současnosti v 1 sústave vzáj. nepohyb.
 - 1) p_1 vyšle sv. signál
 - 2) p_2 ho odrazí naspát
 - 3) p_2 nazve $t_1 = 0$ čas kdy odrazil
 - 4) p_1 nazve $t_2 = 0$ čas v strede vyslaním a odrazením \Rightarrow současnost je relace ekvival v danej IS.



z ekvivalence IS nemůže být Galileova trans správná

Lorentzova transformace

- transformace báze mezi dvěma IS, kt. sa navzájom pohyb. v
- předpoklad linearitý transformace \rightarrow plynie z transf. vlastnosti metriky
- speciální případ pohyb v 1D
- pohyb počátku, z rovnocennosti IS a konečné rychlosti sv. plynie

$$t' = A t + B x \quad x' = A t + B x$$

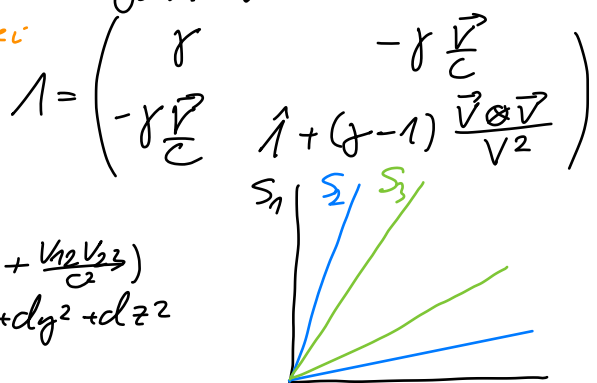
$$A = \begin{pmatrix} \gamma & -\gamma v/c \\ -\gamma v/c & \gamma \end{pmatrix} \quad \begin{matrix} \gamma v/c = \gamma \frac{v}{c} \\ \gamma = \frac{1}{\sqrt{1 - v^2/c^2}} \end{matrix}$$

$$c t' = \gamma (c t - \frac{v}{c} x) \quad x' = \gamma (-v t + x)$$

- obecná Lorentzova transformace do sůč. s rychl. \vec{v} :

Důsledky:

- relativita souměrnosti: $\Delta x = v \Delta t$
- relativita současnosti: $\Delta t' = -\gamma \frac{v}{c^2} \Delta x$
- kontrakce délek: $l = l_0 / \gamma$
- dilatace času: $\Delta t = \gamma \Delta \tau$
- transformace rychlosti: $v_{13} = (v_{12} + v_{23}) / (1 + \frac{v_{12} v_{23}}{c^2})$
- invariance p.c. intervalu: $ds^2 = -c^2 dt^2 + dx^2 + dy^2 + dz^2$



Minkowského prostorčas, svetelný kužel

- Minkowského prostorčas - 4D plochy
 - affinní prostor - tj. každým 2 bodům lze jednoznačně prirudit vektor \Rightarrow existence rovnoběžnosti
 - kauzálna struktura - daná orientací sv. kužela
 - metrická struktura - měření vzdáleností
- vdáka plochosti su další všetky teorie prostoroj zjednotiť \Rightarrow glob. affinita
- Minkowského metrika:

$\eta_{\mu\nu} = \text{diag}(-1, 1, 1, 1)$ \rightarrow pseudo-metrika, lebo vzdálenost môže byť záp.

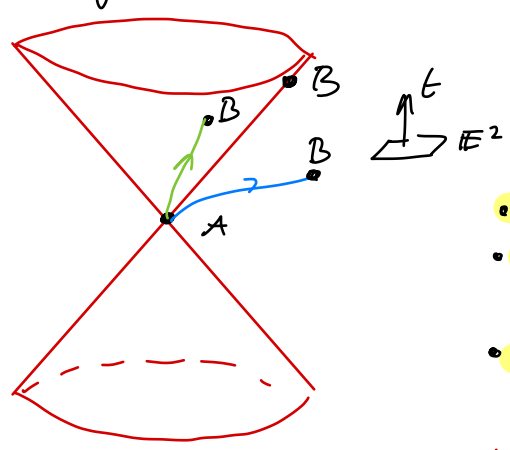
- Lorentzova transformace Λ - matice prechodu medzi bázami
- Lorentzove transformace tvorí $SO(3,1)$ grupu
 - \hookrightarrow generátory: 3 rotácie a 3 boosty

invariantnosť metriky: $\eta_{\mu\nu} = \Lambda_{\mu}^{\alpha} \eta_{\alpha\beta} \Lambda_{\nu}^{\beta}$

p.č. interval - invariant: $ds^2 = -cdt^2 + dx^2 + dy^2 + dz^2$

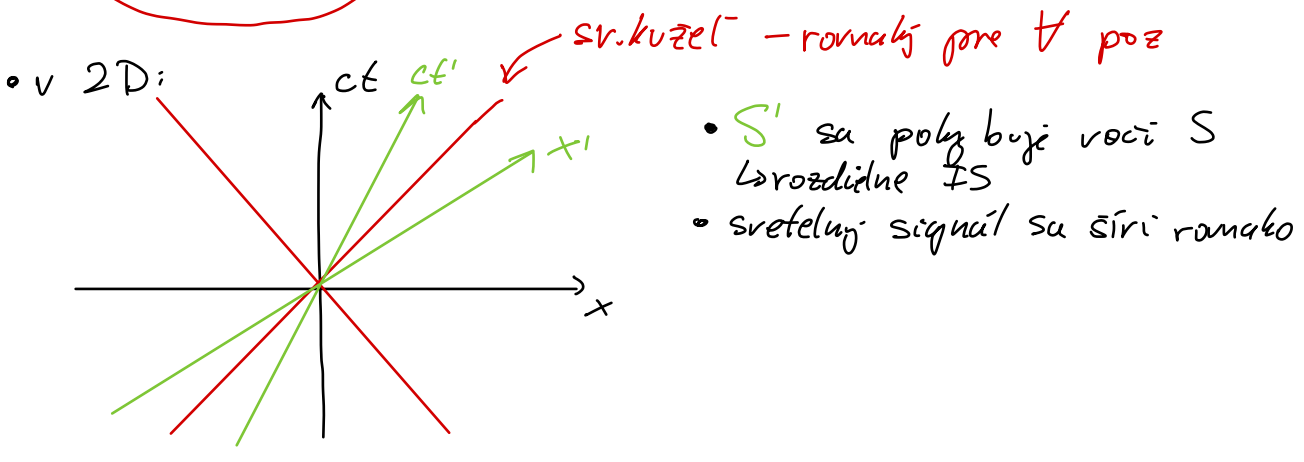
- dve udalosti A, B v p.č. nazveme:
 - časupodobne $\Delta S_{AB} < 0$
 - prostorupodobne $\Delta S_{AB} > 0$
 - svetelné $\Delta S_{AB} = 0$

- časupodobne udalosti sa mohli navzájom ovplyvniť
- svetelný kužel - znázornenie kauzálnych udalostí



vektory rozdelené na $\begin{cases} \text{č.p.} & |V|^2 < 0 \\ \text{p.p.} & |V|^2 > 0 \\ \text{sv.} & |V|^2 = 0 \end{cases}$

- hranica - šírenie sv. signálu
- vnútro - časupod. udalosti, mohli sa ovplyvniť - minulosť, budúcnosť
- vonkajšok - prostorupod. udalosti



Relativistické pohybové rovnice, ekvivalence hmotnosti a energie

- trajektorie částice - $z(\alpha) : \mathbb{R} \rightarrow M$, souřadnice $x^M(z(\alpha)) = x^M(\alpha)$
 - tečný vektor $w^M = \frac{d}{d\alpha} x^M(\alpha)$
 $w^2 < 0$ hmot. částice $w^2 = 0$ nehmotná částice $w^2 > 0$ tachyon

vlastní čas: $\Delta \tau = \int \sqrt{-\eta_{\alpha\beta} w^\alpha w^\beta} d\alpha$

- parametrizace v. časem: $x^M = x^M(\tau)$

→ 4-rychlost: $u^M = \frac{dx^M}{d\tau}$ → 4-zrychlení: $a^M = \frac{d^2 x^M}{d\tau^2} = \frac{du^M}{d\tau}$
 $\eta_{\mu\nu} u^\mu u^\nu = -c^2$ ↳ $\eta_{\mu\nu} a^\mu u^\nu = 0$ → kolmé
 ↳ konstantní délka

3+1 rozštěpení: $x^M = \begin{bmatrix} c\tau \\ \vec{r} \end{bmatrix}$ $u^M = \begin{bmatrix} \gamma c \\ \gamma \vec{v} \end{bmatrix}$ $a^M = \begin{bmatrix} \frac{\gamma^4}{c} A_{||} \\ \gamma^4 A_{||} \\ \gamma^2 \vec{A}_\perp \end{bmatrix}$

- 4-hybnost → hmotné částice $p^M = m_0 u^M$ ↳ m_0 je hmotnost v klid. soustavě

$p^M p^N \eta_{MN} = -m_0 c^2$
 → nehmotná částice $p^M = \hbar k^M$ $p^M p_N = 0$ k^M

ZZ4H:

$\sum_{\text{pred}} p^M = \sum_{\text{po}} p^M$

3+1 rozštěpení:

$p^M = \begin{bmatrix} m_0 \gamma c \\ m_0 \gamma \vec{v} \end{bmatrix} \Rightarrow \vec{p} = m_0 \gamma \vec{v} = m \vec{v} = \frac{m_0 \vec{v}}{\sqrt{1-\frac{v^2}{c^2}}}$
 $E = m_0 \gamma c^2 = mc^2$

$m = \frac{m_0}{\sqrt{1-\frac{v^2}{c^2}}}$ → relat. hmotnost

$p^M = \begin{bmatrix} E/c \\ \vec{p} \end{bmatrix} \Rightarrow \text{ZZ4H} \Rightarrow \text{ZZE} + \text{ZZH}$

→ norma: $p^M p_N = -m_0 c^2 = \frac{E^2}{c^2} + p^2 \Rightarrow E^2 = (m_0 c^2)^2 + (pc)^2$

svel. částice:

$E = \hbar \omega$ $\vec{p} = \hbar \vec{k} \Rightarrow p^M = \begin{bmatrix} \hbar \omega / c \\ \hbar \vec{k} \end{bmatrix}$ $p^M p_N = \hbar^2 (-\frac{\omega^2}{c^2} + k^2) = 0$

pohybové rovnice:

$F^M = \frac{dp^M}{d\tau}$

kinetická energie:
 $T = E - m_0 c^2$

$\frac{d}{d\tau} \begin{bmatrix} E/c \\ \vec{p} \end{bmatrix} = c \begin{bmatrix} \frac{dm}{d\tau} \\ \frac{d\vec{p}}{d\tau} \end{bmatrix} = \gamma c \begin{bmatrix} \frac{dm}{dE} \\ \frac{d\vec{p}}{dE} \end{bmatrix} = \gamma c \begin{bmatrix} \frac{dm}{dE} \\ \vec{f} \end{bmatrix}$

$\frac{d\vec{p}}{d\tau} = m \vec{a} + \left(m_0 \gamma^2 \frac{\vec{v} \cdot \vec{a}}{c^2} + \frac{dm_0}{d\tau} \right) \gamma \vec{v}$

→ rozdělení na kolmí a podélnu složku rychlosti:

$m \vec{a}_\perp = \vec{f}_\perp$
 $m \gamma^2 \vec{a}_\parallel = \vec{f}_\parallel$

Maxwellovy rovnice 4-rozmerného prostoru

Klasická formulace

$$\nabla \cdot \vec{E} = -\rho / \epsilon_0$$

$$\nabla \times \vec{E} = -\partial_t \vec{B}$$

$$\nabla \cdot \vec{B} = 0$$

$$\nabla \times \vec{B} = -\mu_0 \vec{j} + 1/c^2 \partial_t \vec{E}$$

• zdroje: \vec{j}, ρ

• potenciály: $\vec{B} = \nabla \times \vec{A} \quad \vec{E} = -\nabla \phi - \frac{\partial \vec{A}}{\partial t}$

• kalibrační volnost:

$$\vec{A}' = \vec{A} + \nabla \chi \quad \phi' = \phi + \frac{\partial \chi}{\partial t}$$

Relativistická formulace

• prostorocasový gradient: $\partial_\mu = [\frac{1}{c} \partial_t, \vec{\nabla}]$

• zdroje:

$$\rho = \frac{dq}{dV} \rightarrow \rho_0 = \frac{dq}{dV_0} \Rightarrow \rho = \gamma \rho_0 \rightarrow \text{v klidové svisťce}$$

$$\vec{j} = \rho \vec{v}$$

$$\Rightarrow j^\mu = \rho_0 u^\mu = \begin{bmatrix} \rho_0 \gamma \\ \rho_0 \gamma \vec{v} \end{bmatrix} = \begin{bmatrix} c \rho \\ \vec{j} \end{bmatrix} = j^\mu$$

• 4-potenciál:

$$A^\mu = \begin{bmatrix} \phi/c \\ \vec{A} \end{bmatrix} \quad A_\mu = [-\phi/c, \vec{A}]$$

• Maxwell-Faradayův tenzor:

$$F_{\mu\nu} = \partial_\mu A_\nu - \partial_\nu A_\mu$$

$$\hookrightarrow F = dA$$

$$F_{\mu\nu} = \begin{bmatrix} 0 & -1/c \vec{E} \\ 1/c \vec{E} & \vec{B} \end{bmatrix}$$

$$\vec{B} = \begin{bmatrix} 0 & B_z & -B_y \\ -B_z & 0 & B_x \\ B_y & -B_x & 0 \end{bmatrix}$$

$$B_{ij} = \epsilon_{ijk} B_k$$

• Maxwellove rovnice

$$\nabla_\nu F^{\mu\nu} = \mu_0 j^\mu \rightarrow \text{zdrojová rovnice} \rightarrow \text{ekvival:}$$

$$\nabla \cdot \vec{E} = -\rho / \epsilon_0$$

$$\nabla \times \vec{B} = \mu_0 \vec{j} + 1/c^2 \partial_t \vec{E}$$

$$\nabla_{[\alpha} F_{\beta\gamma]} = \nabla_\alpha F_{\beta\gamma} + \nabla_\beta F_{\gamma\alpha} + \nabla_\gamma F_{\alpha\beta} = 0 \rightarrow \text{pob. rovnice} \rightarrow \text{ekvival:}$$

$$\nabla \cdot \vec{B} = 0$$

$$\nabla \times \vec{E} = -\partial_t \vec{B}$$

• rovnice kontinuity:

$$\partial_\mu j^\mu = 0 \Leftrightarrow \partial_t \rho + \nabla \cdot \vec{j} = 0$$

• Lorentzova síla:

$$\phi^\nu = F^\nu{}_\mu j^\mu \rightarrow \text{hustota síly}$$

$$F^\mu = q F^\mu{}_\nu u^\nu = \gamma \begin{bmatrix} \frac{\vec{v} \cdot \vec{E}}{c} \\ q(\vec{E} + \vec{v} \times \vec{B}) \end{bmatrix}$$

\rightarrow síla na 1. částici

• kalibrační volnost

$$A'_\mu = A_\mu + \partial_\mu \psi \quad \text{pro } \psi \text{ skalární fce}$$

• Lorentzova kalibrace

$$\nabla_\mu A^\mu = 0 \Rightarrow \square A^\mu = \mu_0 j^\mu$$

• dualní tenzor

$$*F^{\mu\nu} = \frac{1}{2} \epsilon^{\mu\nu\alpha\beta} F_{\alpha\beta}$$

• invarianťy:

$$-\frac{1}{4} F^{\mu\nu} F_{\mu\nu} = \frac{1}{2} (E^2/c^2 - B^2) = \mathcal{L}_{EM}$$

$$\frac{1}{4} *F^{\mu\nu} F_{\mu\nu} = \frac{1}{c} \vec{E} \cdot \vec{B}$$

Termodynamika a stat. fyz.

Teplo, teplota, tepelná kapacita, tlak

- systém mnoha částic místo H , popisujeme makroskopicky → středování
- tým do popisu zanášáme větší míru „neznalosti“
- systém může interagovat:
 - 1) konáním práce - kontrolovaná změna TD parametrů
 - 2) výměnou tepla - efektivní popis nekontrolovaných st. volnosti - forma energie daná neusp. pohybem částic syst.

TD parametry - kontrolované st. volnosti

- vymezují stavový prostor

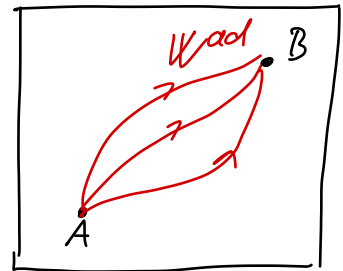
↪ extenzivní: V, N, P, M

↪ intenzivní: p, μ, T, E

↪ stavové → ek. úplný dif.

↪ dějové → neek. úplný dif.

↪ vnější
↪ vnitřní



- adiabatický děj - jen konáním práce W^{ad} - bez výměny tepla
- nezávisí na způsobu vykonání, jen poč. a koncovém st.
- ⇒ nezav. na dráze ⇒ je integ. ⇒ ek. stavová veličina

$$\oint W^{ad} = 0 \Rightarrow W_{A \rightarrow B}^{ad} = U(B) - U(A)$$

↳ uniformní energii
↳ míra energie stavu

- postulát, že každé 2 body lze sp. ad. dějem vázání 1. směrem
- ⇒ def. U pro \forall body $U(x) = W_{0 \rightarrow x}^{ad} + U(0)$

1. TDZ Pro obecný děj platí $\Delta U = W + Q$

neúplně dif.

↳ pro kvazistat. děj (jemná posl. rovnováž. st.): $dU = dW + dQ$

- dva systémy sv v tep. rovnováže když ich nedáme dlho interagovat, zě $dQ=0$

0. TDZ ... Tep rovnováha je tranzitivní. $A \sim B \wedge B \sim C \Rightarrow A \sim C$

→ tepelná rovnováha je relace ekvivalence ⇒ každé třídě ekvival. přiřadíme číslo = stavová veličina = empirická teplota ϑ

Carnotův thm.: Vratný děj je ten nejúčinnější. $\mathcal{Q}_R(\vartheta_1, \vartheta_2)$

→ TD teplotu definujeme pomocí této účinnosti - ta závisí iba teploty poč. a koncového stavu: $T = T_0 [1 - \mathcal{Q}_R(T, T_0)]$, kde T_0 je lib. konst
↳ volíme $T_0 = -273,16 \text{ K}$

• tepelná kapacita: $C_X = \left. \frac{dQ}{dT} \right|_X = T \left(\frac{\partial S}{\partial T} \right)_X$ speciálně $X = p, V$
↳ Mejerův vztah: $C_p - C_v = TV \frac{\alpha^2}{\beta T} \geq 0$ pro id. plyn $C_p - C_v = Nk_B$

• tlak $dW = -pdV$
↳ integrační faktor práce

$$\alpha = \frac{1}{T} \left(\frac{\partial V}{\partial T} \right)_P$$

$$\beta k_T = -\frac{1}{V} \left(\frac{\partial V}{\partial P} \right)_T$$

Vnitřní energie, TD potenciály

- **adiabatický děj** - interakce syst. (en konáním práce W^{ad}
- nezávisí na dráze len na poč. a konc. bode

$$\oint W^{ad} = 0 \Rightarrow \text{ex. stavová veličina } U(B) - U(A) = W_{A \rightarrow B}^{ad}$$

- vnitřní energie $U(x) = W_{0 \rightarrow x}^{ad} + U(0)$

1. TDZ $dU = dW + dQ$, 2. TDZ $dQ = TdS$, $dW = -pdV + \mu dN$

$$\Rightarrow dU = TdS - pdV + \mu dN \rightarrow \text{z extrem. postulátu} \Rightarrow \delta U|_{S, V, N} = 0$$

$\hookrightarrow S$ nabývá max. vůči vnitř. param \hookrightarrow zmena vůči vnitř. param.

- U je **aditivní**, **extenzivní** a stavová rovnice je **kalorická**
 \hookrightarrow pro id. plyn: $U(T) = cT$ $c = \frac{3}{2}k_B$ pro 1 zlož. plyn

• pro obecnou práci $dW = \sum g_i dx_i$ je $dU = \sum g_i dx_i + TdS$

- někdy máme pod kontrolou $S, V, N \rightarrow$ výhodnější pracovat v proměnných které máme fixované \Rightarrow Legendrova transformace
 \rightarrow transformujeme do proměnné, kte. je fixovaná

$$\tilde{U}(x_1, \dots) = U(x(x_1, \dots), \dots) - \sum x(x_1, \dots), \text{ kde } x = \frac{\partial U}{\partial x}$$

• pro \tilde{U} potom plyne $\delta U|_{x_1, \dots} = 0 \Leftrightarrow \delta \tilde{U}|_{x_1, \dots} = 0$

Bestiář TD potenciálů

Eulerov ekv:

$$S \text{ je extenzivní} \Rightarrow S = \frac{1}{T}U + \frac{p}{T}V - \frac{\mu}{T}N$$

$$U \text{ je extenzivní} \Rightarrow U = TS - pV + \mu N$$

Volná energie ($S \rightarrow T$)

$$F(T, V, N) = U - TS = -pV + \mu N$$

$$dF = -SdT - pdV + \mu dN$$

$$\delta F|_T = 0, [\Delta F]_T = W$$

\rightarrow vhodné při konst. teplotě, tep. rez.

Entalpie ($V \rightarrow p$)

$$H(S, p, N) = U + pV = TS + \mu N$$

$$dH = d(U + pV) = dU + dpV + pdV = Vdp + \mu dN$$

$$\delta H|_p = 0, [\Delta H]_{p, N} = Q$$

\rightarrow vhodné při konst. tlaku, chem. reak.

Gibbsův potenciál ($V \rightarrow p, S \rightarrow T$)

$$G(T, p, N) = U - TS + pV = \mu N$$

$$dG = -SdT + Vdp + \mu dN$$

$$\delta G|_{p, T} = 0, [\Delta G]_{p, T} = W^{chem}$$

Grand kanonický potenciál ($N \rightarrow \mu, S \rightarrow T$)

$$\Omega(T, V, \mu) = U - \mu N - TS = -pV$$

$$d\Omega = -SdT - pdV - Nd\mu$$

$$\delta \Omega|_{\mu, T} = 0$$

\rightarrow syst. s rez. částic

Hlavní zákony termodynamiky

0. TDZ: Tepelná rovnováha je tranzitivní.

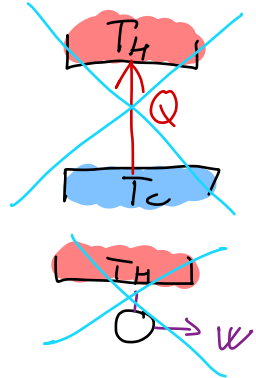
→ Tepelná rovnováha = sys. v kontakte nedá se tep. int. kým nenustane rovnováha
 ⇒ Tep. rovnováha je relace ekvival ⇒ třídy ekvivalence - empirická teplota

1. TDZ: $\Delta U = Q + W$, diferenciálně $dU = dQ + dW$

→ podmínky existence ad. izolace

každé 2 body prost. su dají sp. ad. dějům
 adiabatický děj nezav. na dráze

} → pro def. U



2. TDZ

Clausius: Pokud teplo samovolně přechází z tělesa A do tělesa B, potom není možné realizovat proces, kde teplo samovolně přechází z B do A.

Kelvin: Nelze realizovat proces, jeho jediným výsledkem by byla vykonaná práce.

→ Kelvin a Clausius sú ekvival

• vratný proces - kvazistat. proces, kt. může přebíhat v opačném směru a stav systému a okolí sa vrátí do poč. stavu.
 - systém a okolí je v rovnováze

Carnotova teorém: Vratný stroj je zo všetkých strojov pracujúcich medzi stejnými lážněmi ten najúčinnější.

→ definujeme TD teplotu pomocí tejto účinnosti $T = T_0 [1 - \eta_C(T_0, T)]$

Clausiusova nerovnost: Pre všetky cyklické procesy platí $\oint \frac{dQ}{T} \leq 0$

• pre vratný cyklický děj platí: $\oint_{rev} \frac{dQ}{T} = 0$ (rev. děj - syst. a okolí v rovnováze)

⇒ nezav. na trajekt ⇒ ex. stavová veličina S, zě $S(B) - S(A) = \int_A^B \frac{dQ}{T}$

• každé dva body stav prostoru lze spojit rev. dějům:

$$S(x) = S(0) + \int_0^x \frac{dQ}{T}$$

pro kvazistat: $dS = \left(\frac{1}{T}\right) dQ$ (integ. faktor pro dQ)

$dU = TdS + \sum_i y_i dx_i$
 • pre nevratné deje: $\Delta S_{irr} \geq \int \frac{dQ}{T}$ $\Rightarrow \Delta S^{ad} \geq 0 \Rightarrow \Delta S_{rev} = 0$ (adiabata = izoentropa)

• entropie sa maximalizuje - systém sa ustály v stave kde je možný S = $k_B \ln \Omega$ → najvyšší počet mikrostav. pro daný makrostav
 - maximalizácia fáz. objemu

3. TDZ Absolutní nuly nelze dosáhnout konečným počtem cyklů.

$S \xrightarrow{T \rightarrow 0^+} 0$ - platí len pre číste kryštalické látky
 - pre syst. s nelog. zähl. hladina, lebo $S = k_B \ln(\#st)$

$\left(\frac{\partial S}{\partial T}\right)_{x_i} \xrightarrow{T \rightarrow 0} 0$ - S jde ku konstante

Ideální plyn, stavová rovnice, Carnotův cyklus

- **ideální plyn** - plyn neinteragujících hm. bodův
- stejné částice

$$H = \sum_i \frac{p_i^2}{2m_i}$$

- $S = k_B \ln \Sigma$, kde $\Sigma = \int d^N \mathcal{E}_N \delta(H(p, q) - E)$, $d^N \mathcal{E}_N = \frac{d^N q d^N p}{h^{3N} N!}$

→ dosazením dostaneme v TD limite:

$$S(U, V, N) = N k_B \ln \left(\left(\frac{U}{U_0} \right)^{3/2} \left(\frac{V}{V_0} \right) \left(\frac{N_0}{N} \right)^{5/2} \right) + N s_0$$

$$\frac{1}{T} = \left(\frac{\partial S}{\partial U} \right)_{V, N} = \frac{3}{2} \frac{N k_B}{U} \Rightarrow U = \frac{3}{2} N k_B T \rightarrow \text{kalorická rovnice}$$

$$-\frac{P}{T} = \left(\frac{\partial S}{\partial V} \right)_{U, N} \Rightarrow pV = N k_B T \rightarrow \text{stavová rovnice}$$

- **stavové rovnice** - rovnice zvdzujice stavové TD premenné
- charakterizují danú látku

- vdW plyn: $(p + \frac{a}{V^2})(V - b) = k_B T$ $\frac{a}{V^2} \rightarrow \text{interakce}$ $b \rightarrow \text{rozměr}$

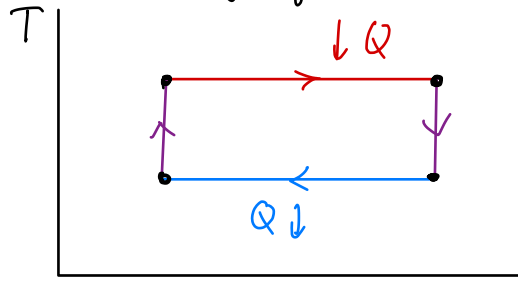
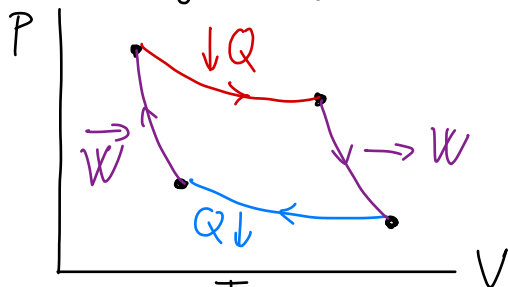
Carnotův Elm: Vratný stroj je zo všetkých strojů pracujících mezi stejnými lázněmi: Gen najúčinnější.

- účinnost $\eta = \frac{|W|}{Q_H}$... stroj $\eta = \frac{Q_C}{W}$... chladnička

$$\eta = \frac{|Q_H|}{W} \dots \text{tep. čerpadlo}$$

- z definície TD teploty: $\eta_R = 1 - \frac{T_C}{T_H}$

• **Carnotův cyklus** je realizace vratného stroji pomocí izoterm. a adiab. dějů



$$\eta = 1 - \frac{T_C}{T_H}$$

$$\eta = \frac{W}{Q_H} \Rightarrow W = \left(1 - \frac{T_C}{T_H}\right) Q_H = (T_H - T_C) \Delta S$$

• podmínky existence:

- 1) izotermny sa nepretnú → spojujú st. s rovnakou T, stav má iba jednu
- 2) adiabaty sa nepretnú → ak by sa pretli, tak ex. syst ⇒ spor 2TD
- 3) adiabaty sú strmšie ako izotermny

$$\left(\frac{\partial P}{\partial V} \right)_S > \left(\frac{\partial P}{\partial V} \right)_T \rightarrow \text{plynie z Mayerova vzťahu } c_p - c_v = T V \frac{\alpha^2}{\chi_T} = k_B N > 0$$



Fázový prostor, rozdelovací funkce, Liouillova rovnice

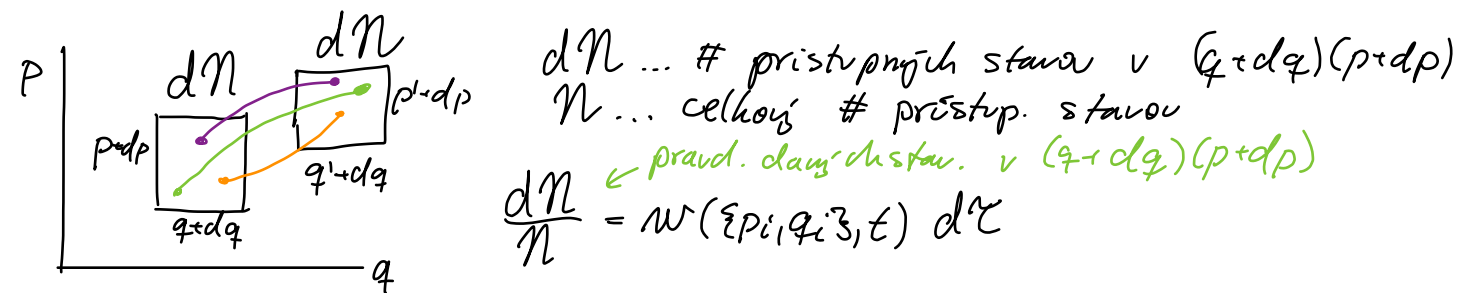
- fázový prostor** = prostor všech poloh q^i a hybností p_i
 - bod fázového prostoru = (mikro)stav systému $\{q^i, p_i\}$
 - kotečný bod T^*Q
 - dimenze je dana # částic a # vazeb $\dim T^*Q = (3N - v)^2$
 - v QM je fázový prostor diskrétný, rozmazaný
 - ↳ velikost nejmenšeho elementu je h^{3N}

• infinit. objem fázového prostoru $d\mathcal{U} = \prod_{i=1}^{3N} dq_i dp_i = d^{3N} q_i d^{3N} p_i$

• QM oprava na \rightarrow velikost elementu
 nerozliš. částice $d\mathcal{U} = \prod_{i=1}^{3N} \frac{dq_i dp_i}{h^{3N} N!}$

- rozdelovací funkce** = hustota pravd. výskytu μ stavu v danom makrostate
 - $W(\{q^i, p_i\}, t)$... hustota pravd.

• v QM odpovedá matice hustoty $\hat{\rho} = \sum_i p_i |\mu_i\rangle \langle \mu_i|$, kde $\mathcal{G} = \{p_i, |\mu_i\rangle\}$ je stat. soubor stavů $|\mu_i\rangle$ a ich pravd. p_i



→ fázový objem $d\mathcal{U} = d\mathcal{U}'$ sa nemení pri časovom vývoji
 → # stavů dN a N sa nemení v čase $\Rightarrow W(\{p_i, q_i\}, t)$ sa nemení
 \Rightarrow Liouillova rovnice $0 = \frac{dW}{dt} = \frac{\partial W}{\partial t} + \{W, H\}$ → rovnice kontinuity

• Liouillova veta: Rozdelovací funkce se správa ako **nestlačiteľná kapalina** na fázovom objemu.

• pre systém v rovnováhe $\frac{\partial W}{\partial t} = 0 \Rightarrow W$ je funkce IP $\Rightarrow W = W(E)$
 • pro systém s $E = konst$ v rovnováhe splňujú všetky stavy $H(\{q^i, p_i\}) = E \Rightarrow$ všetky μ stavy sú rovnako pravd.
 $\Rightarrow W(\{p_i, q_i\}) = \frac{1}{\Omega} \delta(E - H(\{q_i, p_i\}))$ $Z = \int d\mathcal{U} \delta(E - H)$
 ↳ partitioná funkce = normalizace

Maxwellovo - Boltzmannovo rozdeleni

- hľadáme rozdelenie rýchlosti v ideálnom plyne pri fixnej teplote T
- fixná teplota = kanonický súbor

$$\Rightarrow W(\{q^i, p_i\}, t) = \frac{1}{Z_c} e^{-\beta H}, \quad \text{id. plyn: } H = \sum_{i=1}^N \frac{p_i^2}{2m}$$

• pro 1 čas. id. plyn: $W(p_i, q_i) = (2\pi m k_B T)^{-\frac{3}{2}} e^{-\frac{p^2}{2m k_B T}}$

• pravd. že ustav má hybnost \vec{p} : $W(\vec{p}) d^3p = (2\pi m k_B T)^{-\frac{3}{2}} e^{-\frac{p^2}{2m k_B T}} d^3p$

• pravd., že ustav má rýchlosti \vec{v} : $W(\vec{v}) d^3v = \left(\frac{m}{2\pi k_B T}\right)^{\frac{3}{2}} e^{-\frac{mv^2}{2k_B T}} d^3v$
 \Rightarrow hustota pravd. pre 1 zložku rýchlosti:

$$f(v_i) = \left(\frac{m}{2\pi k_B T}\right)^{\frac{1}{2}} e^{-\frac{mv_i^2}{2k_B T}}$$

$$\mu = 0$$

$$\sigma = \sqrt{\frac{k_B T}{m}}$$

ekviparticiu E_{kin} :
 $\langle \frac{1}{2} m v^2 \rangle = \frac{1}{2} k_B T$
 \hookrightarrow 1 kvadr. st. vel'nosti dať $\frac{1}{2} k_B T$

• pravd., že ustav má veľkosť rýchlosti v : $W(v) dv = 4\pi \left(\frac{m}{2\pi k_B T}\right)^{\frac{3}{2}} v^2 e^{-\frac{mv^2}{2k_B T}} dv$
 \Rightarrow hustota pravd. pre veľkosť rýchlosti

$$f(v) = \left(\frac{m}{2\pi k_B T}\right)^{\frac{3}{2}} 4\pi v^2 e^{-\frac{mv^2}{2k_B T}}$$

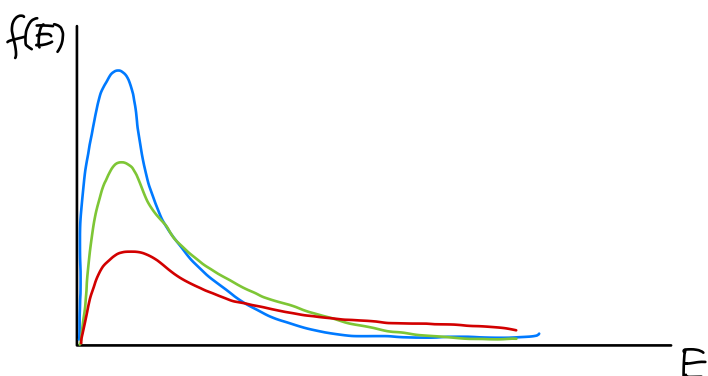
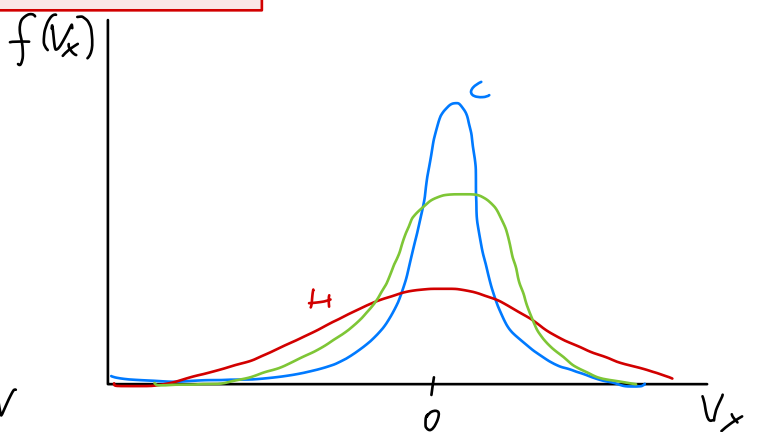
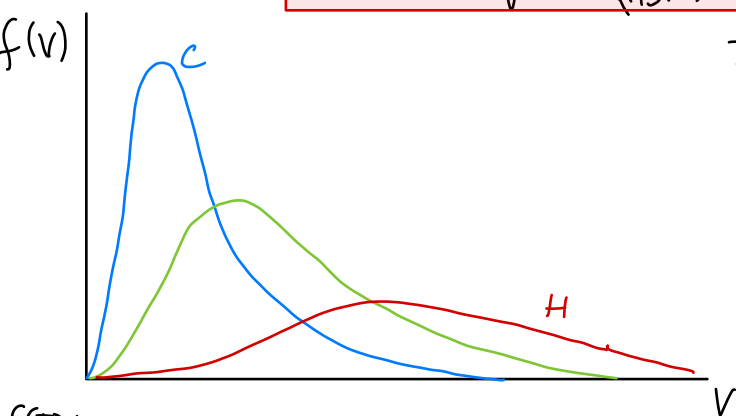
$$\langle v \rangle = \sqrt{\frac{2}{\pi}} v_{max}$$

$$\frac{df}{dv} = 0 \rightarrow \text{najpravd. rýchlosť } v_{max} = \sqrt{\frac{2k_B T}{m}}$$

$$\langle v^2 \rangle = \sqrt{\frac{3}{2}} v_p = \sqrt{\frac{3k_B T}{m}}$$

\Rightarrow hustota pravd. pre energiu stavu:

$$f(E) = 2 \sqrt{\frac{E}{\pi}} \left(\frac{1}{k_B T}\right)^{\frac{3}{2}} e^{-\frac{E}{k_B T}}$$



Základní statistické rozdělení, statistická entropie

- statistické rozdělení = hustota pravd. $f(x)$
- z definice pravd. $\int f(x) dx = 1$, Lebesgueova míra $f(x)$

δ -distribuce, rozdělení

$$f(\vec{z}) = \frac{1}{Z} \delta(w - g(\vec{z})) \quad Z = \int \delta(E - g(\vec{z})) \dots \text{normalizace}$$

$\vec{z} = (q_i, p_i)$

- **kanonický soubor**: $w(\vec{z}) = \frac{1}{Z} \delta(E - H(\vec{z})) \rightarrow S = k_B \log Z$

Boltzmannov/Gibbsovo

$$f(\vec{z}) = \frac{1}{Z} e^{-\sum_i \lambda_i g_i(\vec{z})}, \text{ normalizace } Z = \int e^{-\sum_i \lambda_i g_i(\vec{z})}$$

$$\langle g_i \rangle = \frac{\partial}{\partial \lambda_i} \log Z \quad f(\vec{z}) = \frac{1}{Z} e^{-\beta H(\vec{z})} \quad \beta = \frac{1}{k_B T}$$

- **kanonický soubor**
→ rez. tepla - fixovaná teplota

$$F = -k_B T \log Z \quad \langle H \rangle = -\frac{\partial}{\partial \beta} \log Z \quad \langle H^2 \rangle = \frac{\partial^2}{\partial \beta^2} \log Z$$

↪ TD limita

- **grandkanonický soubor**
→ rez. tepla + rez. částic

$$f(\vec{z}) = \frac{1}{Z} e^{-\beta H(\vec{z}) + \alpha N} \quad Z = \sum_{n=0}^{\infty} \int e^{-\beta H + \alpha N}$$

$$\Omega = -k_B T \log Z \quad \langle N \rangle = \frac{\partial}{\partial \alpha} \log Z \quad \langle N^2 \rangle = \frac{\partial^2}{\partial \alpha^2} \log Z$$

↪ TD limita

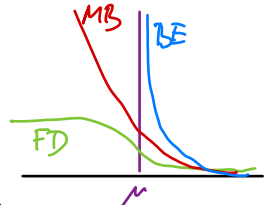
Rozdělení počtu částic

$\langle N_i \rangle$ v stavu i při degeneraci g_i

$$\langle N_i \rangle_{MB} = \frac{1}{e^{\frac{E_i - \mu}{k_B T}}}$$

$$\langle N_i \rangle_{BE} = \frac{1}{e^{\frac{E_i - \mu}{k_B T}} - 1}$$

$$\langle N_i \rangle_{FD} = \frac{1}{e^{\frac{E_i - \mu}{k_B T}} + 1}$$



Maxwell-Boltzmann

- rozliš. částice
- klusečky

Bose-Einstein

- nerozliš. bozóny
- \uparrow chci na nejvyšš. hladinu při $T \rightarrow 0$

Fermi-Dirac

- nerozliš. fermióny
- 1 cas na stav → při $T \rightarrow 0$ bude obsazený stav do $E_F = \mu$, pro $E < E_F$ sú obsad. pro $E > E_F$ nie

Statistická entropie

- **entropie** = míra ignorancie, chýbajúcej informácie
- středná hodnota prekvapenia nájdenia nejakého stavu → max. prekvapenia
- Shannon - teória informácií

$$S(p) = -k_B \sum_i p_i \log p_i = -k_B \int dx p(x) \log p(x)$$

↪ hust. pravd., rozdeľovací fce

• v QM: $S(\hat{\rho}) = -k_B \text{Tr}(\hat{\rho} \ln \hat{\rho}) = -k_B \sum_i p_i \log p_i$, kde $\hat{\rho} = \sum p_i |u_i\rangle\langle u_i|$

vlastnosti:

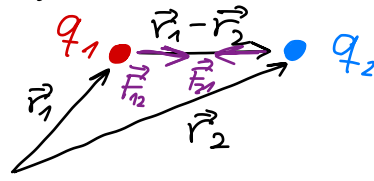
- 1) $S \geq 0$
- 2) $S = 0$ pre čistý stav $\hat{\rho} = |u\rangle\langle u|$
- 3) $S = k_B \log N$ je max. entropie pro $\hat{\rho} = \frac{1}{N} \mathbb{1}$
- 4) aditivne přes pod systémy

Elstat., stac. el. a mag. pole

Elektrické pole ve vakuu

Coulombův zákon - síla mezi dvěma bodovými náboji

$$\vec{F}_{12} = \frac{1}{4\pi\epsilon_0} \frac{q_1 q_2}{|\vec{r}_1 - \vec{r}_2|^2} \frac{\vec{r}_1 - \vec{r}_2}{|\vec{r}_1 - \vec{r}_2|}$$



→ příslušný potenciál $V(\vec{r}) = \frac{1}{4\pi\epsilon_0} \frac{q_1 q_2}{|\vec{r}_1 - \vec{r}_2|}$

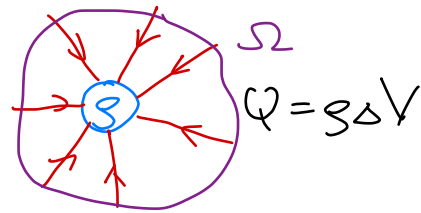
• pre viacej nábojov: $\vec{F}_{ij} = \frac{1}{4\pi\epsilon_0} \sum_{i \neq j} \frac{q_i q_j}{|\vec{r}_i - \vec{r}_j|^2} \frac{\vec{r}_i - \vec{r}_j}{|\vec{r}_i - \vec{r}_j|}$

→ pre $\vec{r}_1 = 0 \rightarrow V(r) = \frac{1}{4\pi\epsilon_0} \frac{q_1 q_2}{r} \rightarrow$ radcálny potenciál

• energii sústavy nábojov $W = \frac{1}{4\pi\epsilon_0} \sum_{i < j} \frac{q_i q_j}{|\vec{r}_i - \vec{r}_j|}$

- **intenzita el. pola** $\vec{F} = q \vec{E} \rightarrow$ bodový náboj $\vec{E}(\vec{r}) = \frac{1}{4\pi\epsilon_0} \frac{q}{|\vec{r} - \vec{r}'|^2} \frac{\vec{r} - \vec{r}'}{|\vec{r} - \vec{r}'|}$

Gaussov zákon



$$\oint_{\Omega} \vec{E} \cdot d\vec{S} = \frac{Q}{\epsilon_0} \quad \nabla \cdot \vec{E} = \frac{\rho}{\epsilon_0}$$

$$\nabla \times \vec{E} = 0 \Leftrightarrow \oint \vec{E} \cdot d\vec{l} = 0 \Rightarrow \vec{E} \text{ je konz.}$$

• **elstat. potenciál** $\phi \rightarrow \vec{E} = -\nabla\phi \Rightarrow \nabla^2\phi = -\frac{\rho}{\epsilon_0}$ Poisson

→ riešenie je dané ako $\phi = \frac{1}{4\pi\epsilon_0} \int \frac{\rho(r')}{|\vec{r} - \vec{r}'|} d^3r'$, kde $G(\vec{r}, \vec{r}') = \frac{1}{|\vec{r} - \vec{r}'|}$

→ energia v prípade spojitého rozloženia

$$W = \frac{1}{2} \int \rho(\vec{r}) \phi(\vec{r}) d^3r = \frac{1}{2} \int \epsilon_0 \vec{E} \cdot \vec{E} d^3r$$

• nábojová hustota bodového náboja: $\rho(\vec{r}) = Q \delta(\vec{r} - \vec{r}')$

• elektrické pole na rozhraní



$$[\vec{E}_1 - \vec{E}_2] \cdot \vec{n} = \frac{\sigma}{\epsilon_0} \quad [\vec{E}_1 - \vec{E}_2] \times \vec{n} = 0$$

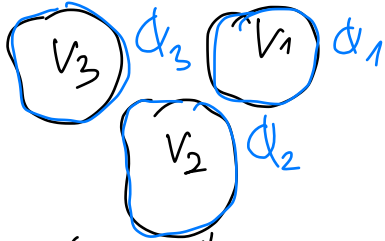
- tangenciálne zložky sa zhodujú
- normálne zložky sa líšia o plošný náboj
- ϕ je vždy spojité

Elektrostatické pole v přítomnosti vodičů a dielektriků

vodič - neomezený zdroj náboje

- $\vec{E} = 0$ vo vnútri
- \vec{E} je kolmé na povrch
- plocha vodiča tvorí ekvipotenčiatu
- Faradayova kľec - vo vnútri dutého vodiča je $\vec{E} = 0$

- základná úloha elstat: zo znalosti rozloženia vodičov a potenciálov nanich určiť ϕ



$$\nabla^2 \phi = 0$$

$$\phi(\partial V_i) = \phi_i$$

$$C_{ab} = \epsilon_0 \oint_{\partial V_a} -\nabla \phi_b \cdot d\vec{S}$$

$\phi_b = \begin{cases} 0 & \vec{x} \in \partial V_{a \neq b} \\ 1 & \vec{x} \in \partial V_b \end{cases}$ kapacita

potenciál na vodiči je úmerný náboju na vodiči: $Q = UC$

pre systém viac vodičov $Q_a = \sum_b C_{ab} U_b$, kde C_{ab} je mat. kapacity

↳ mat. je symetrická, diag. členy kladné, off diag záporne

energiu na nabitie \rightarrow 1 vodiča $W = \frac{1}{2} C U^2 \rightarrow$ energia kondenz.

\rightarrow pre syst. vodičov: $W = \frac{1}{2} \sum_{i,j} C_{ij} U_i U_j$

Multipólový rozvoj

obecné riešenie $\phi(\vec{r}) = \frac{1}{4\pi\epsilon_0} \int \frac{g(\vec{r}')}{|\vec{r}-\vec{r}'|} d\vec{r}'$

\rightarrow zložité riešiť pre obecné $g \rightarrow$ rozvoj do rady:

$$\frac{1}{|\vec{r}-\vec{r}'|} = \frac{1}{r} + \left[\partial_i \frac{1}{|\vec{r}-\vec{r}'|} \right]_{r'=0} r'_i + \left[\partial_{ij} \frac{1}{|\vec{r}-\vec{r}'|} \right]_{r'=0} r'_i r'_j + \dots$$

$$\Rightarrow \phi(\vec{r}) = \frac{1}{4\pi\epsilon_0} \left[\frac{1}{r} \int g(\vec{r}') d\vec{r}' + \frac{r'_i}{r^3} \int r'_i g(\vec{r}') d\vec{r}' + \frac{3r'_i r'_j - r^2 \delta_{ij}}{r^5} \int r'_i r'_j g(\vec{r}') d\vec{r}' \right]$$

monopól Q dipól P_i kvadrupól Q_{ij}

dipól - dva náboje v tesnej blízkosti

- dipólový moment: $P_i = \int r'_i g(\vec{r}') d\vec{r}' = Q \vec{\ell}$, $\phi = \frac{1}{4\pi\epsilon_0} \frac{\vec{r} \cdot \vec{P}}{r^3}$

$\vec{F} = (\vec{p} \cdot \nabla) \vec{E}$ $\vec{M} = \vec{p} \times \vec{E}$ $W = -\vec{p} \cdot \vec{E}$ \rightarrow vekt. poli sa snažia dipól narovnať s polom

↳ sila ↳ moment ↳ energia

Dielektrum

\rightarrow látka s viazanými nábojmi - nemôžu sa hýbať

\rightarrow atomy sa ale môžu polarizovať \rightarrow separácia nábojů \Rightarrow dipólové momenty

hustota dipólového momentu $\vec{P}(\vec{r}) = \frac{\Delta \vec{P}}{\Delta V} = N(\vec{r}) \vec{p} \rightarrow$ vektor polarizace

$\nabla \cdot \vec{P} = -g$ \rightarrow hustota viazaných nábojů \rightarrow nemôžu sa hýbať

$\vec{P} \cdot \vec{n} = \sigma$ $\vec{D} = \epsilon_0 \vec{E} + \vec{P} \rightarrow$ vekt. ele. indukcie \rightarrow väzane + volné náboje

Gaussov zákon v dielektriku

$$\nabla \cdot \vec{D} = g \Leftrightarrow \oint \vec{D} \cdot d\vec{S} = g$$

↳ na rozhraní $\vec{n} \cdot [\vec{D}_1 - \vec{D}_2] = \sigma$

materiálové vzťahy - dávajú do súvislosti \vec{P} a \vec{E}

- lineárne, izotropné dielektrikum $\vec{P} = \epsilon_0 \chi_e \vec{E}$, pre neizotrop $\vec{P} = \epsilon_0 \vec{\chi}_e \vec{E}$

$\vec{D} = \epsilon_0 (1 + \chi_e) \vec{E} = \epsilon_0 \epsilon_r \vec{E}$ $\vec{P} = \vec{P}_0 = \text{konst v } \vec{E} \rightarrow$ Grdér

↳ relat. permitivita ↳ mákha dielek

- pre nelineárne - odpovede na \vec{E} tvorí hysterezu • energia $w = \frac{1}{2} \vec{D} \cdot \vec{E}$

- piezoelektrikum, elektrostriktie

Stacionárni elektrické pole a elektrický proud

• **stacionárni približeni** $\nabla \cdot \vec{D} = \rho$ $\nabla \times \vec{E} = 0$
 $\nabla \times \vec{B} = \mu_0 \vec{j} \rightarrow \nabla \cdot \vec{j} = 0$

- **proud** - $I = \frac{dQ}{dt}$
 - hustota proudu $I = - \int_S \vec{j} \cdot d\vec{S}$
 - **mechanizmy vedenia**:
 1) konvekčný proud - pohyb vo voľnom priestore $\vec{j} = \rho \vec{v} = \rho_+ \vec{v}_+ - \rho_- \vec{v}_-$
 2) kondukčný proud - pohyb v látke $\vec{j} = \mu \vec{E}$ μ - pohyblivosť
 3) polarizačný proud - viazaný v dielektriku $\vec{j} = - \frac{\partial \vec{P}}{\partial t}$

• **rovnica kontinuity**: $\frac{\partial \rho}{\partial t} + \nabla \cdot \vec{j} = 0$, stac. prípad $\nabla \cdot \vec{j} = 0$

Ohmov zákon

- **homogénny vodič** - platí Ohmov zákon $U = IR$
 $\hookrightarrow R$ je konstanta číselný, odpor v ohmoch
 $\hookrightarrow U$ je napätie $U = \Delta \varphi = \int \vec{E} \cdot d\vec{l}$
 - empirický vzťah pre vodič: $R = \rho \frac{l}{S}$ ρ ... meraný odpor
 - diferenciálny vzťah: $\vec{j} = \gamma \vec{E}$ \rightarrow kde $\gamma = \frac{1}{\rho}$ merná vodivosť -
 $\rho = 0 \rightarrow$ zväčne väzane / volne náboje

- **nehomogénny vodič** - rovnica kontinuity \Rightarrow uzavrené smyčky \vec{j}
 - nemôže byť realizovaný elstat. polem - potenciálové
 \Rightarrow externé nekonzerv. sily \rightarrow externé nekonz.
 $\vec{j} = \gamma (\vec{E} + \vec{E}^*)$ \rightarrow elektróm. napätie
 $I = \frac{1}{R} (U + \mathcal{E})$

- **výkon obvodu** $N = \frac{dW}{dt} = UI \rightarrow$ Joulovo teplo
 $n = \vec{j} \cdot \vec{E} \rightarrow$ hustota výkonu

Drudeho model

\rightarrow model častice pohyb. sa s odporovou silou $\vec{F}_{od} = -\frac{m\vec{v}}{\tau}$
 $m\dot{\vec{v}} = q\vec{E} - \frac{m\vec{v}}{\tau} \Rightarrow \dot{\vec{v}} + \frac{\vec{v}}{\tau} = \frac{q}{m}\vec{E}$

\rightarrow ustálený pohyb pre $\dot{\vec{v}} = 0 \Rightarrow \vec{v}_D = \frac{q\tau}{m}\vec{E} \Rightarrow \mu = \frac{q\tau}{m} = \frac{q}{nq}$
 $\langle \vec{j} \rangle = nq \vec{v}_D = \frac{nq^2\tau}{m} \vec{E} \Rightarrow \gamma = \frac{nq^2\tau}{m} \Rightarrow \tau = \frac{m\gamma}{nq^2}$

Stacionárni mag. pole

- príslušné Maxwellky: $\nabla \times \vec{B} = \mu_0 \vec{j}$
 $\nabla \cdot \vec{B} = 0 \rightarrow$ uzavrenosť mag. čiar
- Lorentzova sila $\vec{F} = q(\vec{E} + \vec{v} \times \vec{B}) \rightarrow$ mag. pole nekoná prácu

• **Amperov zákon** $\oint_{\ell} \vec{B} \cdot d\vec{\ell} = \mu_0 I \Leftrightarrow \nabla \times \vec{B} = \mu_0 \vec{j}$

\rightarrow riešením dostaneme Biot-Savart:

$$\vec{B} = \frac{\mu_0}{4\pi} \int_V \frac{\vec{j} \times \vec{R}}{R^3} dV = \frac{\mu_0}{4\pi} I \oint \frac{d\vec{\ell} \times \vec{R}}{R^3}$$

• $\nabla \cdot \vec{B} = 0 \Rightarrow$ ex \vec{A} , z č $\vec{B} = \nabla \times \vec{A}$ lebo $\nabla \cdot \nabla \times = 0$

$\rightarrow \vec{A}$ nie je jednoznačné: $\vec{A}' = \vec{A} + \nabla \chi$, lebo $\nabla \times \nabla = 0$

• vol'bou kalib. podmienky $\nabla \cdot \vec{A} = 0$ dostaneme $\nabla^2 \vec{A} = -\mu_0 \vec{j}$

\rightarrow Poisson v 3. súradniciach \Rightarrow v prípade kartež. súradníc:

$$\vec{A} = \frac{\mu_0}{4\pi} \int \frac{\vec{j}}{|\vec{r} - \vec{r}'|} d^3r'$$

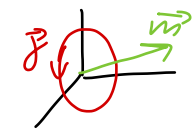
• plošné prúdy: $\vec{j} \rightarrow \vec{j}_s \Rightarrow \vec{A}$ je sp., \vec{B} je sp. kromke plochy

• na rozhraní: $\vec{n} \cdot [\vec{B}_2 - \vec{B}_1] = 0$ $\vec{n} \times [\vec{B}_2 - \vec{B}_1] = \mu_0 \vec{j}_s$ ← plošné prúdy
 \hookrightarrow sp. normálová zložka \hookrightarrow nesp. tangenciálna

• multipólový rozvoj:

$$\frac{1}{|\vec{r} - \vec{r}'|} = \frac{1}{r} + \left[\partial_i \frac{1}{|\vec{r} - \vec{r}'|} \right]_{r_i=0} x'_i + \dots$$

\rightarrow približenie dipólu - malá súťaž



\rightarrow z asym $x'_i j_i \Rightarrow \vec{A} = \frac{\mu_0}{4\pi} \frac{\vec{n} \times \vec{P}}{r^3}$ $\vec{m} = \frac{1}{2} \int \vec{r} \times \vec{j} d\vec{r} = IS$

$W = -\vec{m} \cdot \vec{B}$ $\vec{F} = (\vec{m} \cdot \nabla) \vec{B}$ $\vec{M} = \vec{m} \times \vec{B}$
 \hookrightarrow energia \hookrightarrow sila \hookrightarrow moment

• hustota mag. dipólu $\vec{M} = \frac{\Delta m}{\Delta V} = \vec{m} n$ ← hustota dipólu

$\nabla \times \vec{M} = \vec{j}$ \rightarrow objem. prúdy
 $\vec{M} \times \vec{n} = \vec{j}_s$ \rightarrow plošné prúdy

Magnetické pole v látkovom prostredí

- magnetizace $\vec{M} = \frac{\Delta \vec{m}}{\Delta V} = n \vec{m}$... hustota mag. dipólov
- aproximace látky - viazané magnetické dipóly

$$\begin{aligned} \nabla \times \vec{M} &= \vec{j} \\ \nabla \cdot \vec{M} &= \vec{j}_s \end{aligned} \rightarrow \begin{aligned} &\text{viazané objemové prúdy} \\ &\text{viazané plošné prúdy} \end{aligned}$$

$$\mu_0(\vec{j}_f + \vec{j}_b) = \nabla \times \vec{B} - \frac{\nabla \times \vec{M}}{\mu_0} = \mu_0 \nabla \times \vec{H} \Rightarrow \nabla \times \vec{H} = \vec{j}$$

$$\vec{H} = \frac{1}{\mu_0} \vec{B} - \vec{M} \rightarrow \text{vektor. mag. pola} \quad \vec{P}_m = \mu_0 \vec{M} \text{ mag. polarizace}$$

• na rozhraní $\vec{n} \cdot [\vec{B}_1 - \vec{B}_2] = 0 \quad \vec{n} \times [\vec{H}_1 - \vec{H}_2] = \vec{j}_s$

Materiálové vzťahy

Slabomag. materiály

$$\vec{M} = \chi_m \vec{H} \quad \vec{B} = \mu_0 (\chi_m + 1) \vec{H} = \mu_0 \mu_R \vec{H} = \mu \vec{H}$$

- $\chi_m > 0$... paramag. \rightarrow orientácia v smere \vec{B} (K, Na, \dots)
- $\chi_m < 0$... diamag. \rightarrow orientácia v protismere \vec{B} (C, Cu, Au, H_2O, \dots)
- $\chi_m \propto \frac{1}{T}$ \rightarrow nulové pre $T > T_c$. Curieova teplota

Silnomag. materiály

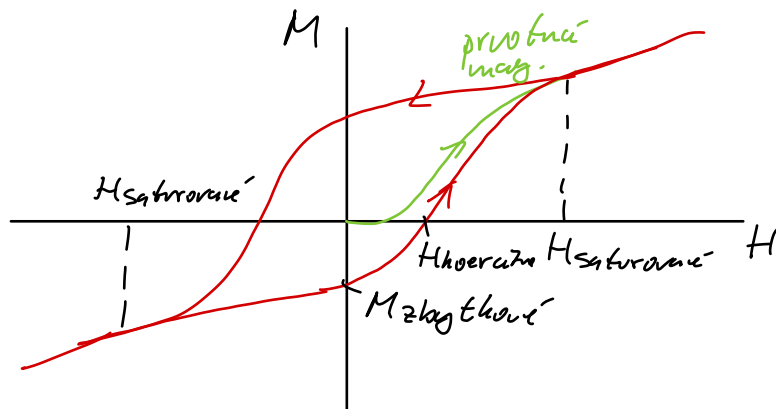
- magnetické domény
- spontánna magnetizácia

feromagnet $\uparrow \uparrow \uparrow \uparrow$
 antiferomagnet $\uparrow \downarrow \uparrow \downarrow$
 ferimagnet $\uparrow \downarrow \uparrow \downarrow$

Hysteréza

- \rightarrow nelín. chovanie
- \rightarrow pamätový jav

\rightarrow pre dostatočne veľké polia je lineárne



- **Eurdivý magnet** - neodplyvní ho vonkajšie pole
- **máľký magnet** - lineárne chovanie

• energie $w_e = \frac{\vec{B} \cdot \vec{H}}{2}$

Elektrodynamika

Elekromagnešická indukce

Faradayov zákon
↓
elmag indukce

- príslušná Maxwellka: $\nabla \times \vec{E} = -\partial_t \vec{B}$
- integráciou cez objem $\int d\vec{S}$ dostaneme:

$$\mathcal{E} = -\frac{d\mathcal{U}}{dt}$$

Lenz

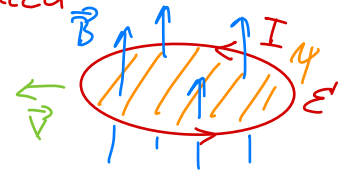
- tok mag. pola

$$\mathcal{U} = \int \vec{B} \cdot d\vec{S}$$

elmag sila \vec{B} premenlivá pohyb vodiča

- el. mot. napätie

$$\mathcal{E} = \oint \frac{d\vec{S} \cdot \vec{E}}{dq} \cdot d\vec{S} = \oint (\vec{E} + \vec{v} \times \vec{B}) \cdot d\vec{S}$$

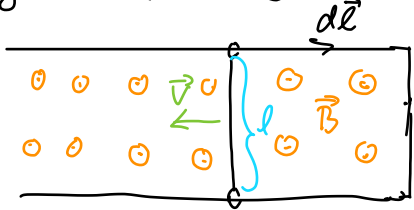


- **Lenzov zákon** - indukované napätie oponuje poli

- vznik \mathcal{E} → striedavé magnetické pole $\vec{B} = \vec{B}_0 \sin(\omega t)$
 $\mathcal{E} = -A\omega \cos \omega t$

- striedavý prúd indukujú mag. pole

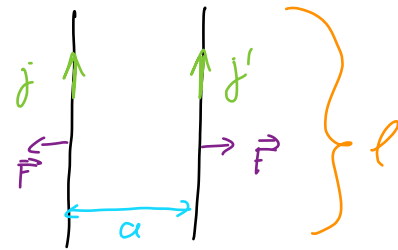
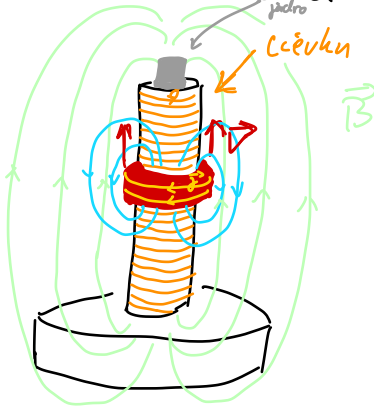
- pohybujúci sa vodič → railgun



$$\mathcal{E}_F = \int \vec{v} \times \vec{B} \cdot d\vec{l} = vBl$$

- definícia ampéra

$$\vec{F} = -\frac{\mu_0}{2\pi} \frac{II' l}{a}$$



- elmag launcher

Kvazistacionárni elektrické a mag. pole

- preslušne Maxwellky: $\nabla \cdot \vec{D} = \rho$ $\nabla \cdot \vec{B} = 0$
 $\nabla \times \vec{E} = -\partial_t \vec{B}$ $\nabla \times \vec{H} = \mu_0 \vec{j} + \partial_t \vec{D}$

→ kvazistacionarita - zmeny mag. pola sú pomalé
 - zanedbávajú konečnej rýchlosti c

- elmag indukce - Faradayov zákon $\nabla \times \vec{E} = -\partial_t \vec{B} \rightarrow \mathcal{E} = -\frac{d\varphi}{dt}$

→ tok mag. pola $\mathcal{N} = \int \vec{B} \cdot d\vec{S}$

→ elektromotorické napätie $\mathcal{E} = \int \frac{d\vec{F}_{EM}}{dq} \cdot d\vec{l} = \int \vec{E} + \vec{v} \times \vec{B} \cdot d\vec{l}$

- tok pole dvoch smyčiek: $\mathcal{N}_{smyč1 od 2} = L_{12} I_2$



- indukčnost $I_{ij} = \frac{\mu_0}{4\pi} \oint_{\gamma_i} \oint_{\gamma_j} \frac{d\vec{l}_i \cdot d\vec{l}_j}{|\vec{r}_i - \vec{r}_j|}$ → pre ∞ tenké vodiče
- systém smyčiek: $\mathcal{N}_i = \sum_j L_{ij} I_j$

↳ nelze na samoindukčnost: $I_{kk} = \frac{\mu_0}{4\pi} \frac{1}{I_k} \iint \frac{j_k(\vec{r}_1) j_k(\vec{r}_2)}{|\vec{r}_1 - \vec{r}_2|} dV_1 dV_2$

- samoindukčnost $\mathcal{N} = LI \Rightarrow \mathcal{E} = -L \frac{dI}{dt}$

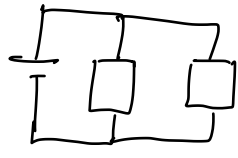
• práce $\frac{dA}{dt} = -\frac{dq}{dt} \mathcal{E} = I \frac{d\varphi}{dt} \Rightarrow P = I \frac{d\varphi}{dt}$... výkon

• energii jednej smyčky $W = \frac{1}{2} LI^2$

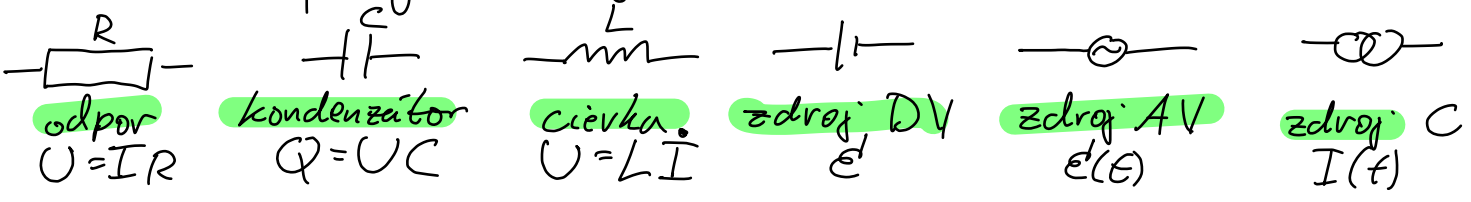
• energii více smyček $W = \frac{1}{2} \sum_{i,j} I_i L_{ij} I_j = \frac{1}{2} \sum_k I_k \mathcal{N}_k$

Obvody

- elektronické súčiastky spojné vodiči
- diagramy obvodov - ideálny vodič bez odporu
- odpor reprezent. rezistorom
- Ohmov zákon $U = IR$
- elektromotorické napätie $\mathcal{E} + U = IR \rightarrow$ nekonz. sily



základné prvky elektrických obvodov



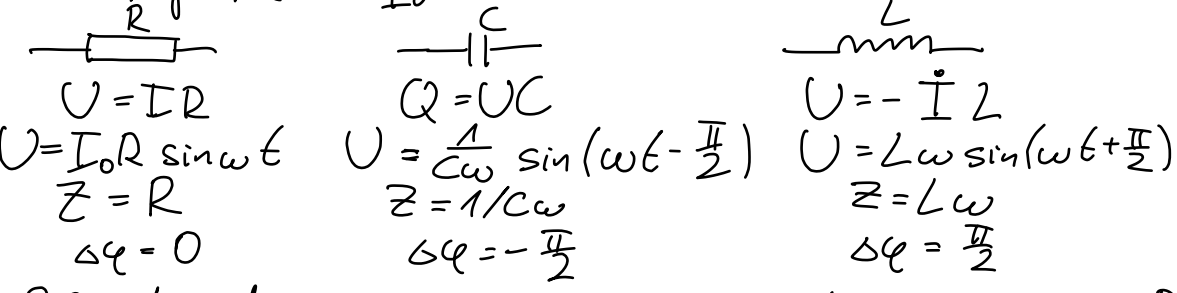
- uzol \rightarrow miesto vetvenia cd. vodiča
- smyčka \rightarrow uzavretá časť obvodu
- Kirchoffove zákony:

1. KZ: V každom uzle $\sum I_i = 0 \rightarrow$ dôsledky $\nabla \cdot \vec{j} = 0$ a $\partial_t \rho = 0$
 2. KZ: V každej smyčke: $\mathcal{E} = \sum U_i$

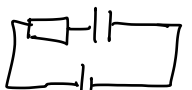
AC \rightarrow časovo zmenlivý prúd: $I = I(t) = I_0 \sin \omega t \rightarrow$ zväčša harmonický
 DC \rightarrow prúd konštantný v čase: $I = I_0 = \text{konst}$ \rightarrow obecný ako LK

- prechodové javy - pri zapájaní, odpaňaní prvkov
- ustálený stav - bez prechodových javov

v sieti daných obvodoch - impedance $Z = \frac{U_m}{I_m}$, kde $I_m = \max I(t)$
 \rightarrow zdroj $I(t) = I_0 \sin \omega t$ $U_m = \max U(t)$



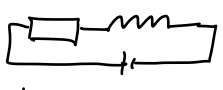
RC obvod



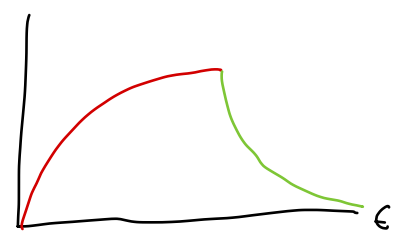
konst. $\mathcal{E} = IR + \frac{Q}{C}$
 $I(t) = \frac{\mathcal{E}}{R} e^{-\frac{t}{RC}}$
 $U_c(t) = \mathcal{E} (1 - e^{-\frac{t}{RC}})$



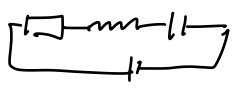
LR obvod



$\mathcal{E} = IR + L\dot{I}$
 $I(t) = \frac{\mathcal{E}}{R} (1 - e^{-\frac{t}{L/R}})$ (zap)
 $I(t) = \frac{\mathcal{E}}{R} e^{-\frac{t}{L/R}}$ (vyp.)



RLC obvod



\rightarrow rezonančný obvod
 $L\ddot{I} + \dot{I}R + \frac{1}{C}I = \mathcal{E} \neq 0$
 \rightarrow rovnice tlumeného
 buzeného LHO
 \rightarrow rezonance

Komplexná symbolika

$$I = I_0 \sin(\omega t + \varphi_I) \mapsto \vec{I} = I_0 e^{j\omega t + \varphi_I} = \vec{I} e^{j\omega t}$$

$$U = U_0 \sin(\omega t + \varphi_U) \mapsto \vec{U} = U_0 e^{j\omega t + \varphi_U} = \vec{U} e^{j\omega t}$$

- odpor: $\vec{U}_R = R \vec{I}_R$ $\vec{Z}_R = R$
- kapacita: $\vec{U}_C = \frac{1}{j\omega C} \vec{I}_C$ $\vec{Z}_C = \frac{1}{j\omega C} = \frac{1}{\omega C} e^{-j\frac{\pi}{2}} = Z_{0C} e^{j\varphi_C}$
- induktia: $\vec{U}_L = j\omega L \vec{I}_L$ $\vec{Z}_L = j\omega L = \omega L e^{j\frac{\pi}{2}} = Z_{0L} e^{j\varphi_L}$

Ohm $\vec{U} = \vec{Z} \vec{I}$ AKP: $\sum_i \vec{I}_i = 0$ v lib. case 2KP: $\sum_i \vec{E}_i = \sum_l \vec{Z}_l \vec{I}_l$

Metódy řešení

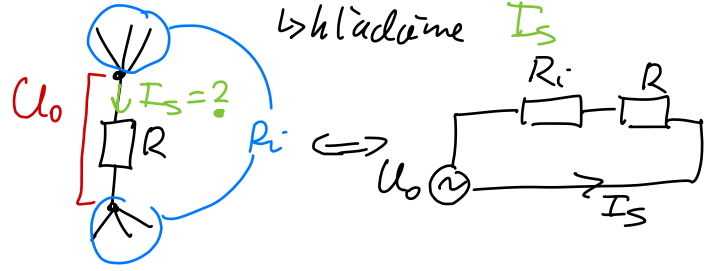
- základná úloha - najst' prúd v každej vetve
 \mapsto určiť napätie medzi potrebnými body

\rightarrow Kirchhoffove pravidla - $\sum_i \vec{I}_i = 0$
 $\sum_i \vec{E}_i = \sum_l \vec{Z}_l \vec{I}_l$

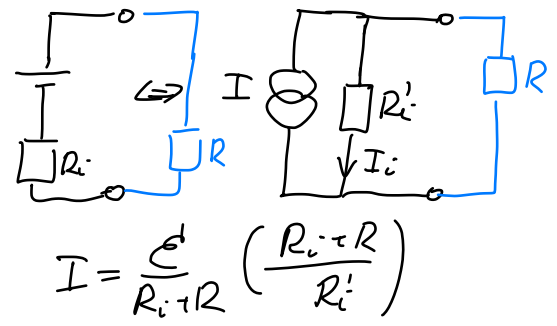
\mapsto vytvorenie úplného stromu - grafom štruktúra
 - metódy lin. algebry na syst. rovníc

- metóda smyčkových prúdov - každá smyčka má vlastný prúd \rightarrow součet
 - metóda uzlových napätí - každý uzel má svoje napätie (voči ref) \rightarrow AKP
- \mapsto založené na metódach lineárnej algebry, pre rozklad do vhodnejšej báze

Théveninova veta



Nortonova veta



Maxwellove rovnice

Maxwellov posuvný proud

• ve vektoru:

$$\begin{aligned} \nabla \cdot \vec{E} &= \rho / \epsilon_0 & \nabla \cdot \vec{B} &= 0 \\ \nabla \times \vec{E} &= -\partial_t \vec{B} & \nabla \times \vec{B} &= \mu_0 \vec{j} + \frac{1}{c^2} \partial_t \vec{E} \end{aligned}$$

• integrální tvar:

$$\begin{aligned} \oint \vec{E} \cdot d\vec{S} &= Q / \epsilon_0 & \oint \vec{B} \cdot d\vec{S} &= 0 \\ \oint \vec{E} \cdot d\vec{l} &= -\int \partial_t \vec{B} \cdot d\vec{S} & \oint \vec{B} \cdot d\vec{l} &= \mu_0 I + \frac{1}{c^2} \int \partial_t \vec{E} \cdot d\vec{S} \end{aligned}$$

→ lin. rovnice pro 6 neznámých \vec{E} , \vec{B}

→ zadane' su' zdroje ρ , \vec{j} → rovnice kon' continuity $\partial_t \rho + \nabla \cdot \vec{j} = 0$

• v látce:

$$\begin{aligned} (1) \nabla \cdot \vec{D} &= \rho & (3) \nabla \cdot \vec{B} &= 0 \\ (2) \nabla \times \vec{E} &= -\partial_t \vec{B} & (4) \nabla \times \vec{H} &= \vec{j} + \partial_t \vec{D} \end{aligned}$$

+ materialové vztahy $\vec{D} = \epsilon_0 \vec{E} + \vec{P}$ $\vec{B} = \mu_0 \vec{H} - \vec{M}$

+ podmínky na rozhraní: $\vec{n} \cdot [\vec{D}_2 - \vec{D}_1] = \sigma$ $\vec{n} \cdot [\vec{B}_2 - \vec{B}_1] = 0$
 $\vec{n} \times [\vec{E}_2 - \vec{E}_1] = 0$ $\vec{n} \times [\vec{H}_2 - \vec{H}_1] = \vec{j}_s$

→ # rovnic: 1+3+1+3+3+3 = 14 pro 4x3 = 12 promítnutých

↳ přeuvčene' ? div. rovnice su' len okrajove' podm.

→ $\begin{cases} \nabla \cdot (2) \text{ dostaneme } \partial_t (3) \\ \nabla \cdot (4) \text{ dostaneme } \partial_t (1) \end{cases} \Rightarrow (1), (3) \text{ urcuj konst.}$

• bez zdrojů → symetrické pro \vec{E} a \vec{B}

• obecné řešení ve vektoru:

$$\begin{aligned} \vec{r} &= \vec{x} - \vec{x}' \\ r &= |\vec{x} - \vec{x}'| \end{aligned}$$

$$\begin{aligned} \vec{E}(\epsilon, \vec{x}) &= -\frac{1}{4\pi\epsilon_0} \int \underbrace{\rho(\epsilon - \frac{r}{c}, \vec{x}') \frac{\vec{r}}{r^2}}_{\text{Coulomb}} + \underbrace{\frac{\partial \rho}{\partial \epsilon}(\epsilon - \frac{r}{c}, \vec{x}') \frac{\vec{r}}{cr^2} - \frac{\partial \vec{j}}{\partial \epsilon}(\epsilon - \frac{r}{c}, \vec{x}') \frac{1}{cr}}_{\text{zárčen}} d^3x' \\ \vec{B}(\epsilon, \vec{x}) &= -\frac{\mu_0}{4\pi} \int \underbrace{\vec{j}(\epsilon - \frac{r}{c}, \vec{x}') \times \frac{\vec{r}}{r^3}}_{\text{Biot-Savart}} + \underbrace{\frac{\partial \vec{j}}{\partial \epsilon}(\epsilon - \frac{r}{c}, \vec{x}') \times \frac{\vec{r}}{cr^2}}_{\text{zárčen}} d^3x' \end{aligned}$$

Potenciály elmag pola

• Maxwellly:

$$\begin{aligned} (1) \nabla \cdot \vec{E} &= \rho/\epsilon_0 & (3) \nabla \cdot \vec{B} &= 0 \\ (2) \nabla \times \vec{E} &= -\partial_t \vec{B} & (4) \nabla \times \vec{B} &= \mu_0 \vec{j} + 1/c^2 \partial_t \vec{E} \end{aligned}$$

$$\begin{aligned} (3) &\Rightarrow \vec{B} = \nabla \times \vec{A} \\ (2) &\Rightarrow \vec{E} = -\nabla \phi - \partial_t \vec{A} \end{aligned} \quad \left. \begin{array}{l} \vec{A} \text{ vekt. potenciál} \\ \phi \text{ skalárny potenciál} \end{array} \right\}$$

• pot. měřů určene' jednoznačne - kalib. volnost:

$$\vec{A}' = \vec{A} + \nabla \chi \quad \phi = \phi' + \partial_t \chi$$

- volbou pot \rightarrow aut. splnění (3) a (2)
- rovnice pro \vec{A} a ϕ z (1) a (4)

$$\begin{aligned} (\nabla^2 \vec{A} - \frac{1}{c^2} \partial_t^2 \vec{A}) - \nabla(\nabla \cdot \vec{A} + 1/c \partial_t \phi) &= -\mu_0 \vec{j} \\ -\nabla^2 \phi - \partial_t \nabla \cdot \vec{A} &= \rho/\epsilon_0 \end{aligned}$$

\rightarrow Lorenzova kalib. podmínka: $\nabla \cdot \vec{A} + 1/c \partial_t \phi = 0$

$$\begin{aligned} \nabla^2 \vec{A} - 1/c^2 \partial_t^2 \vec{A} &= \square \vec{A} = -\mu_0 \vec{j} & \rightarrow \text{zdrojové vlnové rovnice} \\ \nabla^2 \phi - 1/c^2 \partial_t^2 \phi &= \square \phi = -\rho/\epsilon_0 \end{aligned}$$

\rightarrow Coulombova kalib. podm.: $\nabla \cdot \vec{A} = 0$

\leftarrow akauzálně

$$\nabla^2 \phi = -\rho/\epsilon_0 \quad \square \vec{A} + 1/c \partial_t \nabla \phi = -\mu_0 \vec{j}$$

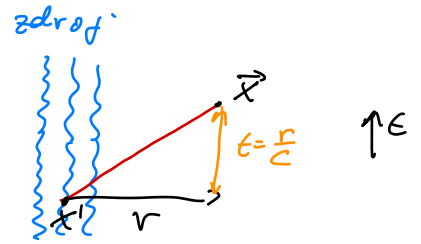
\rightarrow Weylová kalib. podm.: $\phi = 0$

Rišení dvouých rovnic

- retardované
 - advancované
- $\left. \begin{array}{l} \text{retardované} \\ \text{advancované} \end{array} \right\} \text{ konečná rychlost šíření}$

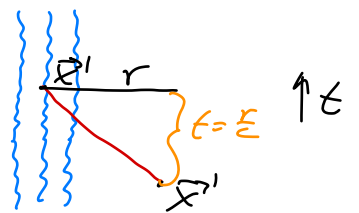
$$\phi_{\text{ret}}(\epsilon, \vec{x}) = \frac{1}{4\pi\epsilon_0} \int \frac{\rho(\epsilon - \frac{|\vec{x}-\vec{x}'|}{c}, \vec{x}')}{|\vec{x}-\vec{x}'|} d^3x'$$

retard:



$$\vec{A}_{\text{ret}}(\epsilon, \vec{x}) = \frac{\mu_0}{4\pi\epsilon_0} \int \frac{\vec{j}(\epsilon - \frac{|\vec{x}-\vec{x}'|}{c}, \vec{x}')}{|\vec{x}-\vec{x}'|} d^3x'$$

advanci:



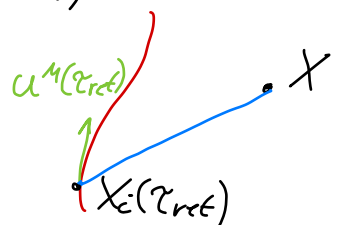
• bodové zdroje:

$$\vec{j} = \rho \vec{v} = q \delta^{(3)}(\vec{x}-\vec{x}') \vec{v} \Rightarrow j^\mu = \int q u^\mu(\tau) \delta^{(4)}(x-x_c(\tau)) c d\tau$$

$$\phi(\epsilon, \vec{x}) = \frac{q}{4\pi\epsilon_0} \frac{1}{r} \frac{1}{(1 - \vec{v} \cdot \frac{\vec{r}}{c})} \Big|_{\tau = \tau_{\text{ret}}}$$

$$\vec{A}(\epsilon, \vec{x}) = \frac{q}{4\pi\epsilon_0 c^2} \frac{\vec{v}}{r} \frac{1}{(1 - \vec{v} \cdot \frac{\vec{r}}{c})} \Big|_{\tau = \tau_{\text{ret}}}$$

$\Rightarrow \vec{v}, \vec{r}$
určeno v case
 $\tau = \tau_{\text{ret}}$



Zákon zachování

• obecný tvar rovnice kontinuity: $\partial_t w + \nabla \cdot \vec{w} = S$
 hustota vel \downarrow $\vec{w} = w \vec{v}$ \leftarrow hustota vel \vec{v} hustota vel \vec{v}

Zachování náboje

→ rovnice kontinuity: $\nabla \cdot \vec{j} + \partial_t \rho = 0$ $\partial_\mu j^\mu = 0$
 ↳ vkladová do Maxwellových, stačí $\nabla \cdot (\nabla \times \vec{B}) = \dots$

Zachování energie

$w = \nabla \cdot \vec{S} + \partial_t u$ \leftarrow hustota výkonu \rightarrow hust. energie \rightarrow Poynting
 $\vec{S} = \frac{1}{\mu_0} \vec{E} \times \vec{B}$
 $u = \frac{1}{2} \vec{D} \cdot \vec{E} + \frac{1}{2} \vec{H} \cdot \vec{B}$

→ v případě vakua: $\nabla \cdot \vec{S} + \partial_t u = 0$... rov. kont. pro hust. energii

Zachování hybnosti

$T_{ij} = -\epsilon_0 [E_i E_j + c^2 B_i B_j - \frac{1}{2} \delta_{ij} (E_i E_i + c^2 B_i B_i)]$... tenzor \leftarrow hybnosti
 $\vec{g} = \epsilon_0 \vec{E} \times \vec{B} = \frac{1}{c^2} \vec{S}$... vektor hustoty hybnosti

$\nabla \cdot \vec{T} + \partial_t \vec{g} = -\vec{f} = -(\rho \vec{E} + \vec{j} \times \vec{B})$... rovnice kontinuity pro hybnost

Zachování 4-hybnosti

→ ZZE + ZZH \leftarrow hustota 4-sily
 $T_{\mu\nu} = \begin{bmatrix} u & c\vec{g} \\ \vec{E} \cdot \vec{S} & \vec{T} \end{bmatrix}$ $\partial_\mu T^{\mu\nu} = \phi^\nu$ $\phi^\nu = j^\mu F_{\mu}{}^\nu = \begin{bmatrix} \vec{f} \\ \dots \end{bmatrix}$

$$T^{\mu\nu} = \epsilon_0 c^2 [F^{\mu\alpha} F^{\nu\beta} \eta_{\alpha\beta} - \frac{1}{4} F^{\alpha\beta} F_{\alpha\beta} \eta^{\mu\nu}]$$

Elektromagnetické vlny

Vlnová rovnice, rovinná elmag vlna

• Maxwellky bez zdrojov, mimo prostredia:

$$\begin{aligned} \nabla \cdot \vec{E} &= 0 & \nabla \cdot \vec{B} &= 0 \\ \nabla \times \vec{E} &= -\partial_t \vec{B} & \nabla \times \vec{B} &= \frac{1}{c^2} \partial_t \vec{E} \end{aligned}$$

→ spojím dostaneme:

$$\begin{aligned} \nabla^2 \vec{E} - \frac{1}{c^2} \partial_t^2 \vec{E} &= \square \vec{E} = 0 \\ \nabla^2 \vec{B} - \frac{1}{c^2} \partial_t^2 \vec{B} &= \square \vec{B} = 0 \end{aligned} \rightarrow \text{vlnové rovnice pre } \vec{E} \text{ a } \vec{B}$$

• v prípade prostredia $c^2 = \frac{1}{\epsilon_0 \mu_0} \rightarrow v^2 = \frac{1}{\epsilon_r \epsilon_0 \mu_0} = \frac{c^2}{n^2}$ index lomu

• $n = \frac{c}{v} \geq 1$... index lomu

• $v(\omega) = \frac{c}{n(\omega)}$... rýchlosť šírenia $k(\omega) = \frac{n(\omega)\omega}{c}$ $\lambda(\omega) = \frac{\lambda_0}{n(\omega)}$

$\omega = ck$... disperzná relácia

Rovinná vlna

→ harmonická vlna hok funkcie

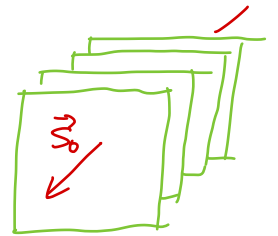
$$\vec{E} = \vec{E}_0 \sin(\vec{k} \cdot \vec{r} - \omega t + \delta) = \vec{E}_0 e^{i(\vec{k} \cdot \vec{r} - \omega t + \delta)} \quad \vec{B} = \vec{B}_0 \sin(\vec{k} \cdot \vec{r} - \omega t + \delta)$$

$\vec{k} = \frac{2\pi}{\lambda} \vec{S}_0$, kde $|\vec{S}_0| = 1$ je smer šírenia

$$\omega = 2\pi f = \vec{k} \cdot \vec{S}_0 c = kc$$

$$\vec{S}_0 = \frac{\vec{k}}{|\vec{k}|}$$

$\vec{S}_0 \cdot \vec{r} = \text{konst} \rightarrow$ rovina \Rightarrow rovinná vlna



$$\vec{E} \perp \vec{B} \perp \vec{S}_0$$

$\vec{S}_0 \times \vec{E} = v \vec{B}$
 $\vec{S}_0 \times \vec{B} = -\frac{1}{v} \vec{E}$ } smer šírenia je kolmý na el. a mag. pole \Rightarrow priečne vlnenie

• Lorenzove invarianty $\mathcal{L} \propto E^2 - c^2 B^2 = 0$ $\mathcal{G} \propto \vec{E} \cdot c \vec{B} = 0$

• energia vlny:

$$\langle u \rangle = \langle u_E \rangle + \langle u_B \rangle = \frac{1}{2} \epsilon_0 \epsilon_r E_0^2 \uparrow$$

$$\langle cu \rangle = \langle \epsilon_0 E^2 c \rangle \rightarrow \text{zvárujúci výkon}$$

$$\langle S \rangle = \frac{1}{2} \epsilon_0 c n E_0^2 \rightarrow \text{Poinťing}$$

$$\langle I \rangle = \frac{1}{2} \epsilon_0 c n E_0^2 \rightarrow \text{intenzita}$$

ust. energ

• z linearít Maxwellových rovníc

princíp superpozície:

$$\vec{E} = \sum_n \vec{E}_n$$

↳ obecná vlna \rightarrow Fourierka \rightarrow staci šum + harmonické

pre ušetrovanie intenzity v komplexnej notácii:

$$I = \frac{1}{4} \epsilon_0 n^2 \vec{E} \cdot \vec{E}^*$$

Polarizační vlastnosti elmag. vlny

• BUNO $\vec{k} = k \vec{e}_z$

$$\left. \begin{aligned} E_x &= a_x \cos(kz - \omega t) \\ E_y &= a_y \cos(kz - \omega t + \delta) \end{aligned} \right\} \vec{E} = \begin{pmatrix} a_x \\ a_y e^{i\delta} \end{pmatrix} e^{i(kz - \omega t)}$$

→ v závislosti na a_x, a_y, δ dostaneme různé polarizace

• polarizační vlnec:

$$\left(\frac{E_x}{a_x}\right)^2 - 2\frac{E_x}{a_x}\frac{E_y}{a_y}\cos\delta + \left(\frac{E_y}{a_y}\right)^2 = \sin^2\delta$$

$$\begin{aligned} a_x = a_y = a, \delta = \pm \frac{\pi}{2} &\rightarrow \text{krhovo} \\ \delta = 0 &\rightarrow \text{lineárne} \end{aligned}$$

→ elipsa

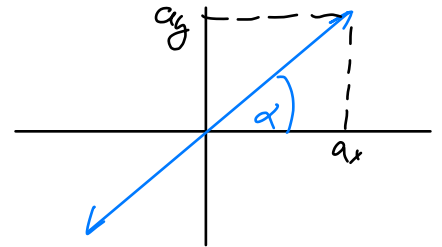
Jonesov formalizmus

• polarizačný stav = 2D vektor

$$\vec{E} = E_{ef} \begin{pmatrix} \cos\alpha \\ \sin\alpha e^{-i\delta} \end{pmatrix} e^{i\varphi}$$

$$\vec{J} = \begin{pmatrix} \cos\alpha \\ \sin\alpha e^{-i\delta} \end{pmatrix} \rightarrow \text{Jonesov vektor}$$

$$E_{ef} = \sqrt{a_x^2 + a_y^2}$$



$$\langle u_E \rangle = \frac{1}{2} \epsilon_0 \epsilon_r E_{ef}^2$$

• špeciálne prípady:

- 1) lineárne: $\vec{J} = \begin{pmatrix} \cos\alpha \\ \sin\alpha \end{pmatrix}, \delta = 0$, α určuje rovinu polarizácie
- 2) kruhovo: $\vec{J} = \frac{1}{\sqrt{2}} \begin{pmatrix} 1 \\ i \end{pmatrix}, \frac{1}{\sqrt{2}} \begin{pmatrix} 1 \\ -i \end{pmatrix}$ → RCP
LCP ←

Príprava polariz. svetla: 1) lineárny dvojitom

2) odraz od Θ_{Br}

3) dichroizmus - \vec{E} je v jednom smere abs

Polarizačné zariadenia - menia polarizačný vektor \Rightarrow matice

1) rotačný - rotuje polarizačnú rovinu o uhol ϕ

$$R = \begin{pmatrix} \cos\phi & \sin\phi \\ \sin\phi & \cos\phi \end{pmatrix}$$

2) polarizátor - projektuje do nejakého smeru daného uhlom β
 \Rightarrow nezachováva energiu

$$T = \begin{pmatrix} \cos\beta \\ \sin\beta \end{pmatrix} \begin{pmatrix} \cos\beta & \sin\beta \end{pmatrix} = \begin{pmatrix} \cos^2\beta & \sin\beta\cos\beta \\ \sin\beta\cos\beta & \cos^2\beta \end{pmatrix} = T$$

3) fázovalá destička - vytvára fázový posun medzi x, y smermi
- neizotropný materiál

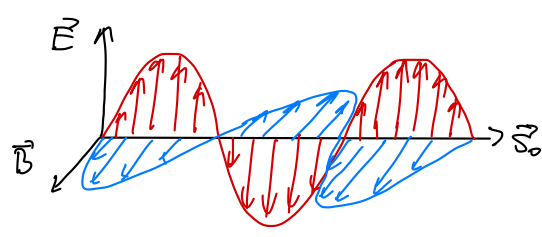
$$\phi = \frac{2\pi}{\lambda} (n_y - n_x) d \Rightarrow T = \begin{pmatrix} 1 & 0 \\ 0 & e^{i\phi} \end{pmatrix}$$

Šíření elmag. vlny v látkovém prostředí

- v případě **látkového prostředí**:
 - nemagnetického $\vec{B} \approx \mu_0 \vec{H} \Rightarrow$ dominantní složka:

$$\square \vec{E} = \mu_0 \partial_t \vec{j}_f + \mu_0 \partial_t^2 \vec{P} + \frac{1}{\epsilon_0} \nabla \rho_f - \frac{1}{\epsilon_0} \nabla(\nabla \cdot \vec{P})$$

- 1) **nemagnetické** $\vec{B} = \mu_0 \vec{H}$ (dominantní \vec{E})
- 2) **nevodivé** $\rho_f = 0, \vec{j}_f = 0$
- 3) **izotropní** $\nabla(\nabla \cdot \vec{P}) = 0$
- 4) **lineární** $\vec{P} = \epsilon_0 \chi(\omega) \vec{E} = \epsilon_0 (\epsilon_r(\omega) - 1) \vec{E}$



$$\Rightarrow \nabla^2 \vec{E} - \mu_0 \epsilon_0 \epsilon_r(\omega) \partial_t^2 \vec{E} = \nabla^2 \vec{E} - \frac{1}{v^2(\omega)} \partial_t^2 \vec{E} = 0$$

vázaná rychlost $v(\omega) = \frac{1}{\sqrt{\mu_0 \epsilon_0 \epsilon_r(\omega)}} = \frac{c}{\sqrt{\epsilon_r}} = \frac{c}{n(\omega)}$

dispersion
relace

index lomu $n(\omega) = \frac{c}{v(\omega)} \geq 1$, vlnový vektor $k(\omega) = \frac{n(\omega)\omega}{c}$

$$\lambda(\omega) = \frac{c}{n(\omega) \omega}$$

$$V_{gr} = \frac{d\omega}{dk}$$

→ v případě vodivého prostředí $\vec{j} = \gamma \vec{E}$

$$\Rightarrow \nabla^2 \vec{E} - \frac{1}{v^2(\omega)} \partial_t^2 \vec{E} = \gamma \mu_0 \partial_t \vec{E} \rightarrow \text{pohlcování } \vec{E} \text{ v prostředí}$$

intenzita $I = I_0 e^{-\alpha z} \rightarrow$ absorpce záření
Lambert-Beerův zákon $\rightarrow \alpha$ absorpční koef

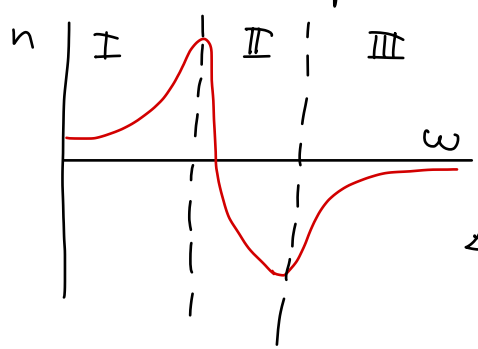
pre komplexní rovnici vln $\vec{E} = \vec{E}_0 e^{i(kz - \omega t)} e^{-k_I z}$ $\alpha = 2k_I$

$\tilde{k} = k_R + ik_I$
 $k_R = \frac{\omega}{c} n$
 $k_I = \frac{\omega}{c} \kappa$
 $\tilde{n} = n + i\kappa \rightarrow$ komplexní index lomu

při pohlcování iba $\vec{E} \Rightarrow \vec{B}$ a \vec{E} nekmitají v o fázi: $\Delta\varphi = \frac{\pi}{n}$

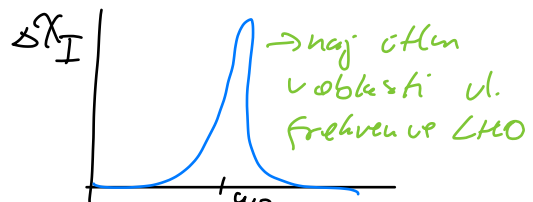
Lorentzův model

→ popis dielektrika jako klas. LHO, élmeuj, buďeuj vlnov
 → kládáme disperzní relaci

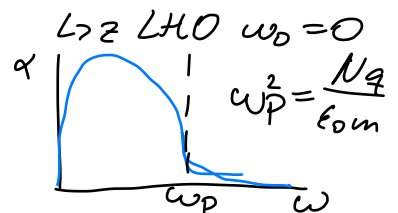


$\vec{P} = qN(\vec{r} - \vec{r}_0) = \epsilon_0 \chi \vec{E} \Rightarrow \chi = \chi(\omega)$
 ← polarizace
 ↳ rezonance LHO

I, III normální disperze $\frac{dn}{d\omega} > 0$
 II anomální disperze $\frac{dn}{d\omega} < 0$



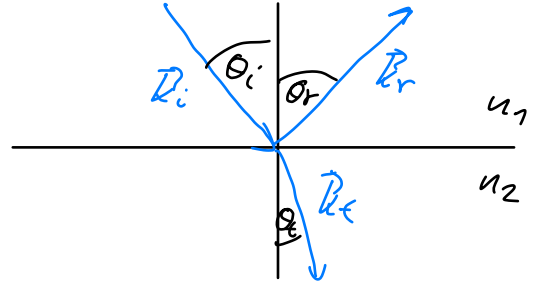
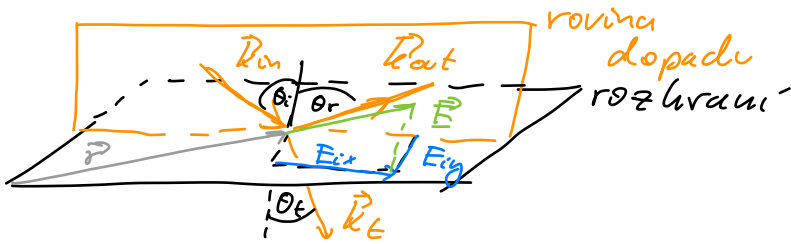
Drudeho model



Odraz a lom elmag vln na rozhraní dvou prostředí

• vychází rovnice → Maxwelly na rozhraní (bez zdrojů)

$$\begin{cases} [\vec{E}]_{\times \vec{n}} = 0 \\ [\vec{H}]_{\times \vec{n}} = 0 \end{cases} \text{ sp. podmínky zlozek}$$



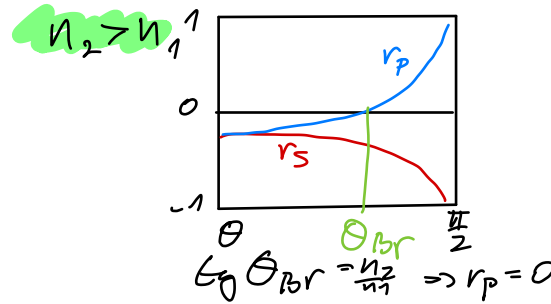
→ z Maxwellův: 1) $\omega_i = \omega_r = \omega_t$
2) $\vec{k}_i \cdot \vec{r} = \vec{k}_r \cdot \vec{r} = \vec{k}_t \cdot \vec{r}$

⇒ zákon odrazu: $\theta_i = \theta_r$, Snellov zákon lomu: $n_1 \sin \theta_i = n_2 \sin \theta_t$

$\sin \theta_c = \frac{n_2}{n_1} \rightarrow$ kritický úhel, pro $\theta > \theta_c \rightarrow$ tot. odraz
↳ len ak $n_2 < n_1$

Fresnelovy vzorce

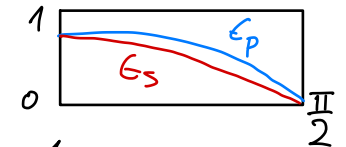
• vychází principy → spojitost na rozhraní
→ $\vec{\nabla}_0 \times \vec{E} = \frac{c}{n} \vec{B}$



→ s-polarizace = kolmo na rovinu dopadu
↳ tečné k rovině prostrání

$$r_s = \frac{E_r}{E_i} = \frac{n_1 \cos \theta_i - n_2 \cos \theta_t}{n_1 \cos \theta_i + n_2 \cos \theta_t} \dots \text{reflexe}$$

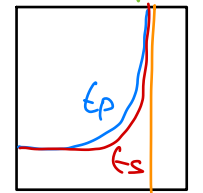
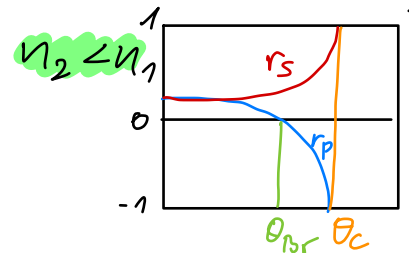
$$t_s = \frac{E_t}{E_i} = r_s + 1 \dots \text{přechod}$$



→ p-polarizace = tečné na rovinu dopadu

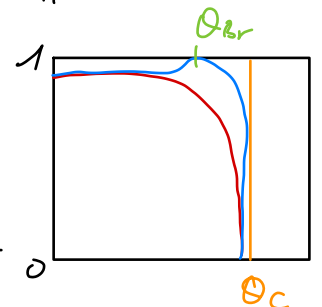
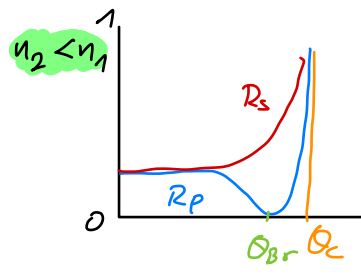
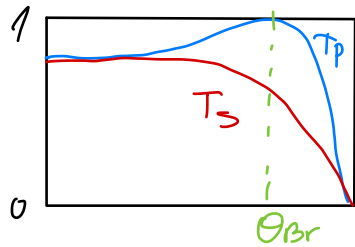
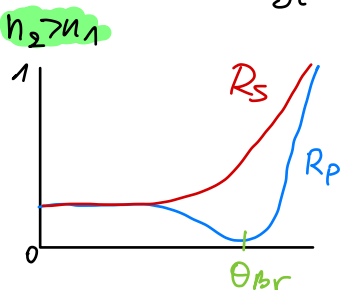
$$r_p = \frac{E_r}{E_i} = \frac{n_1 \cos \theta_t - n_2 \cos \theta_i}{n_1 \cos \theta_t + n_2 \cos \theta_i}$$

$$t_p = (r_p + 1) \frac{\cos \theta_i}{\cos \theta_t}$$



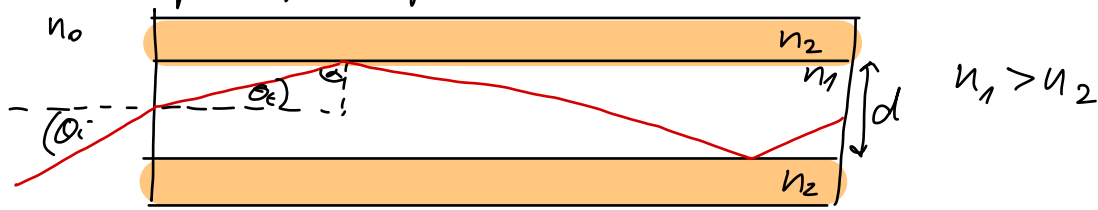
• výkon $S = IA$ ← plocha vlny
zo ZZE

$$R = \frac{J_r}{J_i} = \left| \frac{E_r}{E_i} \right|^2 = |r_{s,p}|^2 \quad T = \frac{J_t}{J_i} = \frac{n_2 \cos \theta_t}{n_1 \cos \theta_i} |t_{s,p}|^2$$



Elmag vlnenie vo vlnovodoch

- optické vlákna
- založené na princípe úplného odrazu



- podmienka na vstupný uhol pre úplný odraz:

$$\sin \theta_c^m = \frac{\sqrt{n_1^2 - n_2^2}}{n_0} \rightarrow \text{medzný uhol} \Rightarrow \theta_i < \theta_c^m \text{ pre úplný odraz}$$

$$NA = \sqrt{n_1^2 - n_2^2} \dots \text{numerická aparatúra vlákna}$$

- pri odrazoch a samostatnom šírení sa posúva fáza

$$\Delta\varphi = 2kd \cos \alpha + \Delta\varphi_{\text{odraz}} \approx 2n_1 k d \cos \alpha = 2m\pi \quad m = 0, \dots, M$$

zauvažujeme

→ maximálny počet módu je daný d :

$$M = \left\lfloor \frac{2d}{\lambda_0} n_1 \cos \alpha_c \right\rfloor = \left\lfloor \frac{2d}{\lambda_0} NA \right\rfloor \Rightarrow \text{max. počet módu je } M+1$$

- útlm → zníženie výkonu spôsobený pohlcením

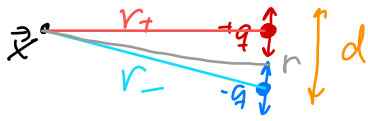
$$B = 10 \log_{10} \frac{P_1}{P_2}$$

→ výkon na vstupe
→ výkon na výstupe

- vplyv disperzie - signál sa šíri vo forme pulzov → grupová rýchlosť $v_g(\omega)$

Dipólové elmag. žiarenie

- časovo závislý dipólový moment $\vec{p}(t) = p_0 \cos \omega t$, kde $p_0 = qd \vec{e}_z$



- skalárni potenciál:
$$\varphi = \frac{q_0}{4\pi\epsilon_0} \left(\frac{\cos(\omega(t - \frac{r_+}{c}))}{r_+} - \frac{\cos(\omega(t - \frac{r_-}{c}))}{r_-} \right)$$

- ↳ aproximácie:
- $r \gg d \rightarrow$ oscilácie dipólu sú malé v por. zo vzdial.
 - $d \ll \lambda \rightarrow$ kmity sú pomalé
 - $r \gg \lambda \rightarrow$ v rad. zóne

$$\Rightarrow \varphi(r, \theta, t) = -\frac{1}{4\pi\epsilon_0} \frac{\omega}{c} \frac{p_0 \cos \theta}{r} \sin(\omega(t - \frac{r}{c}))$$

$$\vec{A}(r, \theta, t) = -\frac{\mu_0}{4\pi} \omega \frac{p_0}{r} \sin(\omega(t - \frac{r}{c})) \vec{e}_z$$

$$\Rightarrow \vec{E} = -\frac{\mu_0 p_0 \omega^2}{4\pi} \frac{\sin \theta}{r} \cos(\omega t - kr) \vec{e}_\theta$$

$$\vec{B} = \frac{\mu_0 p_0 \omega^2}{4\pi c} \frac{\sin \theta}{r} \cos(\omega t - kr) \vec{e}_\varphi$$

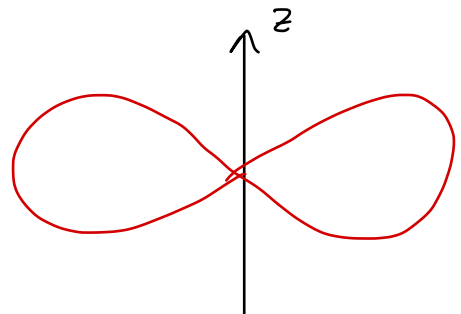
\rightarrow v prípade $\theta \approx 0 \rightarrow$ v rovine dipólu \Rightarrow kulové dng $\mathcal{U}(r) = \frac{A}{r} e^{i(\omega t - kr)}$

\rightarrow Poyntingov vektor:

$$\langle \vec{S} \rangle = \langle \frac{\vec{E} \times \vec{B}}{\mu_0} \rangle = \frac{\mu_0 p_0^2 \omega^4 \sin^2 \theta}{32 \pi^2 c} \vec{e}_r$$

- celkový vyžiarený stredný výkon

$$\langle P \rangle = \int \langle \vec{S} \rangle \cdot d\vec{S} = \frac{\mu_0 p_0^2 \omega^4}{12 \pi^2 c}$$



Optika

Interference, optické interferometry

• interference dvou monochrom zvařkuv:

$$\vec{E}_1 = \vec{E}_{01} e^{i(\vec{k}_1 \cdot \vec{r} - \omega t + \delta_1)}, \quad \vec{E}_2 = \vec{E}_{02} e^{i(\vec{k}_2 \cdot \vec{r} - \omega t + \delta_2)} \quad |\vec{k}_1| = |\vec{k}_2| = k$$

$$\vec{E} = \vec{E}_1 + \vec{E}_2 \quad I = I_1 + I_2 + 2\sqrt{I_1 I_2} \cos \alpha \cos \delta_{12}$$

α je úhol medzi polarizaciami

$$\delta_{12} = k(\vec{z}_{01} - \vec{z}_{02}) \cdot \vec{r} + \delta_{01} - \delta_{02}$$

$$\cos \alpha = \frac{\vec{E}_{01} \cdot \vec{E}_{02}}{|\vec{E}_{01}| |\vec{E}_{02}|}$$

→ pre stejní polarizaci $\Rightarrow \cos \alpha = 1$

$$\text{viditeľnosť} = \frac{I_{\max} - I_{\min}}{I_{\max} + I_{\min}} = \frac{2\sqrt{I_1 I_2}}{I_1 + I_2}$$

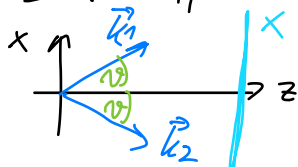
→ pre stejní amplitudy $I_1 = I_2 = I_0$: $I = 4I_0 \cos^2 \frac{\delta_{12}}{2}$

• různé frekvencie

$$\vec{E}_i = E_0 \cos(k_i z - \omega_i t) \Rightarrow \vec{E} = E_0 \cos(k z - \omega t) \cos(\Delta k z - \Delta \omega t)$$

$$\rightarrow k = \frac{1}{2}(k_1 + k_2), \quad \Delta k = \frac{1}{2}(k_2 - k_1), \dots$$

• nekolnearne zvařzby



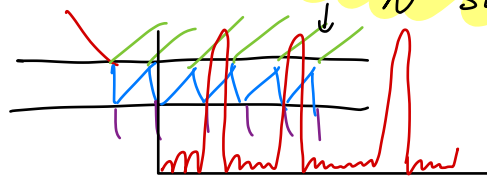
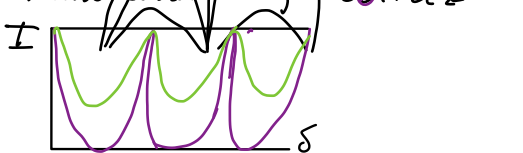
$$I = 4I_0 \left(1 + \cos\left(\frac{\omega t}{d_0} \sin \theta x + \delta_0\right) \right)$$

• interference mnoha vln

1) stejní amplitudy

$$E_m = E_0 e^{i\epsilon} e^{i m \delta} \Rightarrow E_{\text{tot}} = \sum_m E_m \Rightarrow I = I_0 N^2 \frac{\sin^2(\frac{N\delta}{2})}{N^2 \sin^2 \frac{\delta}{2}}$$

2) různé amplitudy
↳ mnohonásobný odraz



→ interference - dáva rozdielov prejdeť vzhľadnosťou

→ pri každom odraze niečo prejde

↳ strata dnu reflexi

prejdeť

$$E_{\text{tot}} = E_{21} E_{12} e^{i\frac{\delta}{2}} E_i \sum_{l=1}^{\infty} (r_{21}^2 e^{i\delta})^l$$

$$I = \frac{I_0}{1 + F \sin^2 \frac{\delta}{2}}, \quad F = \frac{4R}{(1-R)^2} \dots \text{jeňnosť}$$

Interferometry

→ konštruuvať zmeňu δ

• Michelsonov IF

$$\rightarrow \text{max: } \Delta d \cos \theta = \frac{\lambda}{2n}$$

$$\rightarrow \text{min: } \Delta d \cos \theta = \frac{\lambda}{2n} (m + \frac{1}{2})$$

• planparallel destička

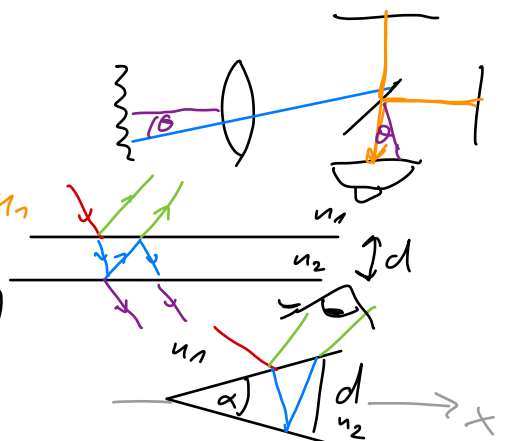
$$\delta_E = \frac{4\pi}{\lambda} n_2 d \cos \theta$$

$$\delta_R = \frac{4\pi}{\lambda} n_2 d \cos \theta + \pi$$

$n_2 > n_1$

• interferenční prvky

$$\rightarrow \text{max: } x_{\max} = \frac{\lambda}{2\alpha \cos \theta} (m - \frac{1}{2})$$



Koherece svetla

- korelace zariadení, stat. vlastnosti svetla
- dobre LF \leftrightarrow \neq kohorentní
- **kvázi-monochrom. zariadení** $\omega \in \bar{\omega} + [\Delta\omega_1 - \Delta\omega]$ $\Delta\omega \ll \bar{\omega}$
 \hookrightarrow popíšeme $\vec{E} = \vec{A}(t) e^{i(\varphi(t) - \bar{\omega}t)}$

korelační funkce:

$$\Gamma_{12}(\vec{r}_1, \vec{r}_2, \tau) = \langle \vec{E}_1(\vec{r}_1, t + \tau) \vec{E}_2(\vec{r}_2, t) \rangle_{\epsilon_D} = \frac{1}{\epsilon_D} \int_{-\frac{\epsilon_D}{2}}^{\frac{\epsilon_D}{2}} \vec{E}_1(\vec{r}_1, t + \tau) \vec{E}_2(\vec{r}_2, t) dt$$

intenzita LF zariadení:

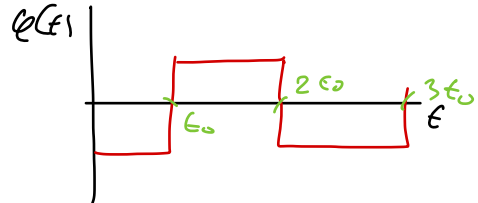
$$I = \frac{1}{4} \epsilon_0 \epsilon_r \langle (\vec{E}_1 + \vec{E}_2) (\vec{E}_1^* + \vec{E}_2^*) \rangle_{\epsilon_D} = I_1 + I_2 + 2\sqrt{I_1 I_2} \text{Re} \{ \gamma_{12}(\tau) \}$$

$$\gamma_{12}(\vec{r}_1, \vec{r}_2, \tau) = \frac{\Gamma_{12}(\vec{r}_1, \vec{r}_2, \tau)}{\sqrt{I_1(0)} \sqrt{I_2(0)}} \rightarrow \text{komplexná stat. kohorence}$$

$\rightarrow 1 = \text{kohor}$
 $\rightarrow 0 = \text{nehor}$

Časová kohorence

- jedno miesto, ale posun v čase
- v prípade Michel. LF: $\tau = \frac{d_2 - d_1}{c}$
- **skoková fáza** $\rightarrow \varphi(t) = H_n(t) \dots$ skoková fce, kde po t_0 dať náhly skok
 \hookrightarrow pošleme do LF \rightarrow dostane τ rozdiel

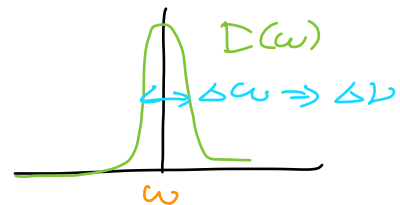


$$I(\tau) = 2I_0 (1 + \cos(k_0 \tau) (1 - \frac{\tau}{\epsilon_0})) \rightarrow \gamma(\tau) = e^{-i\omega_0 \tau} (1 - \frac{\tau}{\epsilon_0})$$

$V = |\gamma(\tau)| \dots$ viditeľnosť - LF obrazce

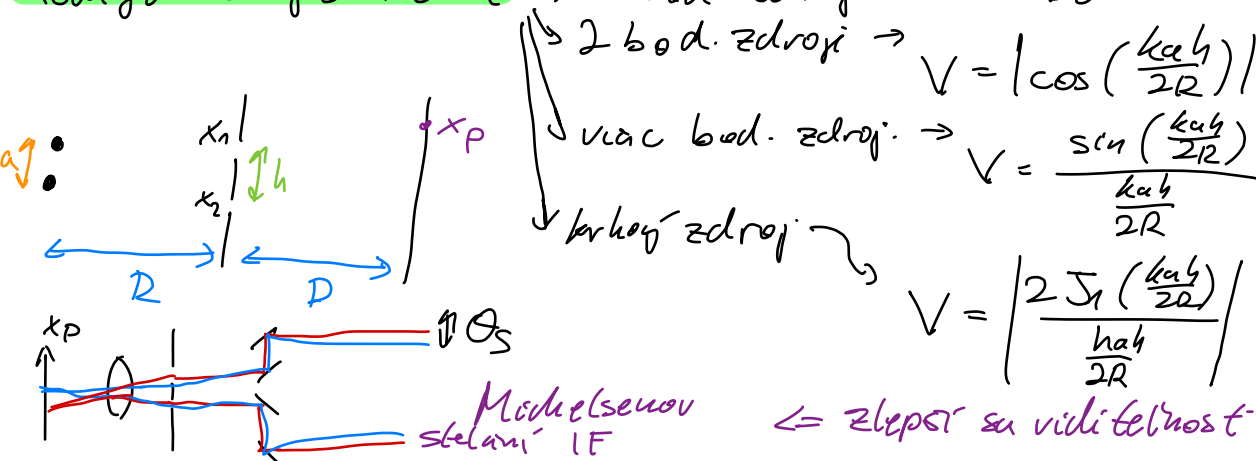
- **koherenčný čas** - typický čas poklesu $\gamma(\tau)$, pre skoky je $\tau_c = \epsilon_0$
- **koherenčná dĺžka** - $l_c = c \tau_c$
- \rightarrow pre polyfrenčnú svetelnú zdroj $I_{\omega}(\omega)$

$$l_c \approx \frac{c}{\Delta\nu}, \text{ kde } \Delta\nu \text{ je FWHM}$$



Prostorová kohorence

- rovnaký čas t , ale rozdielne \vec{r}_1, \vec{r}_2
- sledujeme korelační zariadení prich. z bodov X_1 a X_2
- **Youngova dvojštrbina** \rightarrow 1 bod zdroj $\rightarrow I \propto E_0^2 (1 + \cos(\omega h \frac{x_p}{R}))$



2 bod. zdroj $\rightarrow V = |\cos(\frac{kah}{2R})|$
 viac bod. zdroj. $\rightarrow V = \frac{\sin(\frac{kah}{2R})}{\frac{kah}{2R}}$
 krhový zdroj $\rightarrow V = \left| \frac{2J_1(\frac{kah}{2R})}{\frac{kah}{2R}} \right|$

aj pre zdroj, kt. má niečo navyše korelačné po dosahujúci vzdial skvelej

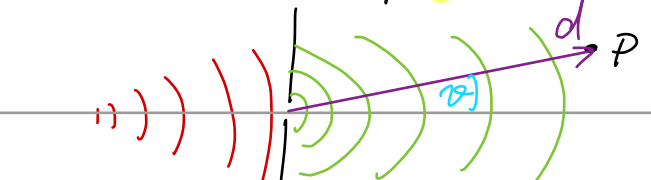
\leftarrow zlepši sa viditeľnosť \leftarrow

Ohyb svetla

- difrakcie, Huygensov princíp \Rightarrow ohyb
- difrakčný integrál
- dnu dopada na operatívnu \rightarrow IF \rightarrow obraz je FT operatívny

$$E(x, y, z) = -\frac{i}{\lambda} \int_{\text{operatívna}} E(x, y, 0) \frac{e^{ikd}}{d} h(x, y) dx dy \rightarrow \text{skalárna app}$$

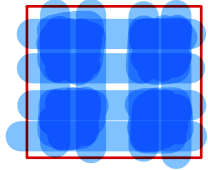
\sim 1 parak. app. malých otvor



$$d^2 = z^2 + (x-X)^2 + (y-Y)^2$$

rovinná vlna \downarrow

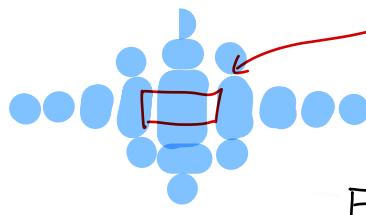
• **Fresnelova aproximace** $\rightarrow z^2 \gg (x-X)^2 + (y-Y)^2 + E(x, y, 0) = E_0$



rozmer prechádzky

\rightarrow pre malé otvory a veľké vzdialenosti + blízko osi
 $\Rightarrow d = z + \frac{(x-X)^2 + (y-Y)^2}{2z}$ • $\lambda \ll z \ll z_{\text{mez}}$

• **Fraunhofer. aproximace**



\rightarrow Fresnel + $\exp(i k \frac{x^2 + y^2}{2z}) \times 1$ správnosťou D $x^2 + y^2$
 $\rightarrow 2z \gg k(x^2 + y^2)$
 \rightarrow v prípade kruhového otvoru $z \gg z_{\text{mez}} \approx k \frac{D^2}{8}$
 \rightarrow veľká vzdialenosť + veľká dnu dĺžky

$$E(x, y, z) = -\frac{i E_0}{\lambda z} e^{ikz} \int_{\text{oper}} e^{ik \frac{x^2 + y^2}{2z}} e^{ik \frac{xX + yY}{2z}} dx dy$$

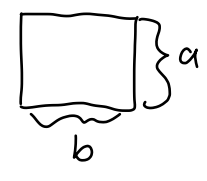
• **Babinetov princíp:**

Edičera + Eprechádzka = Evolúcie
 \hookrightarrow Poissonova škvrna - najväčšie pre kruhy je v strede kruhu

• difrakcie na šterbine

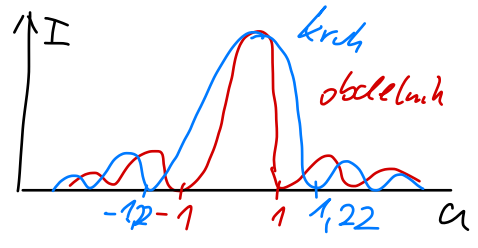
$$I = I_0 \frac{\sin^2 u}{u^2}$$

• difrakcie na obdĺnikovom otvore (Fraunhofer)



$$I(x, y, z) = I_0 \frac{\sin^2 v}{v^2} \frac{\sin^2 u}{u^2}$$

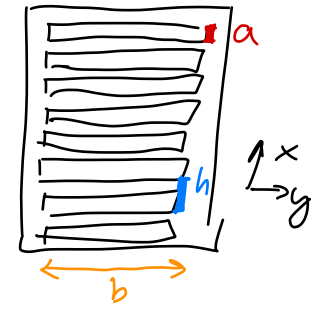
$$v = \frac{bk y}{2z} \quad u = \frac{ak x}{2z}$$



\rightarrow 1. max \rightarrow kruh = 1,22
 \rightarrow obdĺnik = 1

• difrakcie na rade šterbin = optická mriežka (Fraunhofer)

\hookrightarrow súčet vln, kt. každá prechádza čnou dierou

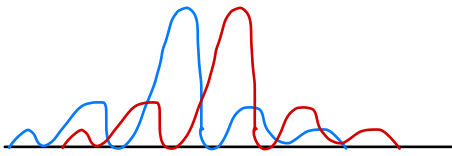


$$I = I_0 \left(\frac{\sin(N \frac{\delta}{2})}{N \sin \frac{\delta}{2}} \right)^2 \frac{\sin^2 u}{u^2} \frac{\sin^2 v}{v^2}$$

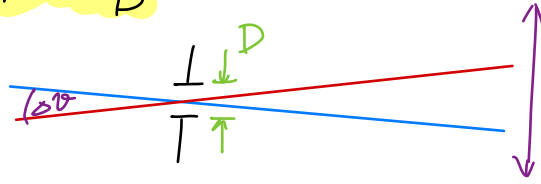
IF mnoha vln

$$u = \frac{ak x}{2z} \quad v = \frac{bk y}{2z} \quad \delta = kh \sin \theta$$

- Rayleighovo kritérium - rozlíšení dvou zdrojů světla
 - 1. min jednoho je 1. max druhého



$$\Delta\theta \approx 1,22 \frac{\lambda}{D}$$



- mřížková rovnice

$$\delta = \frac{2\pi}{\lambda} (d \sin\theta - d \sin\theta_{in})$$

$$\hookrightarrow \text{max: } \delta = 2\pi m \Rightarrow \lambda m = d (\sin\theta - \sin\theta_{in})$$

$$\hookrightarrow \text{min: } \delta = 2\pi (m + \frac{1}{2})$$

- Braggova rovnice \rightarrow (F na rovniciach krystalu

$$\Rightarrow 2d \sin\theta = m \lambda$$

Šíření světla v anizotrop. látkách

$$\vec{D} = \epsilon_0 (1 - \epsilon_r) \vec{E} \quad \epsilon_r = \begin{pmatrix} n_1^2 & & \\ & n_2^2 & \\ & & n_3^2 \end{pmatrix}$$

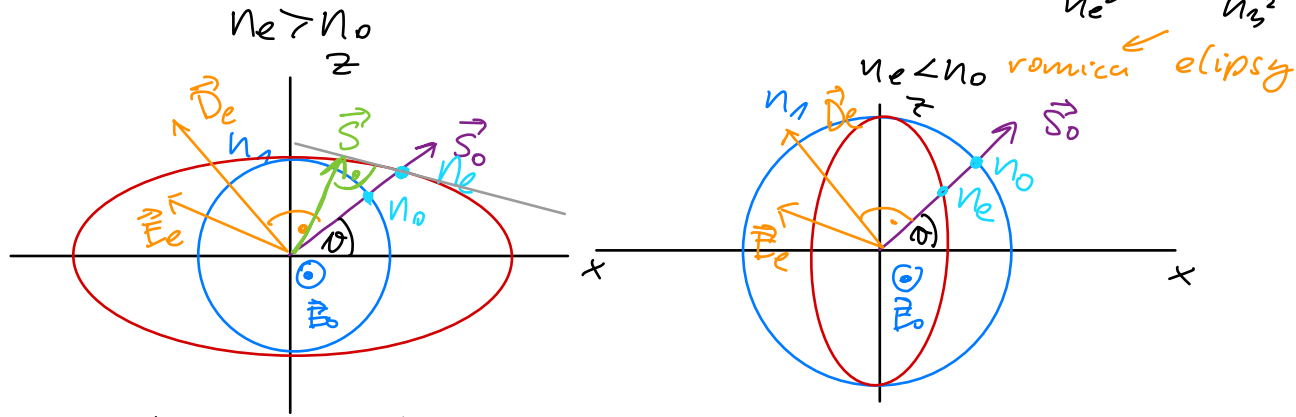
$$\begin{aligned} (n^2 - n_1^2) E_x &= n^2 S_{0x} \vec{S}_0 \cdot \vec{E} \\ (n^2 - n_2^2) E_y &= n^2 S_{0y} \vec{S}_0 \cdot \vec{E} \\ (n^2 - n_3^2) E_z &= n^2 S_{0z} \vec{S}_0 \cdot \vec{E} \end{aligned}$$

$\vec{D} \cdot \vec{D} = 0$, ale $\vec{D} \cdot \vec{E} \neq 0 \rightarrow \vec{E}$ není kolmo na \vec{D}

$$\frac{S_{0x}^2}{n^2 - n_1^2} + \frac{S_{0y}^2}{n^2 - n_2^2} + \frac{S_{0z}^2}{n^2 - n_3^2} = 1 \rightarrow \text{Fresnelova rovnice}$$

n je neznámá \rightarrow udává odkl. lom v směru \vec{S}_0

- $n_1 = n_2 \rightarrow$ jednoosé materiály
- \hookrightarrow první řešení $n_o = n_1 = n_2 \rightarrow$ tzv. **ordinární vlna**
- \hookrightarrow druhé řešení $n_e \rightarrow$ extraordinární vlna: $\frac{1}{n_e^2} = \frac{\sin^2 \theta}{n_2^2} + \frac{\cos^2 \theta}{n_1^2}$

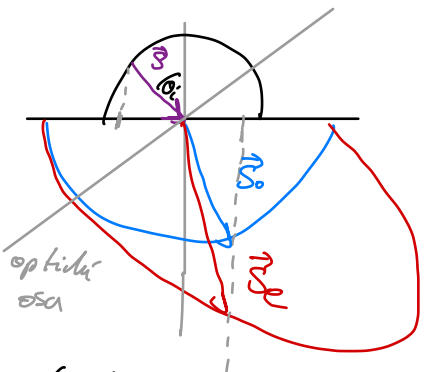


- optická os** - $n = \text{konst}$ v $\vec{D} \rightarrow$ osa z pro $n_1 = n_2$
- rovina klamého řezu** - dává optickou osu a směrem šíření \vec{S}_0
- ordinární vlna** je polariz. kolmo na rovinu kl. řezu
- extraord. vlna** je polariz. v rovině kl. řezu
- směr Poyntinga $\vec{S} =$ normála k tečně v bodě kde \vec{S}_0 protne elipsu
- lom světla \rightarrow ord: $n_1 \sin \theta_i = n_o \sin \theta_e$
- \rightarrow e-ord: $n_1 \sin \theta_i = n_e(\theta_e) \sin \theta_e$

indikatrix - alb. popis pomocí elipsoidu:

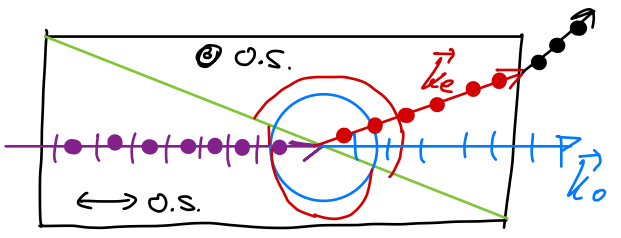
$$\frac{D_x^2}{n_1^2} + \frac{D_y^2}{n_2^2} + \frac{D_z^2}{n_3^2} = 1 \rightarrow n \text{ je dané v zar. od směru } \vec{D}$$

$\rightarrow \vec{E}$ je tečnou k normále

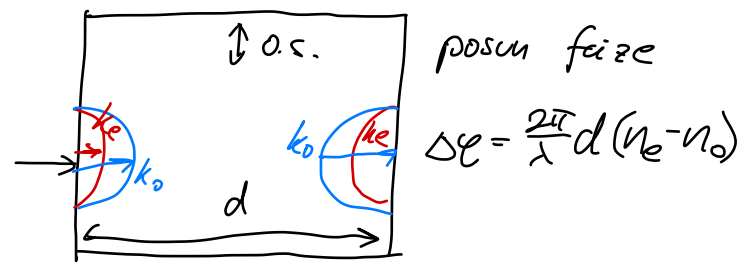


- použití**
- $\rightarrow \vec{E}_e$ kmitá v směru o.s., \vec{E}_o kolmo

1) Rochonův polarizátor



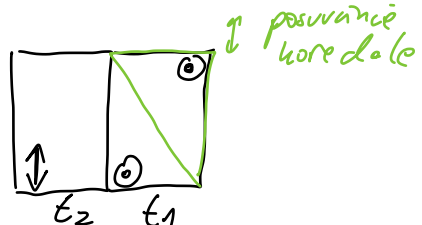
2) Fázeová destička



3) kompenzátor

\rightarrow posouváním se nastaví obecná fáze

$$\Delta \varphi = \frac{2\pi}{\lambda} d (n_e - n_o) (t_2 - t_1)$$



Geometrická optika

- veľkosť objektov $\gg \lambda$
- nehomog. prostredie $\epsilon = \epsilon(\vec{r})$, $n = n(\vec{r})$; $d = \vec{S}_0 \cdot \vec{r}$... optická dráha
- eikonalová aproximácia: $\vec{E} = \vec{E}_0 e^{ik_0 \varphi(\vec{r}) - i\omega t}$

$\varphi(\vec{r})$.. eikonál

- eikonalová rovnica: $\nabla \varphi(\vec{r}) = n \vec{S}_0$ $\varphi(\vec{r}) = \text{konst}$ je vlnoplocha
- paprsek = param. krivka $\vec{r}(s)$ ktorej je \vec{S}_0 tečňa $\frac{d}{ds} \vec{r}(s) = \vec{S}_0$

$$\rightarrow \frac{d}{ds} [n(\vec{r}(s)) \vec{S}_0(\vec{r}(s))] = \nabla n(\vec{r}(s)) \rightarrow \text{paprsková rovnica}$$

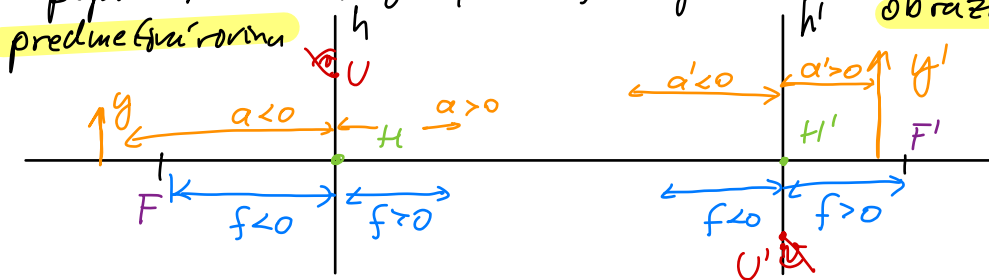
• Lag. invariant: $\oint n(\vec{r}) \vec{S}_0(\vec{r}) \cdot d\vec{l} = 0$

- Fermatov princíp - svetlo sa šíri po najkratšej optickej dráhe

$$T = \int_A^B dt = \int_A^B \frac{n(\vec{r})}{c} ds \quad \delta T = 0$$

Gaussova zobrazovacia rovnica

- popis opt. sústav sferických plôch



obrazová rovnica

- $H, H' \rightarrow$ hlavné body
- \hookrightarrow predmet v H sa zobrazí na obraz H' stýnej výšky
- $F, F' \rightarrow$ ohniskové body
- \hookrightarrow obraz je v ∞ , obraz pred. z ∞
- $U, U' \rightarrow$ uzlové body
- \hookrightarrow konjug. pŕmery pod rovnakým θ

$$\frac{f}{a} + \frac{f'}{a'} = 1$$

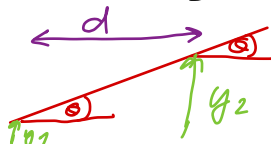
$$\frac{y'}{y} = \frac{f}{f-a} = \frac{f'-a'}{f'}$$

- paraxiálna opt. \rightarrow malé uhly

• maticová optika: $\begin{pmatrix} y_2 \\ \theta_2 \end{pmatrix} = \begin{pmatrix} A & B \\ C & D \end{pmatrix} \begin{pmatrix} y_1 \\ \theta_1 \end{pmatrix}$

prenosová matica \rightarrow daná O.S.

- 1) vlné šírenie:



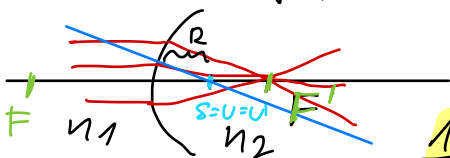
$$T_d = \begin{pmatrix} 1 & -d \\ 0 & 1 \end{pmatrix}$$

2,5) zrcadlo

$$f = f' = \frac{R}{2}$$

$$\frac{1}{a} + \frac{1}{a'} = \frac{2}{R}$$

- 2) lom na kulovej ploche



$$T_R = \begin{pmatrix} 1 & 0 \\ (1 - \frac{n_1}{n_2})R & \frac{n_1}{n_2} \end{pmatrix}$$

Abbeov invariant

$$n_1 \left(\frac{1}{a} - \frac{1}{R} \right) = n_2 \left(\frac{1}{a'} - \frac{1}{R} \right)$$

$$\frac{1}{f_1} = \left(1 - \frac{n_1}{n_2} \right) \frac{1}{R} \rightarrow \text{poloha ohniska}$$

\hookrightarrow paprsky chvát z bodu osi z v l

\hookrightarrow zobrazenie kulov. plôch $T = T_a T_R T_{-a} \Rightarrow$ Gaussova rovnica a dopad na osu z v veľk

- 3) tenká čočka = dve kulové plochy

Čočka = $T_{R_1} T_{R_2}$, zobrazenie tenk. čoč. $T = T_a T_{R_1} T_{R_2} T_{a'}$ $a' \rightarrow$ uet. odobli

Zväčšenie:

- \rightarrow presne $M_T = \frac{y'}{y} = A$
- \rightarrow pozdž. $M_L = \frac{sa'}{sa} = D$
- \rightarrow uhlové $M_\theta = \frac{\theta'}{\theta} = D$

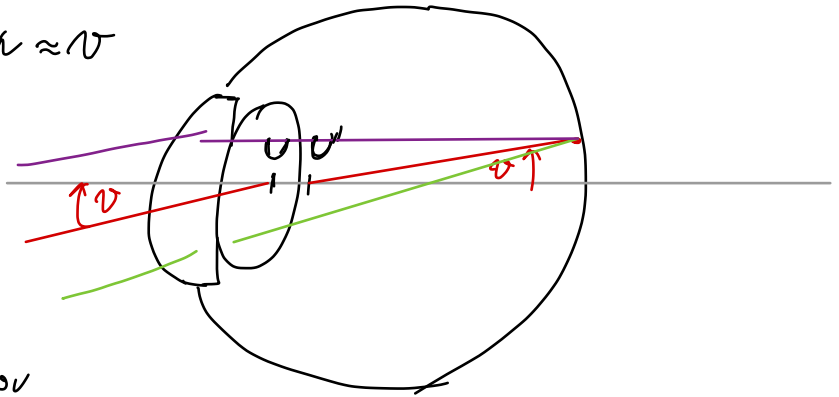
$$\frac{1}{f'} = \left(\frac{1}{R_1} - \frac{1}{R_2} \right) (n_2 - n_1) = -\frac{1}{f}$$

optická mohutnosť $D = \frac{1}{f}$ dioptr

Optické zobrazovací přístroje

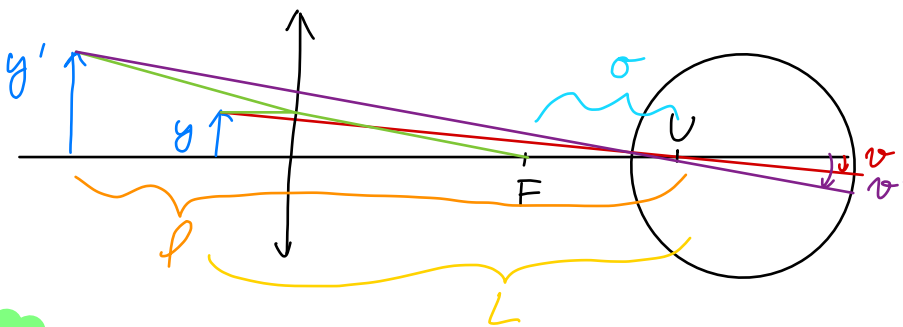
Oko

- lom na rohovce a šošovce
- veľkosť veľmi vzdialeného objektu $\approx \infty$
- vytvárenie reálneho obrazu na rohovke \rightarrow tyčinky, čapky
- počíta zobraz. prístroj $\Gamma = \frac{v'}{v}$
- zväčšenie Γ : $\Gamma = \frac{v'}{v}$
- svaly šošovky - prispôbovanie f



Lupa

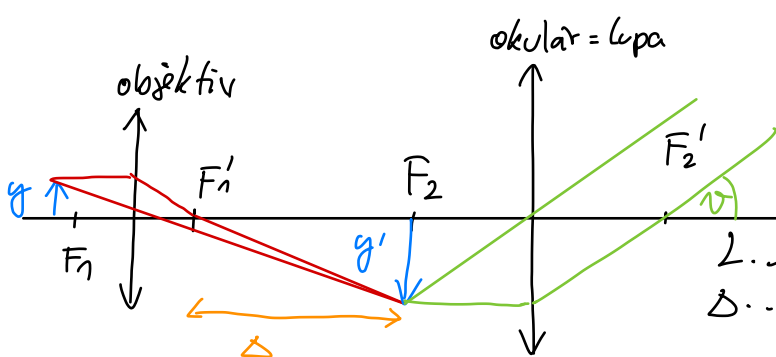
- zväčšenie malých objektov so spojku



$$\Gamma_{\text{mg}} = \frac{v'}{v} = \frac{L}{f} \left(1 + \frac{D}{L}\right)$$

Mikroskop

- zväčšovanie ešte menších objektov pomocou dvoch spojok



- \hookrightarrow malou f
- \hookrightarrow obraz objektívu sa umiestni do ohniska lupy pre čo najväčšie zväčšenie
- \hookrightarrow predmet medzi F_1 a $2F_1$

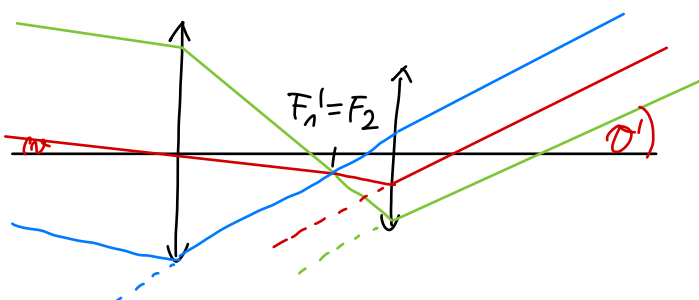
- 2... vzdial. objektu od oka
- Δ ... vzdial. F_1' a y'

$$\Gamma_{\text{mikroskop}} = \left| \frac{\Delta}{f_1'} \frac{L}{f_2} \right|$$

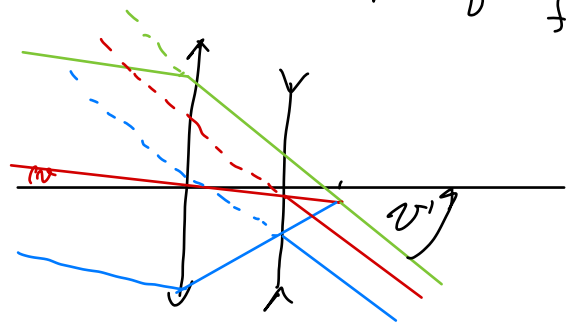
Dalekohľad

- pozorovanie vzdialených objektov

$$\Gamma = \frac{v'}{v} = \frac{f_1'}{f_2}$$



Keplerov: 2 spojky \rightarrow prevrät. obraz



Galileov: 1 spoj. a 1 rozptyl. \rightarrow vz. obraz

Fotoaparát

- malá dierka - snímání scény na plátno \rightarrow zmenšený prevrät. obraz
- každý bod sa zobrazí ako kúh - polomer daný veľ. diery
- na zosobrení - šošovky

Spektrálne prístroje a základné metódy opt. spektroskopie

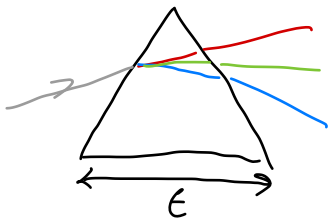
- spektrometrie** - študium vlastností látok pomocou svetla
 - absorpcie, emisie, transmisie, luminescencie
- spektrálne prístroje** - prístroje, kt. meryjú intenzitu svetla v závis. na vlnovej dĺžke $I(\lambda)$
 - spektrometry, interferometry
- spektrometer** - dopadajúce svetlo je zobrazené na rovine, kde poloha v rovine je daná vlnovou dĺžkou
 - optický hranol, optická mriežka

transmisní merení: $I(\lambda) = I_0 e^{-\epsilon(\lambda)d}$ $\rightarrow d$ je hrúbka vzorky $\rightarrow \epsilon$ extinkčný koeficient

spektrálne rozlíšenie $R_s = \left| \frac{\lambda}{\Delta\lambda} \right|$, kde $\Delta\lambda$ je najmenší rozdiel medzi rozli. λ
 $\frac{d\theta}{d\lambda}$... uhlová disperzia \rightarrow dané Rayleighho krit.

Optický hranol

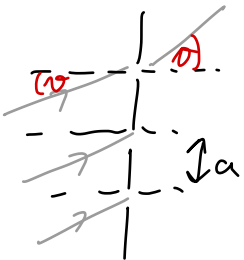
- dvojný lom
- spektrálna: $n = n(\lambda)$, idk lom závisí na λ



$$R_s = \epsilon \left| \frac{dn}{d\lambda} \right|$$

Optická mriežka

- interferencie svetla - závisí na λ \rightarrow $d(\sin\theta - \sin\theta_i) = m\lambda \dots \text{max.}$ ↓ dif. rád



$$\frac{d\theta_m}{d\lambda} = -\frac{m}{d \cos\theta_m}$$

$$R_s = N|m|$$

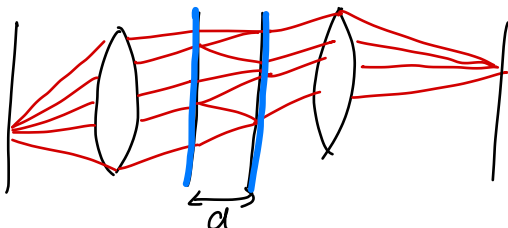
- F_s - volný spekt. interval = int. λ_1 , kt. sa v danom m neprekrývajú s inými λ_2 v iných m' ← počet štrbín

$m\lambda_2 = (m-1)\lambda_1 \Rightarrow F_{sm} = \frac{\lambda_1}{m} \Rightarrow$ vyššie rády \Rightarrow vyššie R_s ale menšie F_s ↑ poz. dif. rády

$\Rightarrow \frac{\langle \lambda \rangle}{mN} \leq \Delta\lambda \leq \frac{\langle \lambda \rangle}{m}$ ↑ šírka spek. pásu

Fabry-Perot IF

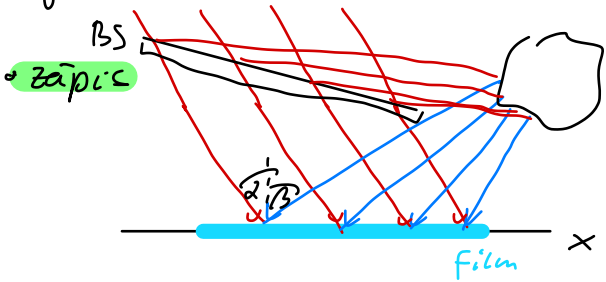
- dve zrkadla vzdialené $d \rightarrow$ mnohozraká IF \rightarrow IF kružky \rightarrow Airyho fce
- dve $\lambda \rightarrow$ dve sady kružiek
- rozlíšime ak vzdial. je väčšou jak FWHM



$$R_s = \frac{\pi}{2} m \sqrt{F} \quad F_s = \frac{\lambda^2}{2d}$$

Základy holografie → transmisní holografie

- hologram → záznam obrazu aj s info o hloubce \Rightarrow info o 3D
- konvenční filmy - iba intenzita - bez info o fázi \Rightarrow modulace ref. vlny
- pomocí ref. vlny sa zaznamená IF aj fáze
 \hookrightarrow při čtení sa ref. vlny zase převrtí pro vytvoření obrazu



✓ koherentní laser

$$E_r = A_r e^{-i\omega t} e^{i k_r \sin \alpha x}$$

$$E_o = A_o(x) e^{-i\omega t} e^{i k_o \sin \beta x}$$

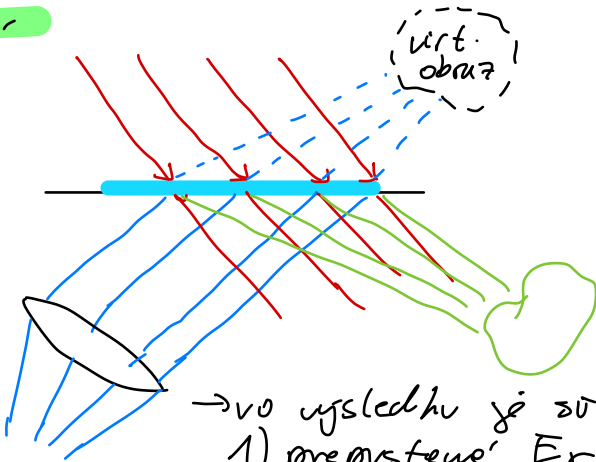
$\theta(x)$

→ v intenzite je záznam o fázi → scernání filmu

$$I_F(x) = (E_r + E_o)^2 = I_r + I_o + f + f^*$$

f záznam o fázi

čtení



$$\epsilon(x) = \epsilon_0 - a I_F(x) \rightarrow \text{amplitudová propustnost}$$

$$E_H = \epsilon(x) E_r = \epsilon_0 E_r - a (I_r + I_o) E_r - f E_r - f^* E_r$$

→ vo výsledku je súčet 4 vln

- 1) prepustenie E_r
- 2) prepustenie, vylúčené $I_r + I_o$
- 3) virt. obraz na mieste kde bol \rightarrow difrakčovaná vlna
- 4) reálny obraz na mieste kde nebol

Princip laseru

- laser = Light Amplification by Stimulated Emission of Radiation
- v látke nastávajú 3 procesy:
 - spontánna emise - náhodne smer, fáza ⇒ nekoh.
 - absorpcie
 - stimulovaná emise - smer a fáza stejné ⇒ koh.

• frekvence svetla pri prechodoch: $f = \frac{E_2 - E_1}{h}$

$i=2$ $i=1$ $i=2$ $i=1$
 spon. em/abs. stim. emise/absorpcie

• počet e^- v i -tom stave: $\frac{dN_i}{dt} = -AN_i - B_{ij}g(\lambda)N_i$ spektrálna hustota

$N_2(t) = N_2(0) e^{-\frac{t}{\tau}}$ ← spon. emise

$B_{12}(N_1 - N_2) \frac{hf}{c\Delta f} z$

• svietime na vzorek tloušky z : $I(z) = I(0) e^{g z}$ spek. šírka zdroja

→ pre Boltzmannove rozdelenie $\frac{N_1}{N_2} = e^{-\frac{hf}{kT}}$ ⇒ $I(z) = I(0) e^{-\alpha_0 z}$

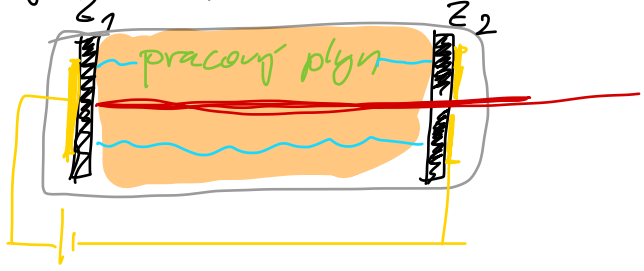
→ dochádza primárne k absorpcii

$\alpha_0 > 0$ $\frac{hf}{c\Delta f}$
 $B_{12}(N_1 - N_2) \frac{hf}{c\Delta f}$

- pre $N_2 = N_1$ → bez zmeny
- pre $N_2 > N_1$ → dochádza k zosilneniu $I(z) = I(0) e^{g z}$

• základný princíp → treba excitovať do vyšších hladín, aby $N_2 > N_1$
 = čerpanie

• zosilnenie je amplifikované zrkadlami → tzv. opt. rezonátor



- najčastejšie je pracovná látka He-Ne
- vybojom sa excitujú hladiny He → tie predávajú energiu Ne a ten stimuluje emisiu uvoľňuje svetlo

Záření černého tělesa

• při přechodu zářevnicu látkou dochází k

- 1) absorpcií $\alpha(\nu) = \frac{I_a(\nu)}{I_0(\nu)}$, kde I_a je int. abs. zář,
 - 2) reflexí $\rho(\nu) = \frac{I_r(\nu)}{I_0(\nu)}$, kde I_r je int. ref. zář,
- a I_0 je int. dop. záření

→ pro nepropustné těleso

$$I_0 = I_r + I_a \Rightarrow \alpha + \rho = 1$$

• těleso konečné teploty může aj vyžarovat

$$\epsilon = \frac{I_e}{I_0} \dots \text{emisivita}$$

• dokonalé černé těleso je také, které všechno světlo absorbuje a jedine vyžaruje tepelné záření

→ pro dvě tělesa v TD rovnováze

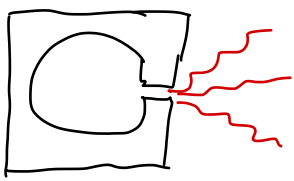
$$\frac{\epsilon}{\alpha} \Big|_1 = \frac{\epsilon}{\alpha} \Big|_2 \Rightarrow \epsilon_{BB} = \frac{\epsilon}{\alpha} \Big|_{\text{černé těleso}}$$

v TD rovnováze

• vyžarování výkon → Stefan-Boltzmann:

$$P = \sigma T^4 \text{ [W.m}^{-2}] \approx 0,57 \text{ W.m}^{-2} \text{ K}^{-4}$$

• černé těleso realizujeme dutinou s malým otvorem



↳ záření je v TD rovnováze so stěnami
↳ emise jen cez malý dírek

• spektrální hustota záření: $B_\nu(\nu, T, \nu) = \frac{c}{4\pi} u_\nu(\nu, T) f(\nu) \left[\frac{\text{W}}{\text{sr.m}^2.\text{Hz}} \right]$

u_ν je objemová hustota kolm

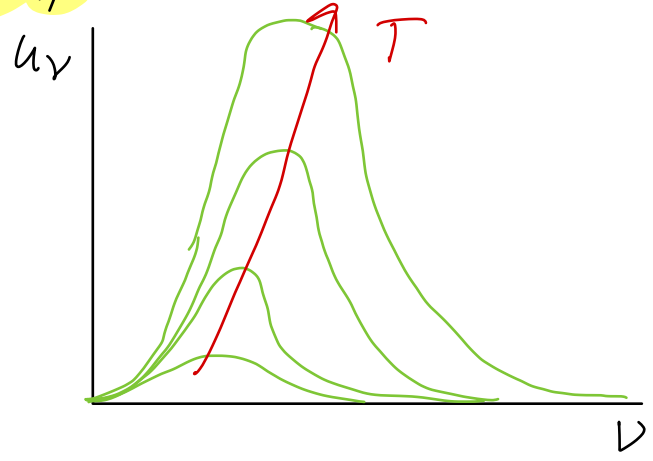
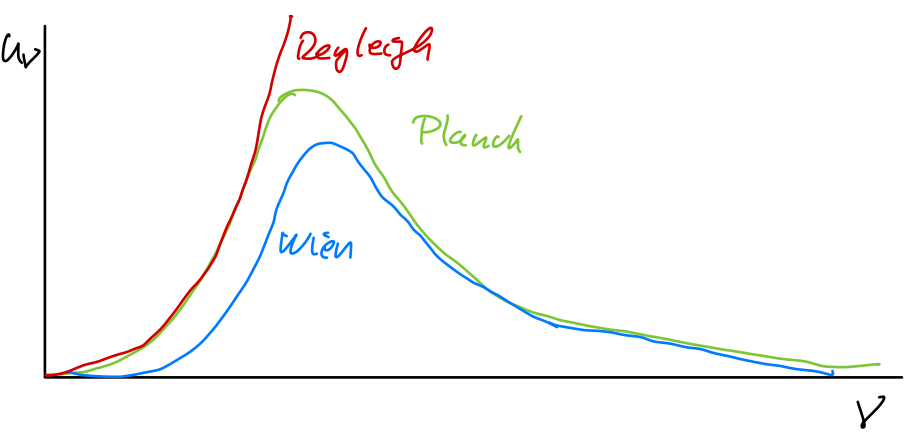
↳ pro BB $f = \cos\theta$

• Wienov. posunovací zákon: $\lambda_m T = \text{konst} \rightarrow \lambda_m = \text{max } \lambda \text{ při teplotě } T$

• Wienov zákon $u_\nu = A \nu^3 e^{-\frac{B\nu}{T}} \rightarrow \text{IR katastrofa}$

• Rayleigh-Seansov z.: $u_\nu = \frac{8\pi\nu^2}{c^3} k_B T \rightarrow \text{UV katastrofa}$

• Planckov vyž. zákon $u_\nu = \frac{8\pi\nu^2}{c^3} \frac{h\nu}{e^{\frac{h\nu}{k_B T}} - 1}$



Strukt. atomů, molekul a kond.

Dualizmus vlna-castice, fotoefekt, Comptonov rozptyl

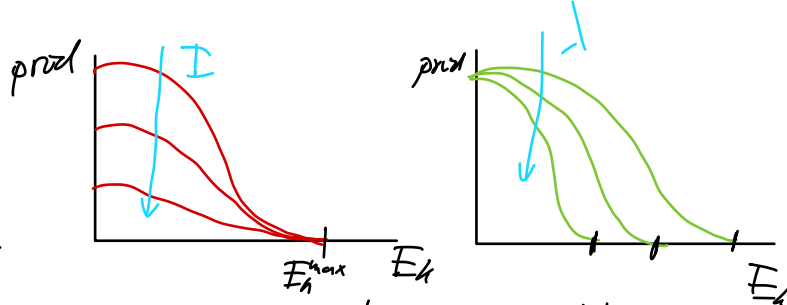
- svetlo bolo vďaka Maxwellovi považované za vlnenie
- bolo pozorované uvoľňovanie e^- z kovov pri osvetlení

Predpoklady na vlny

- 1) väčšia $I \Rightarrow$ viac energie $e^- E_k$
- 2) malá $I \Rightarrow$ brza predávanie e^- na vyčistenie
- 3) prebieha pre $\forall \lambda$

Pozorovanie \Rightarrow castice:

- 1) E_k nezav. od I
- 2) e^- sa uvoľní v okamžite
- 3) ex. prahová λ a E_k závisí od λ



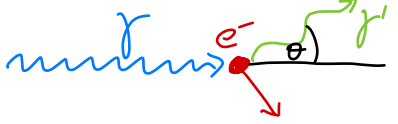
\Rightarrow Fotoefekt - γ ako castica o energii $E = hf = h\nu$ je pohlcená e^- ktorý sa uvoľní z atómu

$$E_k = hf - W$$

Ustupná práca
prícom $hf > W$

Comptonov rozptyl

• neelastický rozptyl γ na e^-



$$E' = \frac{E}{1 + 2 \frac{E}{mc^2} \sin^2 \frac{\theta}{2}} \Rightarrow \Delta \lambda = \frac{2h}{mc} \sin^2 \frac{\theta}{2}$$

nez. od E

- γ preda časť energie $e^- \rightarrow$ posun λ
- kvazi voľný e^- z nízkej energie
- max. predaná energia $e^- \rightarrow$ pri $\theta = \pi \rightsquigarrow$ Comptonova hvana

de-Broglieho vlnová dĺžka

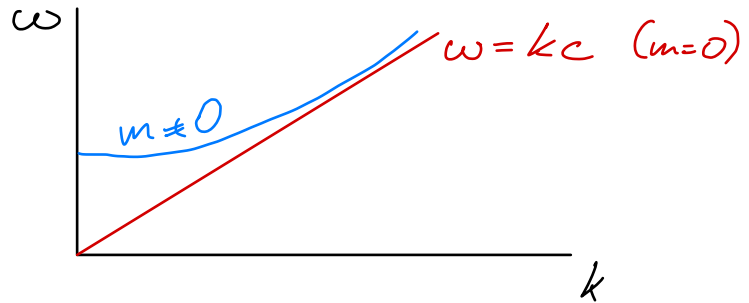
\hookrightarrow castice sa správajú ako vlny s

$$\lambda = \frac{h}{mv} = \frac{h}{p} \rightarrow \text{deB. vlnová dĺžka}$$

dispersionná relace $\omega = \omega(k)$

\hookrightarrow pro hmotní castec

$$E = \sqrt{(mc^2)^2 + (pc)^2} \quad p = \hbar k, E = \hbar \omega \Rightarrow \omega = \sqrt{\left(\frac{mc^2}{\hbar}\right)^2 + (kc)^2}$$



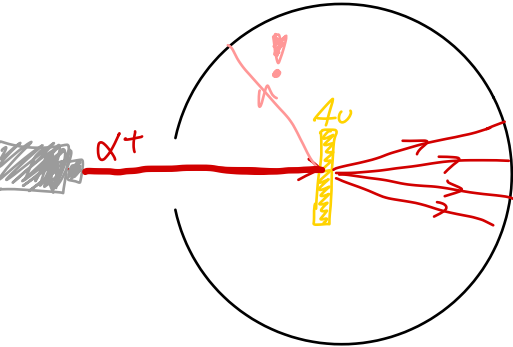
Bohrov model atómi

• zo spektroskopie - známy vzťah pre energiu záření:

$$h\nu_{mn} = R_y \left(\frac{1}{n_1^2} - \frac{1}{n_2^2} \right) \rightarrow \text{empiricky}$$

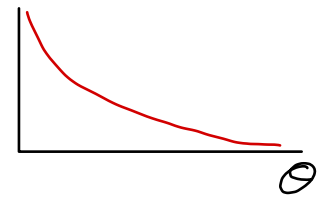
- J. J. Thompson objavil e^- v katódových paprskoch
- Thompsonov model atómu: e^- sú rozinky v rovinnom kladnom náboji
 \rightarrow problém zo stabilitou e^-

Rutherfordov experiment



- ostreľovanie α časticami & jadrami
- očakávanie: malý uhlový rozptyl v smere zraza
- pozorovanie: rozptyly aj o uhlove 180°
- výsledok: kladný náboj je koncent. v centre
 \Rightarrow objav jadra atómu

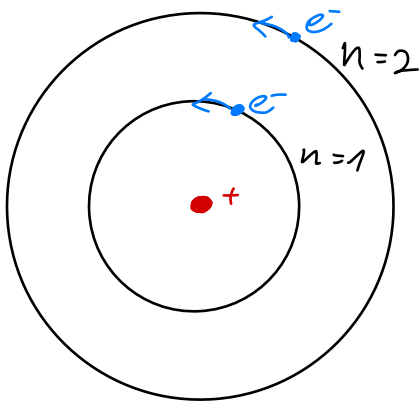
$$\frac{d\sigma}{d\Omega} = \left| \frac{Ze^2}{T_2} \right|^2 \frac{1}{4 \sin^4 \frac{\theta}{2}}$$



\Rightarrow planetárny model - e^- obiehajú okolo klad. jadra
 - neuvysvetľuje spek. čiary
 - problém s synchron. zářením

Bohrov model

- postuláty:
 - 1) e^- krúži po kružnici okolo j.
 - 2) prípustné len stac. orbity, kde e^- nežiarí
 - 3) stac. orbity \rightarrow dané kvant. podm. mom. hyb. $L = \hbar n$
 - 4) e^- sa presúvajú medzi hladinami & emis/abs. γ s $E_m - E_n = h\nu$



• energia atómu vodíku:

$$E_n = T_n + V_n = \frac{L^2}{2me^2n^2} - \frac{e^2}{r_n} = - \frac{R_y}{n^2}$$

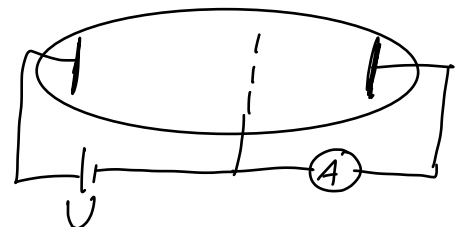
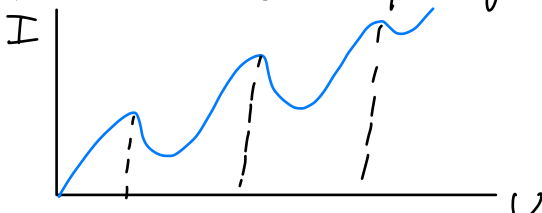
$$E_n = - \frac{13,6 \text{ eV}}{n^2}$$

$$h\nu = R_y \left(\frac{1}{n_1^2} - \frac{1}{n_2^2} \right)$$

\rightarrow korekcie na pohyb jadra $m_e \rightarrow \mu = \frac{m_e m_x}{m_e + m_x}$

• nedostatky \rightarrow problém e^-e^- interakcie
 \rightarrow jemná štruktúra

Frank-Hertz exp \rightarrow potvrdenie

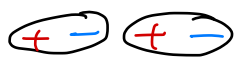


Základní typy vazeb atomů, meziatomový potenciál

$$E_s = E^{\text{vázané}} - \sum_{\alpha} E_{\alpha}^{\text{volné}} \quad \rightarrow \text{pokud. pro vznik vazby: } E_s < 0$$

typy vazeb:

v dW vazba

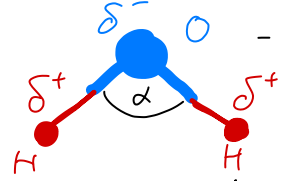


- jednotlivé molekuly si indukují dipólové momenty, kt. se navzájem přitahují
- krátkodosahová síla, nej slabší $\sim 1-10 \text{ meV}$
- gekón, grafit

iontová vazba

- jedného atomu dají e^- do zaplněných orbitalů, jeden má navíc \rightarrow vzniká halogen + alkalický kov (NaCl, HBr)
- \Rightarrow přechodí si e^- a přitahují se elstat.
- $\left\{ \begin{array}{l} e^- \text{ afinita} - \text{ energii uvol. přidáním } e^- \\ \text{ion. energie} - \text{ energii potřebnou na uvol. } e^- \end{array} \right.$

kovaleční vazba

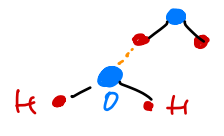


- sdílení valenčních e^- - silná vazba
- **elektronegativita** - snaha přitáhnout e^-
- velký rozdíl elneg \rightarrow vznik dipólových molekul
- H_2O - O si přitahuje $e^- \rightarrow$ H se více odpuzují
- \rightarrow O si více přitahuje H

kovová vazba

- \sim volný pohyb e^-
- malý rozdíl E mezi val. a vol. e^-

vodíková vazba



- vodík je navázán na další atom, kt mu hraje e^-
- \Rightarrow vznik dipólového momentu \rightarrow přitahování jednot. molekul
- drží pohope složité org. struktury - DNA
- $\sim 0,1 \text{ eV}$

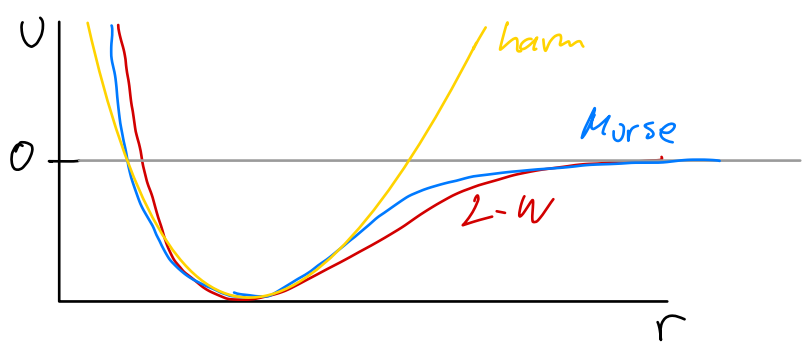
Mezi-atomové potenciály

- v ∞ atomy ako neutrálné \rightarrow zúkladu ont
- ako sa približujú - jadra sú priťahované e^-
- keď sa moc približujú - repulze jadier

$$U(r) = 4\epsilon \left(\left(\frac{\sigma}{r}\right)^{12} - \left(\frac{\sigma}{r}\right)^6 \right) \quad \rightarrow \text{Lennard-Jonesov, nemá anal}$$

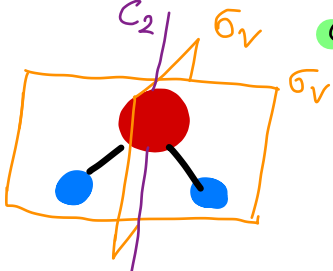
$$U(r) = D(1 - e^{-a(r-r_0)})^2 \quad \rightarrow \text{Morseho, má anal}$$

$$U(r) = \frac{1}{2} k(r-r_0)^2 \quad \rightarrow \text{harmonika, pekná app.}$$



Popis symetrie molekul a krystalů pomocí grup, kvaži krystal

prvek symetrie	symbol	operace symetrie	symbol
rotacní osa	C_n	rotace	C_n .. rotace o $\frac{360^\circ}{n}$
rovina zrcadlení	σ	reflexe	Σ
nevládná rot. osa	S_n	rotace + reflexe	S_n
střed inverze	i	inverze	I
identita	e	identita	E



Cnv grupa

σ_h ... kolmé na C_n
 σ_v ... paralel s C_n + prochází a.b.
 σ_d ... paralel s C_n + mimo atomů

$$S_n = C_n \Sigma_h \dots \text{zboz. operace}$$

Dvojice (G, o) , kde G je množina a $o: G \times G \rightarrow G$ nazveme grupou, ač

- $A \circ (B \circ C) = (A \circ B) \circ C \quad \forall A, B, C \in G$... asociativita
- $\exists e \in G: \forall A \in G: A \circ e = e \circ A = A$
- $\forall A \in G \exists A^{-1} \in G: A \circ A^{-1} = A^{-1} \circ A = e$

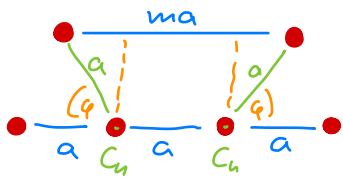
• na popis molekul - **bodové grupy** - zach. aspoň 1 bod:
 ↳ bodová grupa se určuje podľa prvků symetrie → vývojové diagramy

• operace symetrie mají v 3D matic. vyjádření

$$C_n(z) = \begin{pmatrix} \cos \frac{2\pi}{n} & \sin \frac{2\pi}{n} & 0 \\ -\sin \frac{2\pi}{n} & \cos \frac{2\pi}{n} & 0 \\ 0 & 0 & 1 \end{pmatrix} \quad \Sigma(xy) = \begin{pmatrix} 1 & 0 & 0 \\ 0 & 1 & 0 \\ 0 & 0 & -1 \end{pmatrix} \quad I = \begin{pmatrix} -1 & 0 & 0 \\ 0 & -1 & 0 \\ 0 & 0 & 1 \end{pmatrix}$$

• v **krystaloch** - jedna **elementární bunka**, kt. translaciou vytvoří krystal
 - nové operace = **translace** ⇒ **prostorové grupy**
 - omezení na rotační osy:

rotace musí respok. translaci. invarianci



$$a + 2a \cos \varphi = ma$$

$$\Rightarrow m = -1, 0, 1, 2, 3 \Rightarrow n = 1, 2, 3, 4, 6$$

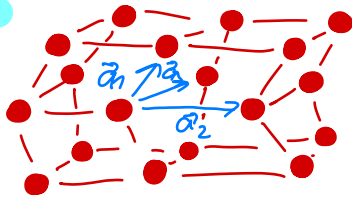
$$\varphi = 0, 120, 120, 90, 30$$

• **kvaži krystal** - uspořádaný, ale neperiodický materiál → nemá translac. symetrii
 - ex. symetrie, napr. rotační, ale nemá elem. bunku
 - Penrosovo dříždění
 - nemají omezení četnosti rotační osy

Krystalová struktura látek, základní typy mříží, prostorové grupy

• **elementární mříž** - základní jednotka, z kt. se translacíou vyrobí krystal + translacíou \Rightarrow prostorové grupy

• **mřížové body**



$$\vec{R} = k \vec{a}_1 + l \vec{a}_2 + m \vec{a}_3 \dots \quad k, l, m \in \mathbb{Z}$$

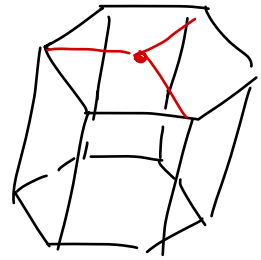
polehky mřížových bodů
 \rightarrow volbou \vec{a}_i si zvolíme elem. bunku

• **Bravaisove mříže** = prostorové grupy

• v 2D sú 4 el. mříže \Rightarrow 5 Brav. mříží \rightarrow primitivní: monoklin., hexagonální
 štvorcová, pravouhlá
 centrovane: pravouhlá

• v 3D je 7 el. mříží \Rightarrow 14 Brav. mříží

- 1) kubická (hocka) + bc, fc
- 2) tetragonální (čtverc. podstava) + bc
- 3) ortorombická (hranol) + bc, fc, bazal c
- 4) monoklinická (hranol + 1 síkly' uhol) + bazal c
- 5) triklínická (≠ síkly' uhol rovné a strany rovné)
- 6) trigonální (≠ síkly' uhol rovnaké, ≠ rovnaké strany)
- 7) hexagonální (keď sú 3 \Rightarrow hexagon)



• väčší Evar krystalu musí odpovedať 1 zo 14 bodových grup. kryšt. mříže = **krytalograf. body**.

• umiestnenie krystalu = **hmotná báza**

- \hookrightarrow nelze hoci kde \Rightarrow 230 prostorových grup
- \hookrightarrow doplnenie op. symetrie \rightarrow štvorbuní os (translace + rotace)
 \rightarrow sklozravná rovina (translace + reflexe)

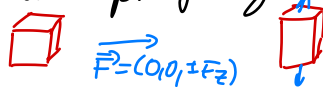
• symetrie krystalu ovplyvňuje fyz. vlastnosti krystalu

• najme tenzor \vec{T} , kt. odpoveda fyz. velicine (cokl lom, veduvost ..):

Neumannov princíp: Fyz. vlastnost má stupeň symetrie aspoň taký ako bodová sym. krystalu.

Voigtov princíp: Tenzor zvädnej vel. sa nesmie zmeniť pod op. sym. grupy.

Curieov princíp: Krystal zmení symetriu pod vplyvom vnějšího pôsobení, len zé zachová prvky sym. spoločné so silou pôsobení.

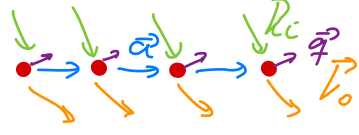


Experimentálny štúdium strukt. pomocí rtg., dif. podm., strukt.-fkt.

- pre dobre rozlíšenie objektu $\lambda \sim 2d$, kde d je str. rozměr obj.
- rozmery kryštalu $\sim 1 \text{ \AA} = 10^{-10} \text{ m} = 0,1 \text{ nm}$
- možnosti \rightarrow 1) rtg zariadenie
 2) urýchlene e^- - interagujú \Rightarrow ničia mat + nedosahujú hlboko
 3) neutróny - inter pomocou dipólu \rightarrow väčšia detekce, na veľ. mat.

• **Laueho difrakčný podm.** - podm. na konstrukt. IF na kryštali. mříži

$$\begin{aligned} \vec{a}_1 \cdot \vec{q} &= 2\pi h \\ \vec{a}_2 \cdot \vec{q} &= 2\pi k \\ \vec{a}_3 \cdot \vec{q} &= 2\pi l \end{aligned}$$

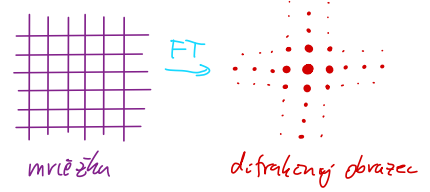


$$\vec{q} = \vec{k}_0 - \vec{k}_i$$

• difrakčný obraz = FT mříže \Rightarrow **reciproká mříž**

\hookrightarrow zachovaná symetrie \hookrightarrow vzdialenosti \leftrightarrow frekvencie

• reciproká mříž $\Rightarrow \vec{b}_i$ sú báze vek. recip. mříže



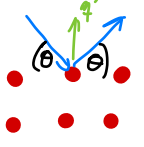
$$\vec{b}_i = 2\pi \epsilon_{ijk} \frac{\vec{a}_j \times \vec{a}_k}{V}, \text{ kde } V = \vec{a}_1 \cdot (\vec{a}_2 \times \vec{a}_3) \dots \text{objem elem. mříže}$$

• dif. vektor je z reciproh. prostoru: $\vec{q} = h\vec{b}_1 + k\vec{b}_2 + l\vec{b}_3 = \vec{B}_{hkl}$

• bod v reciproh. prostore = rovina v priamom prostore

• **Millerove idx** hkl určujú rovnu v priamom prost. danú body $(\vec{a}_1/h, 0, 0)$, $(0, \vec{a}_2/k, 0)$, $(0, 0, \vec{a}_3/l)$

• **Braggova difrakčný podm.** - konstrukt. IF

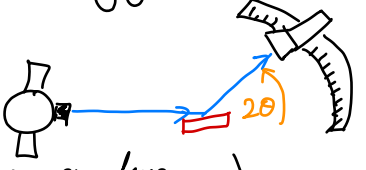


$$\begin{aligned} 1D \dots & 2d \sin \theta = n \lambda \\ 3D \dots & 2d_{hkl} \sin \theta = \lambda \end{aligned}$$

$$n \in \mathbb{Z} \quad d_{hkl} = \frac{2\pi}{|\vec{B}_{hkl}|}$$

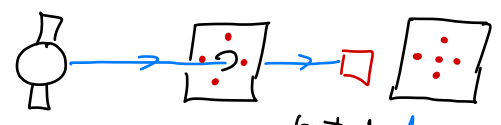
\hookrightarrow uprise sa n , lebo je dané ugsing Miller idx hkl

Braggova metóda



- monochrom λ
- závislosť $I = I(\theta)$
 \hookrightarrow urcene dĺžk z peakov
- na splnenie podm \rightarrow kryšt. dobre orient
 \hookrightarrow vhodne na polykryšt (prášky kryšt.) \rightarrow \forall orient

Laueho metóda



- polychrom λ
- Lauegram - body od daných rovín
- na orientáciu monokryšt. v prost.
- nedajú sa body priradiť k rovinám

• **štruktúrny faktor** - určenie intenzity danej roviny

$$\frac{E_{oif}}{E_{of}} \sim F(hkl) = \sum_n f_n \exp(-i\vec{q} \cdot \vec{R}_n) = \sum_n f_n(hkl) (-i2\pi [hx_n + ky_n + lz_n])$$

úmerný # atómov \leftarrow faktor $f \sim \frac{E_{oif}}{E_{of}}$

$$I \sim |F|^2 = \sum_i \sum_j f_i f_j e^{-i\vec{q} \cdot (\vec{R}_i - \vec{R}_j)} \rightarrow \text{intenzita}$$

\hookrightarrow systematická vyhasinanie = umiestenie atómov zé $|F|^2 = 0$

\rightarrow I klesá s teplotou - pohyb vibrácií na rozmazávanie \Rightarrow blurry effect

Einsteinov a Debyeov model vibrací v látkách

Einsteinov model

- atomy vibrují ako LHO
- bez rotačných módov - iba vibrácie

$$E_n = \hbar \omega_E (n + \frac{1}{2}) \dots \omega_E \text{ je jedna frekvencia pre } \forall \text{ atomy}$$

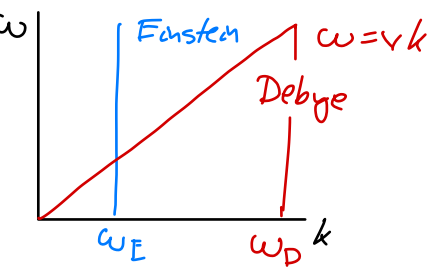
$$\rightarrow Z_c = \sum_n e^{-\beta E_n} = \frac{e^{-\frac{\hbar \omega_E}{2} \beta}}{1 - e^{-\frac{\hbar \omega_E}{k_B T} \beta}} \rightarrow \langle E \rangle = - \frac{\partial}{\partial \beta} \log Z_c = \hbar \omega_E \left(\frac{1}{2} + \frac{1}{e^{\frac{\hbar \omega_E}{k_B T}} - 1} \right)$$

$$\Rightarrow C_V = \left(\frac{\partial \langle E \rangle}{\partial T} \right)_V = 3N_A k_B C_V = 3N_A k_B \left(\frac{\hbar \omega_E}{k_B T} \right)^2 \frac{e^{\frac{\hbar \omega_E}{k_B T}}}{\left(e^{\frac{\hbar \omega_E}{k_B T}} - 1 \right)^2}$$

- pre $T \rightarrow \infty$: $C_V \propto 3N_A k_B \rightarrow$ **Dulong Petit**
- pre $T \rightarrow 0$: $C_V \propto \exp(-1/T) \dots$ nesúhlasí s exp

Debyeov model

- predpoklad viace frekvencií \Rightarrow disperzní vzťah: $\omega(k) = v(k)k$



- om. zhora na ω - plynie z diskretnosti rozloženia atómov - ex. minimálna $\lambda_{min} = 2a$
- predpokladáme kvantovanie energií vibrácií = fonóny \hookrightarrow energia 1 kvantu

$$E_\omega = \hbar \omega, \omega = vk \rightarrow \text{analógiu fotónov}$$

- fonóny sú bozóny s tromi polariz. stavmi
- hustota stavov fonónov s danou freq. ω : $g(\omega) = \frac{3V}{2\pi^2 v^3} \omega^2$
- bozóny \Rightarrow B-E statistika:

$$f(\omega) = \frac{1}{e^{-\frac{\hbar \omega}{k_B T}} - 1}$$

$$\omega_D = \left(\frac{6\pi^2 N}{V} \right)^{\frac{1}{3}} v$$

$$\langle E \rangle = \int_0^{\omega_D} f(\omega) g(\omega) \hbar \omega d\omega = \frac{3V \hbar}{2\pi^2 v^2} \int_0^{\omega_D} \frac{\omega^3}{e^{-\hbar \omega / k_B T} - 1} d\omega$$

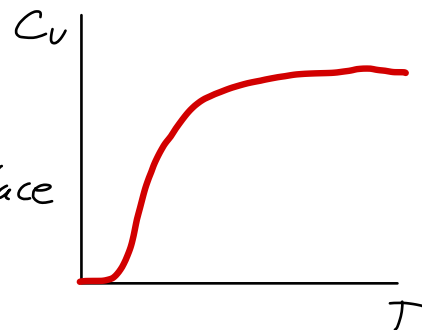
- tepelná kapacita

$$C_V = \frac{\partial \langle E \rangle}{\partial T} = 3N_A k_B \left(\frac{T}{T_D} \right)^3 \int_0^{\frac{T}{T_D}} \frac{x^4 e^x}{(e^x - 1)^2} dx$$

$$T_D = \frac{\hbar \omega_D}{k_B}$$

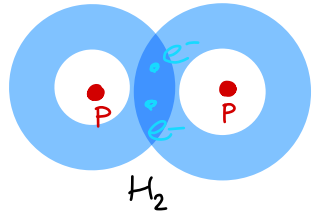
- pre $T \rightarrow \infty$ sedí na Dulong-Petit
- pre $T \rightarrow 0$ $C_V \sim T^3$ sedí na exp. pro cisté body

- nepopisuje správne všetky zliatiny \rightarrow zli disperzní relace \rightarrow anharmonické vib.



Molekulové orbitály, metoda LCAO, hybridizace

- popis vazby molekul
- jednoduchá idea: překryv orbitalů \Rightarrow větší hust. proud. e^- mezi atomy \Rightarrow větší záp. náboj mezi \Rightarrow přitahování atomů
- snaha popsat H_2



• vlnová fun. H_2 ako súčet dvoch vlnových fun. pre volné H, ψ_{1s}^A, ψ_{1s}^B významný člen

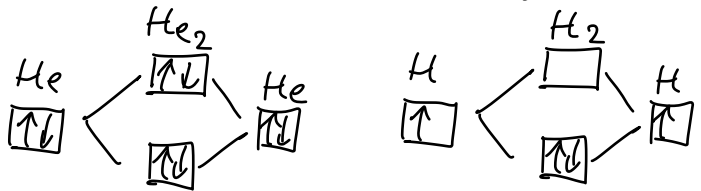
$$\psi_{H_2} = \frac{1}{\sqrt{2}} (\psi_{1s}^A(\vec{r}_1) \psi_{1s}^B(\vec{r}_2) \pm \psi_{1s}^A(\vec{r}_2) \psi_{1s}^B(\vec{r}_1))$$

\rightarrow zo sym. / asym. postulatů \Rightarrow sym / asym kombinace

\Rightarrow dve riešenia $\{\pm\}$ \rightarrow iba sym. stabilné, vazebné

• nepopisujú všetko, napr. rozdiel O_2, N_2
 \Rightarrow **molekulové orbitály** - nové orbitály, kt. vzniknú prekryvom AO
 - treba vziať do úvahy aj nevaz. orbitály

$\left\{ \begin{array}{l} \text{vazebné} - \text{nižšia energia} \rightarrow \text{stabilnejšie} \\ \text{nevazebné} - \text{vyššia energia} \end{array} \right.$



• zaplnujú sa obe MO
 \hookrightarrow obsaž. pravidla ako AO



• 2 typy $\left\{ \begin{array}{l} \pi \text{ vazba} - \text{prekryv podél spojnice} \\ \sigma \text{ vazba} - \text{prekryv na spojnici} \end{array} \right.$



• MO: 1) vznikajú LK AO
 2) delok. e^- cez viac atomov
 3) iná energia a rozlož. náboja

podm. na vznik: 1) cca rovnaké E AO
 2) AO dostatoč. sym
 3) dostatoč. prekryv

Metóda LCAO pre H_2^+

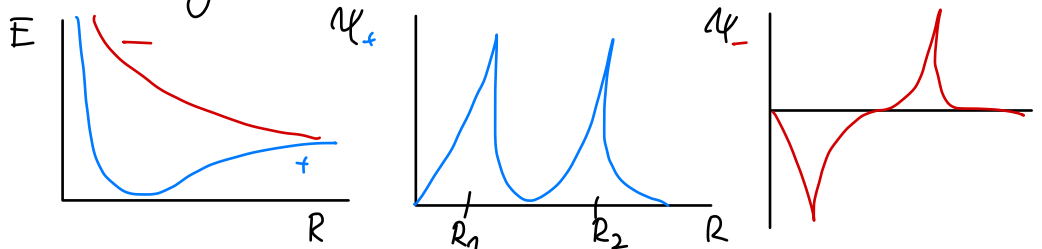
• LCAO - Linear Combinations of Atomic orbitals $\Rightarrow \psi = \sum c_i \psi_i$ AO
 \hookrightarrow metóda na určenie (app.) vazeb. MO

• pre H sú e^- v základnom stave: $\psi_{1s}(r) = \frac{1}{\sqrt{\pi}} e^{-r}$ $c_A = c_B = 1$

$\rightarrow \psi_1(\vec{r}_1) = \frac{1}{\sqrt{\pi}} e^{-|\vec{r}_1 - \vec{r}_1|}$ $\psi_2(\vec{r}_2) = \frac{1}{\sqrt{\pi}} e^{-|\vec{r}_2 - \vec{r}_2|}$
 $\psi = \alpha \psi_1 + \beta \psi_2 \rightarrow$ zo symetrie $\Rightarrow \psi = N(\psi_1 \pm \psi_2)$

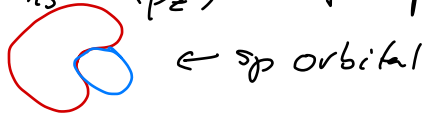
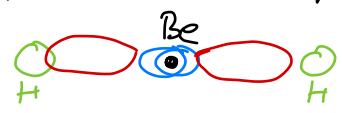
$N = \frac{1}{\sqrt{2(1 \pm S)}}$, kde $S = \int \psi_1 \psi_2 dV \rightarrow$ prekryvový integr.

$E(R) = \langle \psi | H | \psi \rangle$



• **hybridizace orbitalů** - niektoré atómy pri tvorbe molekuly spravia LK svojich vlastných AO

• pr. $s+p = sp, s+2p = sp^2, \dots \rightarrow \psi_{sp} = \frac{1}{\sqrt{2}} (\psi_{1s} \pm \psi_{p_z}) \rightarrow$ 2 fun. pre $2e^-$
 \rightarrow pr. na Be H_2 :



Model volných a takmer volných e⁻, pasová štruktúra, Blochov tlh

Model volných e⁻

- Drudeho model
- e⁻ sa pohybujú voľne až kým narazia: $m\ddot{x} + \frac{m}{\tau}\dot{x} = -eE$
- ↳ stac. prípad: $\vec{v} = -\frac{e\tau}{m}E$, τ je stredná doba medzi zrážkami
- ⇒ $\vec{j} = -en\vec{v} = \frac{e^2\tau n}{m}E \rightarrow$ Ohmov zákon $\gamma = \frac{m}{e^2\tau n}$... vodivosť

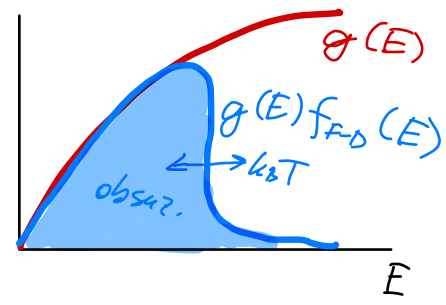
- Maxwell-Boltzmann dis. ⇒ $\langle E \rangle = \frac{3}{2}k_B T \Rightarrow C_V = \frac{3}{2}Nk_B \rightarrow$ nieje správne
- ↳ treba Fermi-Diraca: $f(E) = \frac{1}{e^{\frac{E-E_F}{k_B T}} + 1}$

- E_F ... Fermiho energia → posledná zaplnená pre T=0
- e⁻ sa pohybujú voľne ⇒ $\psi_{\vec{k}}(\vec{r}) = \frac{1}{\sqrt{V}} e^{i\vec{k}\cdot\vec{r}} \Rightarrow E_F = \frac{\hbar^2 k_F^2}{2m_e}$
- Fermiho kóde - kóde v k-prostoru, kde na každej povrcho majú e⁻ energiu E_F

→ počet št. v kouli $N = \frac{V}{3\pi^2} k_F^3 \Rightarrow k_F = \left(\frac{3\pi^2 N}{V}\right)^{1/3} \Rightarrow E_F = \frac{\hbar^2}{2m_e} \left(\frac{3\pi^2 N}{V}\right)^{2/3}$

• hustota stavov $g(E) = \frac{dN}{dE} = \frac{V}{2\pi^2} \left(\frac{2m}{\hbar^2}\right)^{3/2} E^{1/2}$

• iba e⁻ s energ. v okolí E_F môžu prijíť energiu aby sa stali volnými.



$\langle E \rangle = \int_0^\infty g(E) f(E) E dE = \int_0^{E_F} g(E) f(E) E dE$

↑ volné

musíme odčítať väzane

⇒ $C_V = \gamma T \rightarrow$ lin. závislosť sedi ale γ sa nezmenuje

Model téměř volných e⁻

• pohyb v periodickom potenciály ⇒ $[\hat{H}, e^{i\vec{a}\cdot\vec{p}}] = 0$, kde a je perioda V

Blochov tlh: Pokiaľ $[\hat{H}, \hat{c}_a] = 0$, tj. \hat{V} je a periodický, tak lze vlnové fce hľadať v tvare $\psi_{\vec{k}}(\vec{x}) = e^{i\vec{k}\cdot\vec{r}} u_{\vec{k}}(\vec{x})$, kde $u_{\vec{k}}(\vec{x})$ je a-periodická, $k \in [-\frac{\pi}{a}, \frac{\pi}{a}] \rightarrow$ 1. Brillouinova zóna

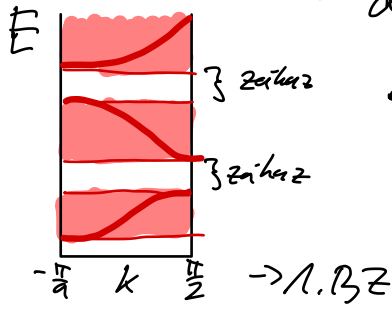
• vyjadrením $\psi = \sum_k C(k) e^{ikx}$ a $U = \sum_G U_G e^{iGx}$ dostaneme z rov. v štrednej varičke: $(\lambda_k - E)C(k) + \sum_G U_G C(k-G) = 0 \rightarrow$ zo Schr

Kronig-Penningov model

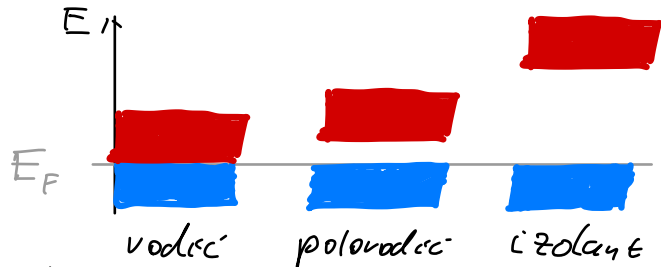


- skokový potenciál
- z podm. spojitosti vlnové funkcie na okrajoch periódy z Blochov tlh ⇒ zabúvané pašy

- **zakázaný pás** - energy, pre kt. nemá Schr. riešenie
- dôsledok periodicnosti potenciálu



- **pásová štruktúra** - povolené a zakázané pásy
- valenčné pásy a vodivosť



- e^- sa vo vodičoch pohybuje ako voľne s efektívnou hmotnosťou m^* , danou krivosťou Fermiho pláče: $\frac{1}{m^*} = \frac{1}{\hbar^2} \frac{\partial^2 E}{\partial k^2}$

Formalizmus QM

Popis stavů kvant. syst.

→ nezávisí na normě ⇒ vektorům

→ Hilbertův prostor

1) Stav syst. je popsán prvkem \mathcal{H} = stavový prostor

2) Poz. odpovídají samozdrz. lin op. na \mathcal{H}

3) Výsledky měření sů dané spektrálním rozkladem \hat{A}

a) možné měř. hodnoty $a \in \sigma(\hat{A})$

b) po naměření a projde stav syst. do stavu $|\hat{P}_a|\psi\rangle$

c) pravd. naměření a je dána $\|\hat{P}_a|\psi\rangle\|^2$

← projektor do podprostr. s vl. a

Princip superpozice: → uzavřenost \mathcal{H} pod $+$ a \cdot .

Pokud $|\psi_1\rangle, |\psi_2\rangle \in \mathcal{H}$ a $\alpha, \beta \in \mathbb{C}$, tak potom aj $|\psi\rangle = \alpha|\psi_1\rangle + \beta|\psi_2\rangle \in \mathcal{H}$

Diracova notace: • $|\psi\rangle \in \mathcal{H}$ vektor

• $\langle \psi | : \mathcal{H} \rightarrow \mathbb{C}$ funkcional jednoznaci. přiřazuje vektoru $|\psi\rangle$, tak, že $\langle \psi | (|\psi\rangle) = \|\psi\|^2$

• skalární součin $\langle \psi | \phi \rangle$

• vnejší součin $|\phi\rangle\langle \psi|$

ON báze $\{|\phi_i\rangle\}$

• $\langle \phi_i | \phi_j \rangle = \delta_{ij}$

• relace úplnosti $\hat{1} = \sum_i |\phi_i\rangle\langle \phi_i|$

• repr. stav v bázi: $|\psi\rangle = \sum_i \langle \phi_i | \psi \rangle |\phi_i\rangle = \sum_i c_i |\phi_i\rangle$

→ v případě konečné báze $|\psi\rangle$ se dá re v. vektorem $\begin{pmatrix} c_1 \\ \vdots \\ c_n \end{pmatrix}$

• přechod mezi bázemi:

$$|\psi\rangle = \sum_i c_i |\phi_i\rangle = \sum_j |\phi_j'\rangle \sum_i \langle \phi_j' | \phi_i \rangle c_i$$

$$\Rightarrow c_i' = \sum_j U_{ij} c_j, \text{ kde } U_{ij} = \langle \phi_j' | \phi_i \rangle \text{ je unit. matice přechodu}$$

Spojité báze

↳ nahrazení sům integrálem: $|\psi\rangle = \int \langle a | \psi \rangle |a\rangle da$

Pozorovatelné

$A: \mathcal{H} \rightarrow \mathcal{H}$, $A = A^\dagger$... samozdrz. op., vl. čísla sů možné měřit. veličiny
↳ přeto musí by f. s. s. aby $\lambda \in \mathbb{R}$

op. polohy $\hat{x}|x\rangle = x|x\rangle$

↳ vlnová fce je repr. stav v bázi $\int |x\rangle\langle x| dx = 1$: $|\psi\rangle = \int \langle x | \psi \rangle |x\rangle dx$

↳ $\psi(x) = \langle x | \psi \rangle$, $|\psi(x)|^2$ vyjádří hust. pravd.

• komutátor $[A, B] = AB - BA$ → obecně nenulový

→ zo statistiky: $\Delta A^2 = \langle (A - \langle A \rangle)^2 \rangle = \langle A^2 \rangle - \langle A \rangle^2$,

kde

$$\langle A \rangle = \langle \psi | A | \psi \rangle = \int \psi^*(x) A(x, x') \psi(x') dx' dx$$

→ relace neurčitosti: $\Delta A \Delta B \geq \frac{1}{2} |\langle [A, B] \rangle|$

$$\Delta x \Delta p \geq \frac{\hbar}{2}$$

$[A, B] = i\hat{C}$, kde $\hat{C} = \hat{C}^\dagger$

pro A, B samozdrz.

Reprezentace fyz. veličin

QM postulát:

- ② Poz. veličiny sv repr. lin. samozdruz. op. $A = A^\dagger$
- ③ Výsledky měření sú dány spek. rozkladem $\sigma(A)$.
 - a) Naměřitelné hodnoty sú dány body spektra $a \in \sigma(A)$
 - b) Stav hned po naměření a je daný $\hat{P}_a|\psi\rangle$
 - c) Pravd. naměření a je dáno $\|\hat{P}_a|\psi\rangle\|^2$
- ④ Časový vývoj stavu je daný Schr $i\hbar \partial_t |\psi(t)\rangle = \hat{H}|\psi(t)\rangle$

• samozdruz. op. $\forall \phi, \psi \in \mathcal{X} : \langle \phi | A \psi \rangle = \langle A \phi | \psi \rangle \quad (A = A^\dagger)$
 - navíc $\mathcal{D}(A) = \mathcal{D}(A^\dagger)$

• spektrum: $\lambda \in \sigma(\hat{A})$ nazýváme bodem spektra $A: \mathcal{X} \rightarrow \mathcal{X}$ pokud $\hat{A} - \lambda \hat{1}$ není prostě zob. na \mathcal{X} .

- (1) $\hat{A} - \lambda \hat{1}$ není prostě $\leadsto \lambda \in \sigma_p(\hat{A}) \dots$ **bodové**
 - (2) $\hat{A} - \lambda \hat{1}$ je prostě, ale $\mathcal{R}(\hat{A} - \lambda \hat{1}) \neq \mathcal{X}$
 - (c) $\mathcal{R}(\hat{A} - \lambda \hat{1}) = \mathcal{X}$, tj. hustá podmnož. \mathcal{X} , $\lambda \in \sigma_c(\hat{A}) \dots$ **spojité**
 - (cc) $\mathcal{R}(\hat{A} - \lambda \hat{1}) \neq \mathcal{X}$, $\lambda \in \sigma_r(\hat{A}) \dots$ **rezidové**
- ex. $|\psi\rangle \in \mathcal{X} : (\hat{A} - \lambda \hat{1})|\psi\rangle = 0$*

• pro spojité spektrum \rightarrow zob. vl. vekt. $\|\hat{A} - \lambda \hat{1}|\psi_n\rangle\| \rightarrow 0 \quad |\psi_n\rangle \in \mathcal{X}$
 \rightarrow pr. $|x\rangle$ je vl. vektor \hat{x} , $\langle x | x' \rangle = \delta(x - x')$

• spektrální rozklad: $\hat{A} = \sum_{\lambda \in \sigma_p} \lambda \hat{P}_\lambda + \int_{\lambda \in \sigma_c} \lambda \hat{P}_\lambda d\lambda$

\hookrightarrow kde $\hat{P}_\lambda = \sum_a |\lambda, a\rangle \langle \lambda, a|$ projektor na podprostor s vl. λ
← Hamiltonián

• nečasová Schr \rightarrow vl. čísla a vekt. $\hat{H} : \hat{H}|E\rangle = E|E\rangle$

\hookrightarrow v x -repr, kde $\hat{H} = \frac{\hat{p}^2}{2m} + V(x)$:
 $-\frac{\hbar^2}{2m} \nabla^2 \psi(x) + V(x) \psi(x) = E \psi(x)$

$|E_n\rangle$ stac. stav $\Rightarrow |E_n(t)\rangle = e^{-\frac{i}{\hbar} E_n t} |E_n\rangle \rightarrow$ mění se len fáze

• ako skonstruovat op? \rightarrow z klas. mech. sú poz. dány fce na fáz. prost.,
 tj $f = f(p, x)$
 \rightarrow pokud uvažujeme součin p, q tak stací $\hat{A} = f(\hat{p}, \hat{x})$
 \rightarrow v případě jednoduch. součin $xp \rightarrow \frac{1}{2}(\hat{p}\hat{x} + \hat{x}\hat{p})$
 \rightarrow obecně není jednoznačné - 1 fce = více op.

$L^2 = x^2 p^2 - (\vec{x} \cdot \vec{p})^2 \quad \text{vs} \quad \hat{L}^2 = \hat{x}^2 \hat{p}^2 - (\hat{x} \cdot \hat{p})^2$ *tj $\hat{x} \cdot \hat{p}$*

Souřadnicová, impulzová a maticová repr. QM

x-repr

→ vyjádření v bázi vl. vek. $\hat{x}|x\rangle = x|x\rangle$, $\langle x|x'\rangle = \delta(x-x')$

- pro $|\psi\rangle \in \mathcal{H}$, $\langle x|\psi\rangle = \psi(x)$ **skalární funkce**
 - operátory v x-repr: $\hat{x} \dots x$, $\hat{p}_x \dots -i\hbar \frac{\partial}{\partial x}$, $\hat{p} \dots -i\hbar \nabla$
- $$\hat{H} = -\frac{\hbar^2}{2m} \nabla^2 + V(x)$$

• Schr v x-repr: $\hat{H}\psi(x) = E\psi(x) \rightarrow -\frac{\hbar^2}{2m} \nabla^2 \psi(x) + V(x)\psi(x) = E\psi(x)$

p-repr

→ vyjádření v bázi vl. vek $\hat{p}|p\rangle = p|p\rangle$, $\delta(p-p') = \langle p|p'\rangle$

- pro $|\psi\rangle \in \mathcal{H}$, $\langle p|\psi\rangle = \psi(p)$
 - operátory v p-repr: $\hat{p} \dots p$, $\hat{x} \dots i\hbar \frac{\partial}{\partial p}$, $\hat{x} \dots i\hbar \nabla$
- $$\hat{H} \dots \frac{p^2}{2m} + V(i\hbar \frac{\partial}{\partial p})$$

• Schr v p-repr: $\frac{p^2}{2m} \psi(p) + V(i\hbar \frac{\partial}{\partial p}) \psi(p) = E\psi(p)$

Vztah x-repr a p-repr

$[\hat{x}, \hat{p}] = i\hbar$ → kanonické komutační relace

→ vl. vekt. \hat{p} v x-repr: $\langle x|p\rangle = \frac{1}{\sqrt{2\pi\hbar}} e^{\frac{i}{\hbar} p x}$, $\langle \hat{x}|\hat{p}\rangle = \frac{1}{\sqrt{2\pi\hbar}} e^{\frac{i}{\hbar} \hat{p} \cdot \hat{x}}$

→ $\psi(p) = \langle p|\psi\rangle = \int \frac{1}{\sqrt{2\pi\hbar}} e^{\frac{i}{\hbar} p x} \psi(x) dx = \mathcal{F}(\psi(x))(p) \rightarrow FT$

Maticová formulace

• v případě kon. dim. prostoru $\mathcal{H} = \mathbb{C}^N$ můžeme jednotlivé op. repr. ako matice v nějaké bázi

• energetická báze: $\hat{H}|n\rangle = E_n|n\rangle$, $|n\rangle = \begin{pmatrix} 0 \\ \vdots \\ 1 \\ \vdots \\ 0 \end{pmatrix}$ ←

• obecně ale apriory máme \hat{H} v jiné bázi, např. kvant. tečky:

$$\hat{H} = \hbar\omega(1|x_2| + |2|x_3| + |3|x_1| + h.c.) \xrightarrow[\text{repr.}]{\text{mat.}} \hat{H} = \hbar\omega \begin{pmatrix} 0 & 1 & 1 \\ 1 & 0 & 1 \\ 1 & 1 & 0 \end{pmatrix}$$

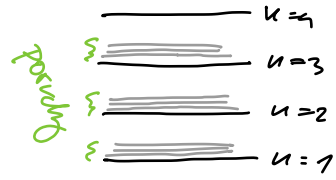
→ řešení nečasové Schr sa redukuje na úlohu vl. čísel a vektorů

Variacní metoda a stac. poruchová metoda hledání různých SB.

Poruchová metoda

• zložitá SdR - nevíme vyřešit anal.

• $\hat{H} = \hat{H}_0 + \lambda \hat{H}_1 \rightarrow \hat{H}_0$ víme vyřešit $\hat{H}_0 |n\rangle = E_n |n\rangle$
 $\lambda \hat{H}_1$ je porucha, "malá" v porovnání s \hat{H}



• plně řešení:

$(\hat{H}_0 + \lambda \hat{H}_1) |\psi_n\rangle = E_n |\psi_n\rangle$ (přičom $\lim_{\lambda \rightarrow 0} |\psi_n(\lambda)\rangle = |n\rangle$)

↳ rozvoj v λ :

$|\psi_n(\lambda)\rangle = |\psi_n^{(0)}\rangle + \lambda |\psi_n^{(1)}\rangle + \dots$
 $E_n(\lambda) = E_n^{(0)} + \lambda E_n^{(1)} + \dots$

→ volba normalizace:
 $\langle n | \psi_n \rangle = 1$
 pro $\lambda > 0 \langle n | \psi_n^{(1)} \rangle = 0$

• dosazením rozvojem a porovnáním řadov:

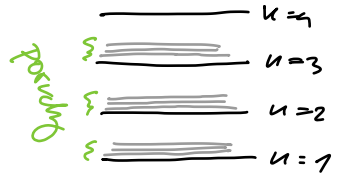
$\lambda^0: [H_0 - E_n] |\psi_n^{(0)}\rangle = 0$
 $\lambda^1: [H_0 - E_n] |\psi_n^{(1)}\rangle = (E_n^{(1)} - H_1) |\psi_n^{(0)}\rangle$

$\lambda^s: [H_0 - E_n] |\psi_n^{(s)}\rangle = (E_n^{(s)} - H_1) |\psi_n^{(s-1)}\rangle + \sum_{k=2}^s E_n^{(k)} |\psi_n^{(s-k)}\rangle$

$E_n^{(1)} = \langle n | \hat{H}_1 | n \rangle$

nedegen. spektrum:

$|\psi_n^{(1)}\rangle = \sum_{m \neq n} \frac{\langle m | H_1 | n \rangle}{E_n - E_m} |m\rangle$
 $E_n^{(2)} = \sum_{m \neq n} \frac{|\langle m | H_1 | n \rangle|^2}{E_n - E_m}$



→ podm. malosti korekce: $|\langle m | H_1 | n \rangle| \ll |E_n - E_m|$

deg. spektrum

$\rightarrow H_0 |n, r\rangle = E_n |n, r\rangle \quad \forall r \quad \langle n, r | n, r' \rangle = \delta_{nr} \delta_{rr'}$

→ třeba najít vhodnou bázi:

$|\psi_{n,t}^{(0)}\rangle = \sum_r C_{nr}^{(t)} |n, r\rangle \rightarrow$ vhodná báze

$\sum_r \langle n, r | H_1 | n, r' \rangle C_{nr'}^{(t)} = E_{n,t}^{(1)} C_{nr}^{(t)}$

→ E čísluje novú bázi
 → úloha na vl. čísla a vl. vekt
 $E_{n,t}^{(1)}$ $C_{nr}^{(t)}$

$E_{n,t}^{(2)} = \sum_{m \neq n} \sum_{t'} \frac{|\langle m, t' | H_1 | n, t \rangle|^2}{E_n - E_m}$

↳ neobsahuje to

Variacní metoda

$E[\psi] = \frac{\langle \psi | H | \psi \rangle}{\langle \psi | \psi \rangle}$

... střední hodnota E , funkcionál na \mathcal{H}

$\delta E[\psi_n] = 0 \Leftrightarrow H |\psi_n\rangle = E_n |\psi_n\rangle$, tj. $E[\psi]$ nabývá stac. pro stac.

$E_0 \leq E[\psi]$, kde E_0 je energii základního stavu

⇒ nech $|\psi(\vec{\alpha})\rangle$ je třída fun. daná parametry $\vec{\alpha} = (\alpha_1, \dots, \alpha_n)$

→ potom nejlepší app. energie je daná keď $\frac{\partial}{\partial \alpha} E[\psi(\vec{\alpha}')] = 0$

pre $|\psi(\vec{\alpha}')\rangle$ s energiou $E[\psi(\vec{\alpha}')] = E_0$

• pre $|\psi(\vec{\alpha}')\rangle = \sum_i \alpha_i |\phi_i\rangle$ kde $\{|\phi_i\rangle\}$ je ON báze nejlepší app.
 nejmenší vl. číslo $E^{(0)} < E^{(1)}$ - problém $\sum_j \langle \phi_i | H | \phi_j \rangle \alpha_j = E^{(0)} \alpha_i$

Kvantová dynamika

Nestacionárni Schrödingerova rovnice, rovnice kontinuity, Ehrenfest Schrödingerov obraz

- postulát QM - časový vývoj stavu je daný SchR: $i\hbar \frac{\partial}{\partial t} |\Psi(t)\rangle = \hat{H} |\Psi(t)\rangle$
 - řešení vieme zapísať ako $|\Psi(t)\rangle = U(t) |\Psi\rangle$, kde U je unit.
 - U potom rieši rovnicu: $i\hbar \frac{d}{dt} U(t) = \hat{H} U(t)$
 - op. sú stac $\frac{d}{dt} \hat{A} = 0$
- ↳ jej riešenie závisí od charakteru \hat{H} :

- 1) \hat{H} je časovo nezáv. $\Rightarrow \hat{U}(t, t_0) = e^{-\frac{i}{\hbar} \hat{H}(t-t_0)}$
- 2) \hat{H} závisí na case, ale komut. $\Rightarrow \hat{U}(t, t_0) = e^{-\frac{i}{\hbar} \int_{t_0}^t \hat{H}(t') dt'}$
- 3) \hat{H} závisí na case, ale nekomut. \Rightarrow

$$\hat{U}(t, t_0) = \hat{1} + \sum_{n=1}^{\infty} \left(\frac{1}{i\hbar}\right)^n \int_{t_0}^t dt_1 \dots \int_{t_0}^{t_{n-1}} dt_n \hat{H}(t_1) \hat{H}(t_2) \dots \hat{H}(t_n)$$

$\rightarrow \hat{H}$ je generátor časového vývoja, jednoparam. Lieova grupa

- $\hat{H} |n\rangle = E_n |n\rangle$ sú stac. stavy: $|n(t)\rangle = e^{-\frac{i}{\hbar} E_n t} |n\rangle \rightarrow$ len fyz.
- \rightarrow pre obecný stav potom $|\Psi\rangle = \sum_n c_n |n\rangle \Rightarrow |\Psi(t)\rangle = \sum_n e^{-\frac{i}{\hbar} E_n t} c_n |n\rangle$

• rovnica kontinuity \rightarrow dôsledok časovej SchR vyjadrenej v x-repr

$$\frac{\partial \rho}{\partial t} + \nabla \cdot \vec{j} = 0, \text{ kde } \rho(x, t) = |\Psi(x, t)|^2 - \text{hust. proud.}$$

$$\vec{j} = \frac{\hbar}{m} \text{Im} \{ \Psi^* \nabla \Psi \} - \text{tok. proud.}$$

Heisenbergov obraz

- stavy sú stac., využívajú sa operátory: $\frac{d}{dt} |\Psi^H\rangle = 0$ $A(t) = U^\dagger(t, t_0) A(t_0) U(t, t_0)$

- operátory splňujú $i\hbar \frac{d}{dt} \hat{A}(t) = [\hat{H}, \hat{A}(t)]$ \hookrightarrow U splňa analog. rovnice ako v SchO
- \hookrightarrow analógiu klas. mechaniky $\frac{d}{dt} F = \{F, H\}$

• stredné hodnoty sa nemenia $\langle A \rangle = \langle \Psi(t) | A | \Psi(t) \rangle = \langle \Psi | A(t) | \Psi \rangle$

- dosadením $\left\{ \begin{array}{l} \hat{x} \text{ za } \hat{A} \\ \hat{p} \text{ za } \hat{A} \end{array} \right\} \hat{H} = \frac{\hat{p}^2}{2m} + V(\hat{x}(t))$ dostaneme $\frac{d}{dt} \hat{x}(t) = \frac{\hat{p}(t)}{m}$ \rightarrow Ehrenfest
- $\frac{d}{dt} \hat{p}(t) = -\hat{V}'(\hat{x}(t))$

• vysledovaním dostaneme klasický variant:

$$\frac{d}{dt} \langle \hat{x}(t) \rangle_\Psi = \frac{1}{m} \langle \hat{p}(t) \rangle_\Psi \quad \frac{d}{dt} \langle \hat{p}(t) \rangle_\Psi = \left\langle -\frac{\partial V(x)}{\partial x} \right\rangle_\Psi$$

Evoluce obecného kvant. systému, kvantové měření

- v QM \rightarrow 2 druhy časového vývoje \rightarrow **unitární** (samovolný)
 projekční (měření)
- unitární vývoj je daný unit. op. vývoje $\hat{U}(t)$
- projekční vývoj je daný projekční op. \hat{P}_λ na podprostor měřené hodnoty
- zo známosti stavu $|\psi(t)\rangle$ a op. $\hat{U}(t, t_0)$ zjistit $|\psi(t_0)\rangle = \hat{U}^\dagger |\psi(t)\rangle$
- měření, tj. projekce "nicí" stav \rightarrow kolaps, projekce \Rightarrow nemůžeme zjistit stav před tímto vývojem

$$|\psi(x, t_0)\rangle \xrightarrow{U(t_1, t_0)} \left| \begin{array}{c} \hat{P}_{\Delta x} \end{array} \right. \xrightarrow{U(t_1, t_1')} |\psi'\rangle = U(t_1, t_1') \hat{P}_{\Delta x} U(t_1, t_0) |\psi(x, t_0)\rangle$$

- gen. časového vývoje je Hamit. : $U(t, t_0) = e^{-\frac{i}{\hbar} \hat{H}(t-t_0)}$

Postulát o měření:

- ③ Měření je dané spektrm $\sigma(A)$ daného op. a n . podprostor $\hat{P}_\lambda = \sum_k |\lambda, k\rangle \langle \lambda, k|$
- Možné naměřitelné hodnoty sú dané bodmi spektra $\sigma(A)$
 - Stav po naměření $\lambda \in \sigma(A)$ je $\sum_k |\lambda, k\rangle \langle \lambda, k| \psi\rangle$ daného podprostoru:
 $|\psi\rangle \rightarrow \hat{P}_\lambda |\psi\rangle$
 - Pravděpodobnost naměření $\lambda \in \sigma(A)$ je $\|\hat{P}_\lambda |\psi\rangle\|^2 = \sum_k |\langle \lambda, k | \psi \rangle|^2$

• střední hodnota $\langle A \rangle = \langle \psi | \hat{A} | \psi \rangle$

Integrály pohybu, kvantová čísla, symetrie v QM

• klasicky: $A(p, q)$ je IP pokud $\frac{dA}{dt} = 0 \Leftrightarrow \{A, H\} = 0$

↓ analogicky platí v QM: \hat{A} je IP pokud $\frac{d}{dt} \hat{A} = 0 \Leftrightarrow [\hat{A}, H] = 0$

• ak je \hat{A} IP tak sa počas časového vývoju nemení: $\hat{A} = U^\dagger \hat{A} U \Rightarrow$ zach. vel.
 ↳ fakticky sa nemení $\mu(t) = \langle \psi(t) | \hat{A} | \psi(t) \rangle = \langle \psi(t_0) | \hat{A} | \psi(t_0) \rangle = \mu(t_0)$

• pokud $[\hat{A}, H] = 0$, tak \hat{A} a \hat{H} majú spoločné vl. vektory:

$$\hat{A} |n\rangle = a |n\rangle \quad \hat{H} |n\rangle = E_n |n\rangle \Rightarrow \text{súčasna diagonalizace}$$

ÚSKO = množina komut. op., ktorých vl. čísla jednoznačne určujú spoločné vl. vektory \Rightarrow 1. dim. vl. podprostory

• v QM je v ÚSKO \hat{H} a ďalšie komut. op
 \Rightarrow stav je určený ich vl. číslami \equiv kvantové čísla

Symetrie

• symetrii je vždy priradená operácia = transformácia
 • prostoročasové transformácie $\{U\}$ sú jednoznačne repr. unit. operátorom U_τ

• Lieova grupa = grupa, kt. el. sú dané sp. parametrom:
 ↓
 grupa transformácií

- 1) translácie \rightarrow vektor posunutí $\{\vec{a}\}$
- 2) rotácie \rightarrow os rotácie a uhol $\{\varphi, \vec{n}\}$
- 3) boost \rightarrow rýchlosť $\{\vec{v}\}$
- 4) posun v čase \rightarrow čas $\{t\}$

• prvky Lieovej grupy lze repr. na \mathcal{H} ako unit. op. $U_{\vec{a}} = e^{i \sum a_i G_i}$
 kde $G_i = G_i^\dagger$ sú gen. grupy, kt. splývajú $[G_i, G_j] = i C_{ijk} G_k$
 ↳ samo združ. ↳ konst. strukt.

• QM syst. je inv. voči U_τ :

- 1) $U_\tau^\dagger H U_\tau = H$
- 2) $[H, U_\tau] = 0$
- 3) $[H, G_i] = 0 \Rightarrow$ do ÚSKA
- 4) $\frac{d}{dt} G_i = 0 \Rightarrow$ konstanta pohybu
- 5) rotácie vl. vekt \Rightarrow degenerácie spektra

• príklady:

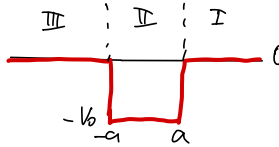
- 1) translácie: $U_{\vec{a}} = e^{-\frac{i}{\hbar} \vec{a} \cdot \vec{p}}$
- 2) rotácie: $U_{\varphi, \vec{n}} = e^{-\frac{i}{\hbar} \varphi \vec{n} \cdot \vec{L}}$
- 3) boost: $U_{\vec{v}} = e^{-\frac{i}{\hbar} \vec{v} \cdot \vec{x} m}$
- 4) časový posun: $U_t = e^{-\frac{i}{\hbar} t H}$

- $G_i = -\frac{\vec{p}}{\hbar}$... hybnosť
- $G_i = -\frac{\vec{L}}{\hbar}$... mom. hybnosti
- $G_i = -\frac{\vec{x} m}{\hbar}$... polohy
- $G_i = -\frac{H}{\hbar}$... Hamilt.

Jednoduché QM systémy

Kvantování energie pro vázanou částici: jáma, LHO

Jáma



$$V(x) = \begin{cases} -V_0 & x \in (-a, a) \\ 0 & \text{jindy} \end{cases}$$

- $V(x)$ je sudá fce $\Rightarrow [\hat{H}, \hat{\Pi}] = 0 \Rightarrow$ stačí řešit na $(0, \infty)$ a zjistit, aby byla fce sudá/lichá na \mathbb{R}

$x \in (a, \infty)$

$$-\frac{\hbar^2}{2m} \psi_I''(x) = E \psi_I(x)$$

$$\psi_I(x) = A_I e^{-kx} + B_I e^{-kx}$$

kx diverguje

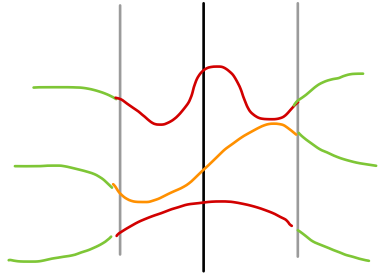
$$k = \sqrt{\frac{2m|E|}{\hbar^2}}$$

$x \in (0, a)$

$$-\frac{\hbar^2}{2m} \psi_{II}''(x) - V_0 \psi_{II}(x) = E \psi_{II}(x)$$

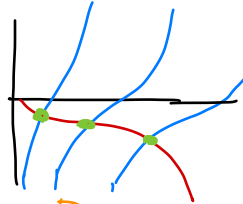
$$\psi_{II}(x) = A_{II} e^{ikx} + B_{II} e^{-ikx}$$

$$k = \sqrt{\frac{2m(E - V_0)}{\hbar^2}}$$



- podmínky sudosti/lichosti $\Rightarrow \psi(x) \sim \begin{cases} e^{-k|x|} & |x| > a \\ \cos kx \text{ (sudé)} \\ \sin kx \text{ (liché)} \end{cases} |x| < a$
- podm. normalizace $1 = \int \psi(x) \psi^*(x) dx$

- podmínky navázání: $\psi_I'(a) = \psi_{II}'(a), \psi_I(a) = \psi_{II}(a)$



\Rightarrow $k a \tan k a = k a$ (sudé) } kvantují možné hodnoty $k, k \Rightarrow E$
 $k a \cot k a = -k a$ (liché) } ex. max. možné E pro dané V_0 a a .

- v případě nehoncovací stěny na $(0, a)$ $\psi_n = N \sin(kx)$ $k = \frac{n\pi}{a} \Rightarrow E_n = \frac{\hbar^2 \pi^2 n^2}{2ma^2}$

LHO

$$V(x) = \frac{1}{2} k x^2 = \frac{1}{2} m \omega^2 x^2 \rightarrow \hat{H} = \frac{1}{2m} p^2 + \frac{1}{2} m \omega^2 x^2 =$$

subst. $p \rightarrow p' = \frac{p}{\sqrt{m\hbar\omega}}, x \rightarrow x' = \sqrt{\frac{m\omega}{\hbar}} x \Rightarrow \hat{H} = \frac{1}{2} (\hat{p}'^2 + \hat{x}'^2) \hbar\omega$

$\Rightarrow \hat{H}$ je sym. vůči změně $\hat{x}' \leftrightarrow \hat{p}' \Rightarrow$ vlnové fce budou stac. body FT

\Rightarrow zavedeme op: $\hat{a} = \frac{1}{\sqrt{2}} (\hat{x}' + i\hat{p}')$ $\hat{a}^\dagger = \frac{1}{\sqrt{2}} (\hat{x}' - i\hat{p}')$

$\Rightarrow \hat{H} = \hbar\omega (\hat{a}^\dagger \hat{a} + \frac{1}{2}) = \hbar\omega (\hat{N} + \frac{1}{2}) \Rightarrow$ stačí najít vl. čísla $\hat{N} |n\rangle = n |n\rangle$

$\hat{a}^\dagger |n\rangle = \sqrt{n+1} |n+1\rangle$ $\hat{a} |n\rangle = \sqrt{n} |n-1\rangle \Rightarrow n \in \mathbb{N}_0$

$\Rightarrow E_n = \hbar\omega (n + \frac{1}{2}) \rightarrow$ vl. fce najdeme ako $\hat{a} |0\rangle = 0 \Rightarrow \psi_0(x) = \frac{1}{\sqrt{\pi}} e^{-x^2/2}$

\Rightarrow obecně dostaneme $\psi_n(x) = \frac{(\hat{a}^\dagger)^n |0\rangle}{\sqrt{n!}} = \frac{1}{\sqrt{n! 2^n \sqrt{\pi}}} (x - \frac{\partial}{\partial x})^n e^{-x^2/2}$

$\Rightarrow \psi(x) = \frac{1}{\sqrt{n! 2^n \sqrt{\pi}}} H_n(x) e^{-x^2/2}$
 \hookrightarrow Hermiteovy polynomy

Volná částice, vlnové balíky, průchod částice poten. bariérou

Volná částice

$V=0 \Rightarrow \hat{H} = \frac{\hat{p}^2}{2m} \Rightarrow [p, \hat{H}] = 0 \Rightarrow \hat{H}|p\rangle = \frac{p^2}{2m}|p\rangle$

→ stačí najít u. fce \hat{p} : $\langle x|\hat{p}|p\rangle = -i\hbar \nabla \psi_p(x) = \langle x|p\rangle = \psi_p(x)$

$\Rightarrow \psi_{\vec{p}}(x) = \frac{1}{\sqrt{2\pi\hbar}} e^{\frac{i}{\hbar} \vec{p} \cdot \vec{x}} \Rightarrow \psi_{\vec{p}}(x,t) = \frac{1}{\sqrt{2\pi\hbar}} e^{\frac{i}{\hbar} (\vec{p} \cdot \vec{x} - \omega t)}$, kde $\omega = \frac{p^2}{2m}$

norm na δ -tu $\int \psi_{\vec{p}}(\vec{x}) \psi_{\vec{p}'}(\vec{x}) d^3x = \delta(\vec{p} - \vec{p}')$, alt. na konečný objem $N = \frac{1}{V}$

→ obecné řešení je LK: $\psi(x,t) = \frac{1}{\sqrt{2\pi\hbar}} \int C(p) e^{\frac{i}{\hbar} (\vec{p} \cdot \vec{x} - \omega(p)t)} d^3p$

• alternativně můžeme vyjádřit v rad. souřadnicích:

$\hat{H} = \frac{\hat{p}^2}{2m} = \frac{1}{2m} (\hat{p}_r^2 + \frac{\hat{L}^2}{r^2})$, kde $\hat{p}_r^2 = \frac{1}{r^2} \frac{\partial}{\partial r} (r^2 \frac{\partial}{\partial r})$

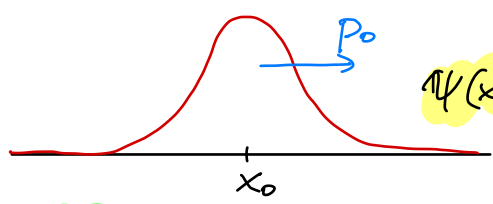
$\psi_k(r, \vartheta, \varphi) = \sqrt{\frac{2}{\pi}} k R_{kl}(r) Y_{lm}(\vartheta, \varphi)$
 → $R_{kl}(r) = j_l(kr) = (-1)^l (kr)^l \left(\frac{1}{r} \frac{d}{dr} \right)^l \frac{\cos kr}{kr}$
 → *steroidní harmoniky*
 → *Besselova fce*

Vlnové balíky

• obecné stac. řešení: $\psi_{\vec{p}}(\vec{x}) = \frac{1}{\sqrt{2\pi\hbar}} \int C(p) e^{\frac{i}{\hbar} \vec{p} \cdot \vec{x}} d^3p$
 ↳ v závislosti od volby $C(p)$ dostaneme různé vlnové balíky, zračí se sa volí užší, centrovány pevně okolo p_0

1D Gaussovský balík

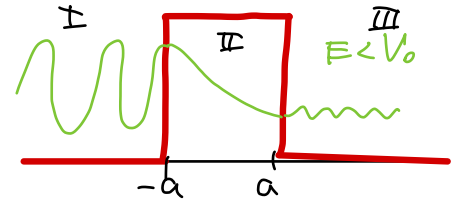
$C(p) = \frac{1}{\Delta p \sqrt{2\pi\hbar}} e^{-\frac{(p-p_0)^2}{2\Delta p^2}} \rightarrow$ splňují $\Delta x \Delta p = \frac{\hbar}{2}$



$\psi(x) = \frac{1}{(\pi \Delta x^2)^{1/4}} e^{-\frac{(x-x_0)^2}{2\Delta x^2}} e^{-\frac{i}{\hbar} p_0 x}$

Průchod částice poten. bariérou

$V(x) = \begin{cases} 0 & |x| > a \\ V_0 & |x| < a \end{cases}$



• dvě možnosti $E > V_0, E < V_0$
 • 3 intervaly řešení:

$x \in (-\infty, -a)$

$|x| < a$

$x \in (a, \infty)$

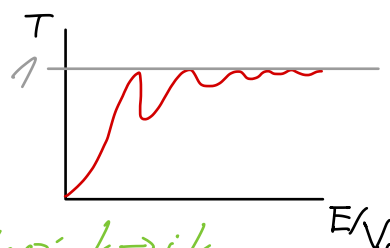
$\psi_I = A e^{i k_0 x} + B e^{-i k_0 x}$

$\psi_{II} = \alpha e^{i k x} + \beta e^{-i k x}$

$\psi_{III} = C e^{i k_0 x}$

$k_0 = \sqrt{\frac{2mE}{\hbar^2}}$

$k = \sqrt{\frac{2m(E-V_0)}{\hbar^2}}$



$T = \left| \frac{\text{průchod}}{\text{vstup}} \right|^2 = \left| \frac{C}{A} \right|^2 = \frac{1}{1 + \frac{1}{4} \left(\frac{k_0}{k} - \frac{k}{k_0} \right)^2 \sin^2 ka}$

$E > V_0$
 pro $E < V_0$

$R = 1 - T = \left| \frac{\text{odraz}}{\text{vstup}} \right|^2 = \left| \frac{B}{A} \right|^2$

$\vec{j} = \frac{\hbar}{m} \text{Im}(\psi^* \nabla \psi)$ stačí $k \rightarrow ik$

Orbitální a spinový mom. hybnosti, základy skládání

• operátor \hat{J} nazveme moment hybnosti, ať $[\hat{J}_i, \hat{J}_j] = i\hbar \epsilon_{ijk} \hat{J}_k$

$$\hat{J}^2 = \hat{J}_x^2 + \hat{J}_y^2 + \hat{J}_z^2 \Rightarrow [\hat{J}^2, \hat{J}_i] = 0 \sim \hat{J}^2, \hat{J}_z \text{ stejné ul. velk.}$$

$$\hat{J}_\pm = \hat{J}_x \pm i\hat{J}_y \dots \text{posuvovací op. } [\hat{J}^2, \hat{J}_\pm] = 0, [\hat{J}_\pm, \hat{J}_z] = \pm\hbar \hat{J}_\pm$$

$$\hat{J}^2 |a, m\rangle = \hbar^2 a |a, m\rangle \quad \hat{J}_z |a, m\rangle = \hbar m |a, m\rangle$$

• aplikací $\hat{J}_z(\hat{J}_\pm |a, m\rangle)$ + konv. dostaneme $\hat{J}_\pm |a, m\rangle = C_\pm |a, m \pm 1\rangle$

• \hat{J}^2 je poz. semidef $\Rightarrow a > 0$

$$\hat{J}^2 - \hat{J}_z^2 = \frac{1}{2}(\hat{J}_+ \hat{J}_+^\dagger + \hat{J}_+^\dagger \hat{J}_+) \Rightarrow a \geq m^2 \Rightarrow \text{ex. } m_{\max} = j$$

• aplikací $\hat{J}_- \hat{J}_+ |a, j\rangle \Rightarrow a = j(j+1)$

• zároveň ex. ať $m_{\min} = j'$ přičemž $j' = -j$ a $j' + 1 = -j \Rightarrow j' = -\frac{n}{2}$

$$j = 0, \frac{1}{2}, 1, \dots \quad \hat{J}^2 |j, m\rangle = \hbar^2 j(j+1) |j, m\rangle$$

$$m = -j, \dots, 0, \dots, j \quad \hat{J}_z |j, m\rangle = \hbar m |j, m\rangle$$

$$\hat{J}_+^\dagger \hat{J}_+ = \hat{J}^2 - \hat{J}_z^2 - \hbar \hat{J}_z \Rightarrow C_+ = \sqrt{(j-m)(j+m+1)}$$

• celociselné patří orbitálnímu mom. hyb.

• polociselné patří spinovému mom. hyb. \rightarrow postulovaný v QM

Orbitální mom.

• definovaný z klas. $\vec{L} = \vec{x} \times \vec{p}$

$$\Rightarrow L_z = \hat{p}_x \hat{x}_y - \hat{x}_p \hat{p}_y \quad \hat{L}^2 = \hat{x}^2 \hat{p}^2 - (\vec{x} \cdot \vec{p})^2 + i\hbar \vec{x} \cdot \vec{p}$$

• v x-repr: (sférické souřadnice)

$$\hat{L}_z \psi(r, \theta, \varphi) = -i\hbar \frac{\partial}{\partial \varphi} \psi(r, \theta, \varphi)$$

$$\hat{L}^2 \psi(r, \theta, \varphi) = -\hbar^2 \nabla_{\vec{r}}^2 \psi(r, \theta, \varphi) \quad \text{kde } \nabla_{\vec{r}}^2 = \frac{1}{\sin \theta} \frac{\partial}{\partial \theta} \left(\sin \theta \frac{\partial}{\partial \theta} \right) + \frac{1}{\sin^2 \theta} \frac{\partial^2}{\partial \varphi^2}$$

Spinový mom.

• postulovaný $\hat{S} \rightarrow$ bozóny celociselný, fermióny polocís

• \forall fund. částice mají $\text{spin} = 1/2$ (fermióny)

\rightarrow dvě projekce $|+\rangle, |-\rangle \rightsquigarrow$ Hilber. je izomorf \mathbb{C}^2

$$\Rightarrow \hat{S}_i = \frac{\hbar}{2} \hat{\sigma}_i \quad \sigma_x = \begin{pmatrix} 0 & 1 \\ 1 & 0 \end{pmatrix} \quad \sigma_y = \begin{pmatrix} 0 & -i \\ i & 0 \end{pmatrix} \quad \sigma_z = \begin{pmatrix} 1 & 0 \\ 0 & -1 \end{pmatrix}$$

\hookrightarrow Pauliho matice v bázi $|z+\rangle, |z-\rangle$

Skládání mom. hybnosti

• dva momenty hybnosti $\vec{J}^{(1)}, \vec{J}^{(2)}, \mathcal{H} = \mathcal{H}^{(1)} \otimes \mathcal{H}^{(2)}$

$$\rightarrow \text{USKO} = \{ \hat{J}^2, \hat{J}_z, \hat{J}^2, \hat{J}_z \}$$

• celkový mom. hybnosti $\vec{J} = \vec{J}^{(1)} + \vec{J}^{(2)}$

• chceme projít do báze, kde $\text{USKA} = \{ \hat{J}^2, \hat{J}_z, \hat{J}^2, \hat{J}_z \}$

\rightarrow C-6 koef = matice přechodu:

$$|(j_1 j_2) JM\rangle = \sum C_{j_1 m_1 j_2 m_2}^{JM} |j_1 m_1\rangle |j_2 m_2\rangle$$

Častice ve sféricky sym. potenciálu, atom vodíku

• sféricky sym. potenciál $V=V(r) \Rightarrow \hat{H} = \frac{\hat{p}^2}{2m} + V(r)$

• $p^2 = \hat{p}^2 + \frac{1}{r^2} \hat{L}^2$, kde $\hat{p}^2 = -\frac{\hbar^2}{r^2} \frac{\partial}{\partial r} \left(r^2 \frac{\partial}{\partial r} \right)$
 $\hat{L}^2 = -\frac{\hbar^2}{\sin^2 \theta} \frac{\partial}{\partial \theta} \left(\sin \theta \frac{\partial}{\partial \theta} \right) + \frac{\hbar^2}{\sin^2 \theta} \frac{\partial^2}{\partial \varphi^2}$

• řešení napíšeme ako:

$\Psi(r, \theta, \varphi) = R(r) Y_{lm}(\theta, \varphi)$,
 kde $\hat{L}^2 Y_{lm}(\theta, \varphi) = \hbar^2 l(l+1) Y_{lm}(\theta, \varphi)$
 a $\hat{L}_z Y_{lm}(\theta, \varphi) = \hbar^2 m Y_{lm}(\theta, \varphi) \Rightarrow Y_{lm}(\theta, \varphi) \propto e^{im\varphi}$
 → řešení pro \hat{L}^2 dostaneme: *normalizace + fyzická konvence*

$$Y_{lm}(\theta, \varphi) = C_l^m e^{im\varphi} P_l^m(\cos \theta)$$

$$P_l^m(\xi) = \frac{1}{2^l l!} \sqrt{(1-\xi^2)^m} \frac{d^{l+m}}{d\xi^{l+m}} (\xi^2-1)^l$$

• stačí určit radiální Schr

$$-\frac{\hbar^2}{2mr^2} (r^2 R')' + \frac{l(l+1)\hbar^2}{2mr^2} R + V(r)R = ER$$

Atom vodíku

• e^- v pol. protonu $\Rightarrow V(r) = -\frac{e^2}{4\pi\epsilon_0} \frac{1}{r} = -\frac{\gamma}{r}$

• substituce:

$$\chi(r) = rR(r) \Rightarrow -\frac{\hbar^2}{2m} \chi'' + \left[\frac{l(l+1)\hbar^2}{2mr^2} + V(r) \right] \chi = E\chi$$

• bez jednotek: $r \rightarrow r' = \sqrt{\frac{8m|E|}{\hbar}} r = \frac{2r}{na_0}$, kde $a_0 \approx 0,5 \text{ \AA}$

• asymptotika:

$$r \rightarrow 0 \quad \chi'' - \frac{l(l+1)}{r^2} \chi = 0 \Rightarrow \chi \rightarrow r^{l+1}$$

$$r \rightarrow \infty \quad \chi'' - \frac{1}{4} \chi = 0 \Rightarrow \chi \rightarrow e^{-\frac{r}{2}}$$

• řešení je tvar $\chi(r) = W(r) r^{l+1} e^{-\frac{r}{2}}$

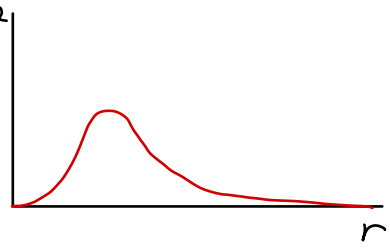
↳ rozvinutím do $W(r)$ do řady a z podmínek na L^2 fci + asymptotika
 $\Rightarrow W(r)$ je konečný polynom \equiv Laguerre polynom: $L_{n-l-1}^{2l+1}(r)$

• z podm. konečnosti dostaneme $E_n = -Ry \frac{1}{n^2}$, kde $n=1, 2, 3, \dots$
 a $l=0, 1, \dots, n-1$
 $m=-l, \dots, l$

• plné řešení: $R_{nl}(r) = C_{ln} L_{n-l-1}^{2l+1} \left(\frac{2r}{na} \right) \left(\frac{2r}{na} \right)^l e^{-\frac{r}{na}}$

• základní stav: $\Psi_{100}(r, \theta, \varphi) = \frac{1}{\sqrt{4\pi}} 2\sqrt{\frac{1}{a^3}} e^{-\frac{r}{a}}$

• pro těžší jádro: $E_n = -Ry \frac{Z^2}{n^2}$



Častice v elmag. poli: Zeemanovo stepeni, Larmorova prec.

• hamilt. pre časticu v elmag. poli:

$$\hat{H} = \frac{(\vec{p} - q\vec{A})^2}{2m} + q\varphi = \frac{\vec{p}^2}{2m} + \frac{q^2 A^2}{2m} - \frac{q}{2m} \vec{A} \cdot \vec{p} - \frac{q}{2m} \vec{p} \cdot \vec{A} + q\varphi$$

• v x-repr: $\hat{H} = -\frac{\hbar^2}{2m} \nabla^2 + \frac{q^2 A^2}{2m} + i\hbar \frac{q}{m} \vec{A} \cdot \nabla - i\hbar \frac{q}{2m} \nabla \cdot \vec{A} + q\varphi$

zanedlbava sa pre slabe polci

0 v Coulomb. kalib.

• v prípade spinu treba pridať člen $-\vec{\mu} \cdot \vec{B} = -g \frac{e}{2m} \vec{S} \cdot \vec{B} = -\frac{e}{m} \vec{S} \cdot \vec{B}$

Zeemanov efekt

• atóm vodíku vložíme do mag. pola \rightarrow dojde k stepeniam hladín
 \rightarrow stepenie hladín sa dá vysvetliť klasicky \rightarrow pohyb el. náboja v atóme (Lorentz):

$$\vec{B} = (0, 0, B) \quad \vec{E} = (qyB, -qxB, 0)$$

$$m\ddot{x} + kx - qyB = 0 \quad x \sim \cos(\omega_1 t)$$

$$\Rightarrow m\ddot{y} + ky + qxB = 0 \quad \Rightarrow y \sim \sin(\omega_1 t) \text{ , kde } \omega_1 \approx \pm \omega_0 - \frac{qB}{2m}$$

$$m\ddot{z} + kz = 0 \quad z \sim \cos(\omega_0 t)$$

$$\Rightarrow \Delta E = \hbar \Delta \omega = \frac{\hbar q B}{2m}$$

• v QM \rightarrow anomálny Zeeman, $\vec{B} = (0, 0, B) = \text{konst} \Rightarrow \vec{A} = -\frac{1}{2}(yB, -xB, 0)$

$$\Rightarrow \hat{H} = \hat{H}_0 + \hat{H}_1 \text{ , kde } \hat{H}_0 = -\frac{\hbar^2}{2m} \nabla^2 - \frac{\hbar^2}{r} \dots \text{ volný vodík}$$

$$\hat{H}_1 = -\frac{eB}{2m} \hat{L}_z - \frac{eB}{m} \hat{S}_z = -\frac{eB}{2m} (\hat{L}_z + 2\hat{S}_z)$$

\rightarrow korekcie 1. rádu energie:

$$\Delta E = \langle n l m m_s | \hat{H}_1 | n l m m_s \rangle = -\frac{e\hbar B}{2m} (m + 2m_s)$$

\rightarrow Sejmie deg. v m-kuich
 \rightarrow pre dané l ostani iba 2 hlad. deg.

Larmorova precese

• spin e v mag. poli: $\hat{H} = -\vec{\mu} \cdot \vec{B} = -\frac{e}{m} \vec{S} \cdot \vec{B} = -\frac{eB}{m} \hat{S}_z$

\rightarrow v maticovej repr: $\hat{H} = -\frac{eB\hbar}{2m} \begin{pmatrix} 1 & 0 \\ 0 & -1 \end{pmatrix} \rightsquigarrow U(t) = \begin{pmatrix} e^{-i\omega t} & \\ & e^{i\omega t} \end{pmatrix}$

$$\omega = \frac{eB\hbar}{2m}$$

$$E_{\pm} = \pm \frac{eB\hbar^2}{2m}$$

• časový vyvoj obecného stavu: $|\mathcal{U}(t)\rangle = \alpha e^{-i\omega t} |+\rangle + \beta e^{i\omega t} |-\rangle$

• pre stav. v poc. stave $|\mathcal{U}(0)\rangle = |x+\rangle = (|+\rangle + |-\rangle)/\sqrt{2}$

$$\Rightarrow |\mathcal{U}(t)\rangle = (e^{-i\omega t} |+\rangle + e^{i\omega t} |-\rangle)/\sqrt{2}$$

• pravd. najst v $|x+\rangle$ v case t: $|\langle x+ | \mathcal{U}(t) \rangle|^2 = \sin^2 \frac{\omega t}{2}$

• sledue hodnoty S_x, S_y :

$$\langle S_x \rangle = \frac{\hbar}{2} \cos \omega t \quad \langle S_y \rangle = \frac{\hbar}{2} \sin \omega t \quad \langle S_z \rangle = 0$$

\Rightarrow precese spinu okolo osi z

Systemy s více částicami

• postulát o nerozliš. částic:

⑥ Stavový prostor nerozliš. částic: $\left\{ \begin{matrix} \text{(bozonův)} \\ \text{(fermionův)} \end{matrix} \right\}$ je plus $\left\{ \begin{matrix} \text{sym.} \\ \text{asym.} \end{matrix} \right\}$ voci výměne dvou částí.

- prostor N nerozliš. částic: $\mathcal{H}^{(N)} = \mathcal{H}_1 \otimes \mathcal{H}_1 \otimes \dots \otimes \mathcal{H}_1$, kde \mathcal{H}_1 je prostor 1 část.
- necht $\hat{C}|n\rangle = c_n|n\rangle$ je op. na $\mathcal{H}_1 \rightarrow \hat{C}^{(N)} = 1 \otimes \dots \otimes \hat{C} \otimes \dots \otimes 1$
- obecný stav n částic: $|n_1 \dots n_N\rangle = |n_1\rangle \otimes \dots \otimes |n_N\rangle$
- projekční op. výměny dvou částic: $\hat{P}_{ij} |n_1 \dots n_i \dots n_j \dots\rangle = |n_1 \dots n_j \dots n_i \dots\rangle$
- op. obecné permutace: \hat{P}_π , kde $\pi = \begin{pmatrix} 1 & \dots & N \\ i_1 & \dots & i_N \end{pmatrix}$ je perm. zo znam $(-1)^P$

• sym./asym. stav dostaneme pomocí projekčních op.

$$\hat{S} = \frac{1}{N!} \sum_{\pi} \hat{P}_\pi \rightarrow [\hat{S}, \hat{P}_\pi] = 0$$

$$\hat{A} = \frac{1}{N!} \sum_{\pi} (-1)^P \hat{P}_\pi \rightarrow \{\hat{A}, \hat{P}_\pi\} = 0$$

prostor bozonů ↑
prostor fermionů ↑
nerozliš. částic ↑

• obecný $\mathcal{H}^{(N)}$ můžeme zapsat jako $\mathcal{H}^{(N)} = \hat{S}\mathcal{H}^{(N)} \oplus \hat{A}\mathcal{H}^{(N)} \oplus \dots$

• pr. 2 částicového systému: $|N\rangle = |n_1 n_2\rangle \rightarrow |\psi^S\rangle = \frac{1}{\sqrt{2}}(|n_1 n_2\rangle + |n_2 n_1\rangle)$
 $|\psi^A\rangle = \frac{1}{\sqrt{2}}(|n_1 n_2\rangle - |n_2 n_1\rangle)$
 ↳ 3 stavy pro bozony, 1 pro fermiony

• ak by v jednom stavu (rovnače v QM stavu) boli 2 fermiony, tak už prechodenie by nebolo poznat, čo je ale sym.

⇒ Pauliho vyluč. princíp: V každom QM stavu sa nachádza najviac 1 fermión

$$\Rightarrow (a^\dagger)^2 = 0$$

• obsadz. čísla → miesto sledovania konkrétnych stavov - # obs. v stavu

$$|N_1 \dots\rangle = \sqrt{\frac{N!}{N_1! \dots}} \hat{S} |n_1 \dots n_N\rangle \quad |N_1 \dots\rangle = \sqrt{N!} \hat{A} |n_1 \dots n_N\rangle$$

• Fockov prostor - variabilný # částic

fermion

$$a_n^\dagger |N_1 \dots\rangle = (-1)^{N_1 + \dots + N_n} |N_1 \dots N_n + 1 \dots\rangle$$

$$\{a_n, a_m^\dagger\} = \delta_{nm}$$

bozon

$$a_n^\dagger |N_1 \dots\rangle = \sqrt{N_n + 1} |N_1 \dots N_n + 1 \dots\rangle$$

$$[a_n, a_m^\dagger] = \delta_{nm}$$

• 1 částicový op: $\hat{C} = \sum_{m,n} C_{mn} a_m^\dagger a_n$

→ Slaterov. det

Hartree-Fock

→ metoda středního polya kl. částí 1 e⁻

$$H = \sum_{l,m,n} h_{lmn} a_m^\dagger a_n + \frac{1}{2} \sum_{k,l,m,n} v_{kl,lmn} a_k^\dagger a_l^\dagger a_n a_m$$

$|\psi\rangle = \hat{A}(|\phi_1\rangle \dots |\phi_N\rangle)$, že $\delta E[|\psi\rangle] = 0$
 ↳ chceme převést na 1 část.
 výměny částic

$$\hat{H}_{HF} |\phi_k\rangle = h |\phi_k\rangle + \frac{1}{2} \sum_l \langle \phi_l | \hat{V} (|\phi_l\rangle \langle \phi_k| - |\phi_k\rangle \langle \phi_l|) = \epsilon_k |\phi_k\rangle$$

střední pole

• x-repr:
$$\left(-\frac{\hbar^2 \nabla^2}{2m} + V(r) + \frac{1}{2} \int v(\vec{r}-\vec{r}') \left(\sum_l |\phi_l(\vec{r}')|^2 \right) d\vec{r}' \right) \phi_k(\vec{r}) + \frac{1}{2} \sum_l \phi_l(\vec{r}) \int \phi_l^*(\vec{r}') v(\vec{r}-\vec{r}') \phi_k(\vec{r}') d\vec{r}' = \epsilon_k \phi_k(\vec{r})$$

← výměny částic

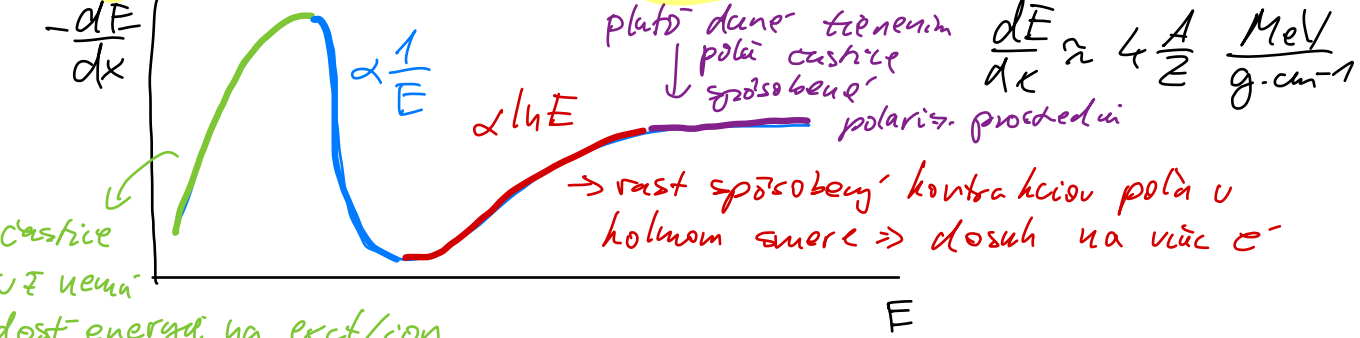
Jaderné záření

Interakce záření s látkou

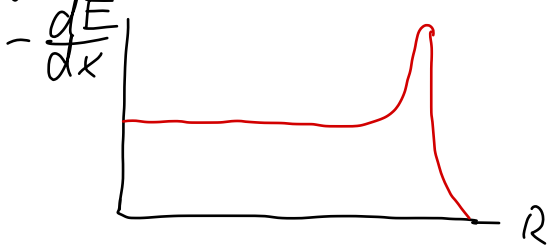
Težké nabitě částice (proton, mion, cesty)

- mechanismy interakce: excitace/ionizace, zadržet e⁻, pružný rozptyl, polarizace
- stráž energie excitace/ionizace si dává Bethe-Blochova formule:

$$-\frac{dE}{dx} = \left(\frac{e}{4\pi\epsilon_0}\right)^2 \frac{4\pi N z^2}{m_e c^2 \beta^2} \left[\ln \frac{2m_e c^2 \beta^2}{I(1-\beta^2)} - \beta^2 - \frac{U_0}{2} - \frac{J}{2} \right]$$



Braggova křivka - závislost dep. E. v závislosti od hloubky proniknutí:



- navíc E deponované na konci svého letu
- využít na přesné zamerění dep. ion. záření

Lehké nabitě částice (e⁻, e⁺)

- mechanismy: excit./ionizace, brzdové záření, Čerenkovo záření, přechodové z.
- částice sv. brzdění polími jádra → vyžarují γ

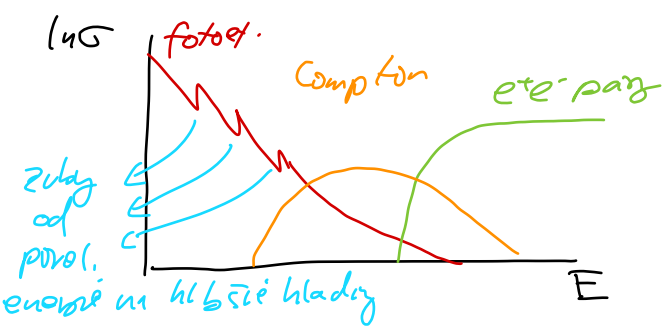
$E = E_0 e^{-\frac{x}{X_0}}$, kde X_0 je rad. délka

$\frac{dE}{dx} |_{\text{brzd}} \approx \frac{1}{m^2}$
↳ dominuje v takových

- excitace/ionizace jako Bethe-Bloch
- Čerenkovo záření při rychlosti větší než rychl. sv. v danom prostředí - $\cos \theta = \frac{1}{\beta n}$

Gamma záření

- fotoefekt → $\sigma \propto \frac{Z^5}{E^{3.5}}$
- Comptonův rozptyl → $\sigma \propto Z \ln E/E$
- tvorba e⁺e⁻ párov → $\sigma \propto Z^2 \ln E$
↳ čba v externom poli
↳ prahom energii $E = 2m_e(1 + \frac{m_e}{m_x})$



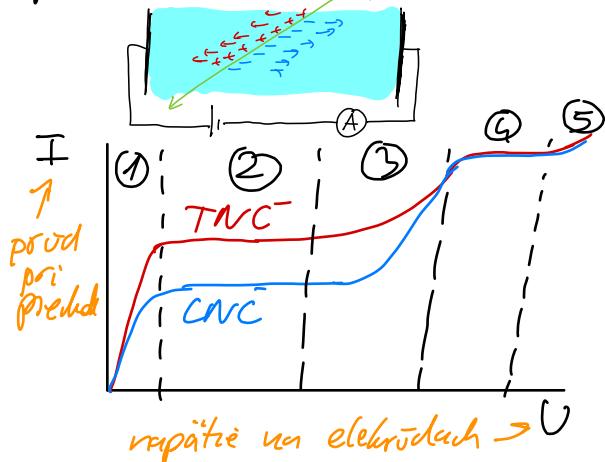
Spršky

- kaskádovitě množ částic
- elmag sprška - tvorba e⁺e⁻ párov a brzdové záření
- hadronom sprška - delecie a rozpad hadronom, hlavně na π^+ , π^0

Detekce a spektroskopie záření

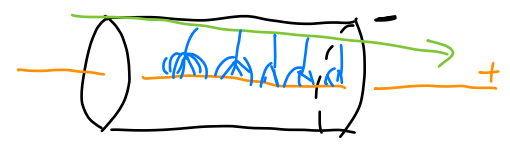
Ionizační komory

- nabité částice ionizují plyn → přiloženým napětím se odčerpá náboj
→ vzniknutý napítočný proud je úměrný depouované energii
- počet vzniknutých párov: $N_{ion} = \frac{E}{\bar{\omega}}$, kde $\bar{\omega} \approx 30\text{ eV}$ je energie na 1 pár



- 1) oblast přímé úměry - Ohmický
↳ rekombinace škvr ako t su vyžbiera
- 2) ionizační oblast → t náboj sa vyžbiera
- 3) prop. oblast → ion e^- ionizují
dlušie atomy → znásobenie
- 4) Geigerova-Müllerova oblast → prehod
částice způsobí výboj
- 5) stabilní výboj

- prop. komora → využití geometrie a zesíleného E v okolí
tenkého drátu → vznik kaskád e^- v okolí drátu

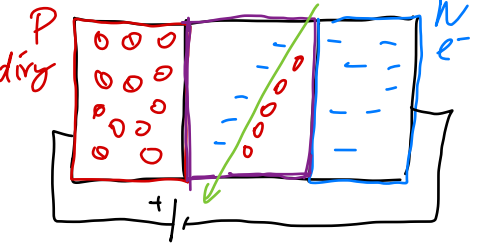


- **mnohohrátková prop. komora**
Lze lá drátů na určité polohy

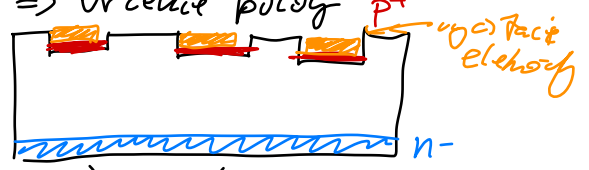


Polovodičové det.

- vytvoření PN přechodu → při přechodu částice dají ke vytvoření
 e^- - díra páru → odčerpání přiloženým napětím v závěrném směru
• energii na 1 pár $\sim 3\text{ eV}$



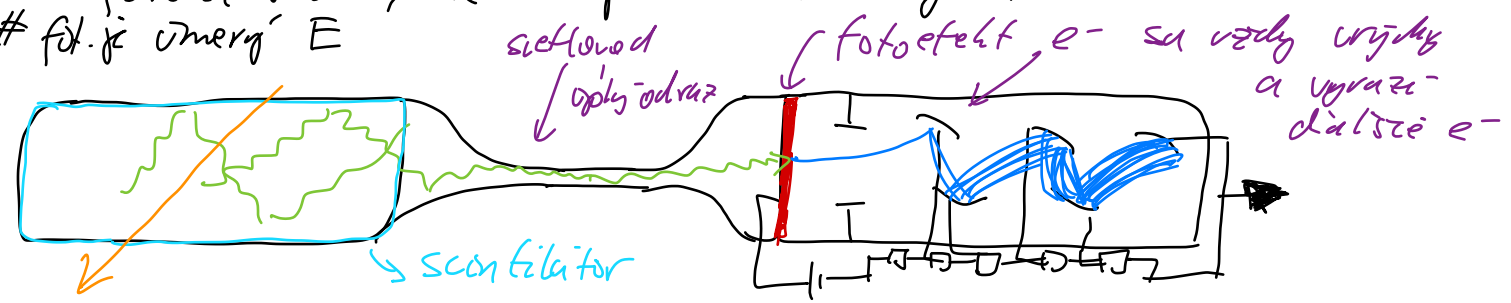
- co největší oblast mezi P a N → více det.
- geom. dopingu ⇒ určité polohy
↳ **střezový det.**



- na spektroskopii γ → HPGe (High-Purity Ge), chladené LN
→ vysoké Z pro konverzi γ na e^-
→ chlazení pro odstranění šumu → přesnější spektroskop.

Scintilační detektory

- nab. částice excitují e^- molekuly → při deexcitaci sa vyžiarí
vid. / UV svetlo
- to je následne svetlovodou (optické vlákna) odvedené
do fotonašobáča, kde sa premení na signál
- # fot. je úměrný E



Využití jaderného záření

Biologické účinky záření

• destrukce tkáně

• dávka - množství dep E na 1kg ... $1 \text{ Gy} = 1 \text{ J/kg}$

• ekvival. dávka - dávka vážená typov. částic ... $1 \text{ Sv} = 1 \text{ Gy} \cdot w$

• efektivní dávka - zohlednění typu tkáně

• typy účinků → **stochastické** - rakovina, ztl. kůže srdca

→ **deterministické** - pro větší dávky
- ničení tkáně, kůže

$\rightarrow \beta, e^{\pm} 1$
 $\rightarrow p, n^{\pm} 2$
 $\rightarrow \alpha, \text{hadron} = 20$
 $n = \text{max } 20$

• pětina dávek

normálně:

→ **vyšší** - nad 1 Gy → kancer Chernobyl

→ **střední** - $100 \text{ mGy} - 1 \text{ Gy}$ → sonové práz. Chernobyl

→ **nízká** - $10 - 100 \text{ mGy}$ → CT scan, PET

→ **velmi nízká** - pod 10 mGy → létadlo, RTG

$3.4 \text{ mSv/yr} = 100 \text{ nSv/h}$

Využití v medicíně

• RTG snímky

• CT scan → číže X-ray

• PET → pozitronová emisní tomografie

→ zavedení β^+ zářičů do těla - ^{18}F + glukóza

→ nádory spotřebují vel. glukózu → vel. konc. zářičů

→ e^+ anihiluje a uvolní 2γ pod 180° → detekce

• **ozařování nádorů**: (ničenie tkane)

1) kobalt $^{60}\text{Co} \rightarrow ^{60}\text{Ni} + 2\gamma \rightarrow \gamma$ sa nedajú smerovať / vhod. zdroj.

2) p^+ → urýchleneé p^+ , presná lokalizácia dávky

do 240 MeV

→ problém so smerovaním sväzku

Uhlíkové datování

• radioakt. uhlík vzniká v atm dopadem koz. záření: $n + ^{14}\text{N} \rightarrow ^{14}\text{C} + \text{p}$

• dlhý polčas rozpadu $T_{1/2} \sim 6 \text{ yr}$, $^{14}\text{C} \rightarrow ^{14}\text{N} + e^- + \bar{\nu}_e$

• v atme je v danom case daná koncentrácia ^{14}C

• živé bytosti pozierajú chlk → kým žijú je konc. ^{14}C x ako ^{12}C

• po smrti prestane prijímať $^{14}\text{C} \Rightarrow z \#$ ešte ek. ^{14}C sa dá určiť čas

• koncentrácia ^{14}C sa určuje urýchlením častíc a posob. mag. polom.

Atomové jádro

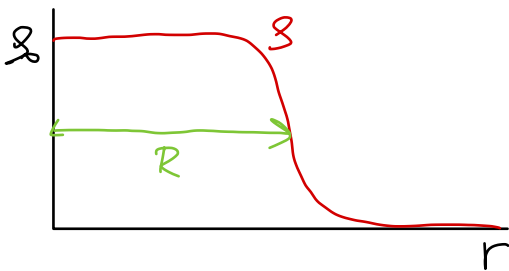
Základní vlastnosti a char. jádra

- jádro je složeno z nukleonů → protony
↳ neutrony
- # nukleonů A
- # protonů Z
- n, p mají cca rovnaké hmoty \Rightarrow jádra částice s různým I_3
↳ pro p je $I_3 = +\frac{1}{2}$, pro n je $I_3 = -\frac{1}{2}$
↳ celkový I_3 jádra: $I_3 = \frac{1}{2}Z - \frac{1}{2}(Z-A)$
- hmotnost jádra $M = m_p Z + m_n (Z-A) - B(A, Z)$ úroveň energie

- separační energii - potřebná na separaci 1 nukleonu
- spin - $\sum p, n + \sum p, n$ v jádře
- parita - sym. / asym. jádra při změně 2 částic
- sudá - sudá jádra: $\mathcal{P} = 0^+$

- mag. moment $\vec{\mu} = X \mu_N \frac{\vec{I}}{I} \rightarrow$ směr spinu
faktor, klad. i záp. $\mu_N = \frac{e\hbar}{2mp}$ mag. mom. nukleonu

- poloměr jádra \rightarrow empiricky $R \sim 1,2 \text{ fm} \cdot A^{1/3}$
↳ daný hustotou ρ



$$\rho(r) = \frac{\rho_0}{1 + e^{\frac{(r-R)}{a}}}$$

- a... určuje šířku
- one drůž jádra mají one hustotu ρ

Kolektivní stavy

- jádro se správa ako 1 objekt - celek
- z excitovaným stavem \rightarrow vyžarování γ při deexcitaci

Vibrace $\sim 1 \text{ MeV}$

- \rightarrow popis jako LHO
- \rightarrow vibrační stavy dané fonony = bozon \Rightarrow kladná parita, celočísl. spin
- ↳ kvadrupólové vibrace $\mathcal{P} = 0^+, 2^+, 4^+$
- ↳ oktapólové vibrace $\mathcal{P} = 0^+, 3^+$
- \rightarrow dobře definované pro sudá-sudá jádra
- \rightarrow dipólové uvisí - posun CMS



Rotace $\sim 0,1 \text{ MeV}$

- iba deformované jádra rotují - uče sterich sym.
- hladiny štáby ako $\sim l(l+1) \rightarrow$ uče elipsoid.
- u sudá-sudých jáder \Rightarrow rotace pod vibračními pásy

Jaderné síly, vazbová energie jadra

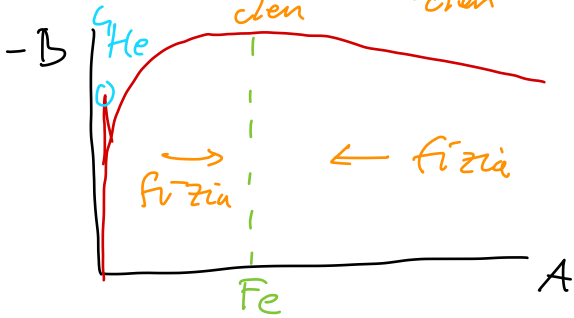
Kapkový model

• jádro popiseme ako nestlačenú kapalinu:

$$B(A, Z) = a_v A - a_s A^{2/3} - a_c \frac{Z^2}{A^{1/3}} - a_a \frac{(N-Z)^2}{A} + \frac{\delta}{A^{3/4}}$$

objemový člen, povrchový člen, Coulombický člen, asym. člen (pre väčšie jadra \Rightarrow viac n), zohľadnení sudé-sudé jadra

> 0 pre $s-s$
 $= 0$ pre $s-l$
 < 0 pre $l-l$



Sloupkový model

• P_n majú zvlášť potenciál
 • LHO aproximáciou:

$$H = \frac{p^2}{2m} + \frac{1}{2} m \omega^2 r^2 - V_0$$

rad. kv. q číslo

\Rightarrow povolené energie $E = \hbar \omega (n + \frac{1}{2})$, kde $n = 2n_r + l$

	n_r	l	m	\rightarrow	# stavov	Σ stavov
• $n=0$...	$n_r=0$	$l=0$	$m=0$	\rightarrow	2×1	2
• $n=1$...	$n_r=0$	$l=1$	$m=0, \pm 1$	\rightarrow	2×3	8
• $n=2$...	$n_r=1$	$l=0$	$m=0$	\rightarrow	2×1	} 20
	$n_r=0$	$l=2$	$m=0, \pm 1, \pm 2$	\rightarrow	2×5	

\Rightarrow magické čísla \rightarrow určí ako # nukleónov je stabilný: 2, 8, 20

\hookrightarrow napr. ${}^4_2\text{He} \rightarrow$ dvojnásobne magické

\Rightarrow pre $n > 2$ treba započítavať L-S vazbu:

$$V_{L-S} \propto -20 \text{ MeV } A^{1/3} \vec{L} \cdot \vec{S}$$

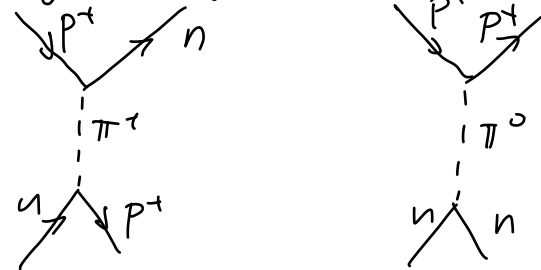
\Rightarrow magické čísla: 2, 8, 20, 28, 50, 82, 126

\hookrightarrow ${}^{208}_{82}\text{Pb}$ je dvojnásobne magické

Jaderné síly

• nukleony sú držané v jadre silnou interakciou

\hookrightarrow zbytková jaderná č. \rightarrow výmena $\pi^{\pm,0} \rightarrow$ hmotné, krátkodosah



• Yukawov potenciál

$$V(r) = -\frac{1}{r} e^{-\alpha m_{\pi} r}$$

$m_{\pi} = 140 \text{ MeV}$

• Wood-Sakouov potenciál

$$V(r) = \frac{-V_0}{1 + e^{-\frac{r-R}{a}}}$$

Radioaktivita, jaderné reakce

• radioaktivita → suacha jader dostat sa na nižšiu energiu = stabilita

• rozpadový zákon:

$$N(t) = N(0) e^{-\lambda t}$$

$$T_{1/2} = \frac{\ln 2}{\lambda}$$

$$\tau = \frac{1}{\lambda}$$

↳ aktivita zariadenia

$$A(t) = -\frac{dN(t)}{dt} = N(0) \lambda e^{-\lambda t}$$

α -rozpad

- uvoľnenie ${}^4_2\text{He}^{2+}$ jadra : ${}^A_Z X \rightarrow {}^{A-4}_{Z-2} X + {}^4_2\text{He}$
- hlavne ťažšie prvky $A \gtrsim 150$
- energia α častice: 4 - 6 MeV
- jednocást. rozpad → diskrétne spektrum
- k rozpadovej rade → ťranová, plutóniová, Eshoriová, aktínová
- potenciál pôsob. na α -častici



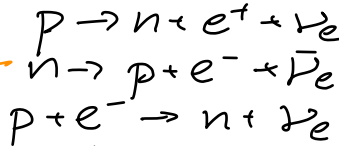
- α -častica preťuneluje cez potenciál
- model jadier
- odhad polčasu rozpadu:

$$\log_2 \frac{1}{T_{1/2}} = -a_2 \frac{Z}{\sqrt{E_\alpha}} + a_3$$

β -rozpad

• 3 častice rozpad: $p \rightarrow n + e^+ + \nu_e$

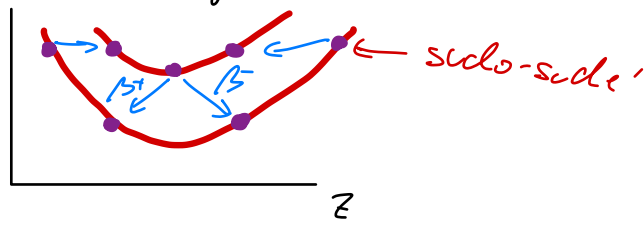
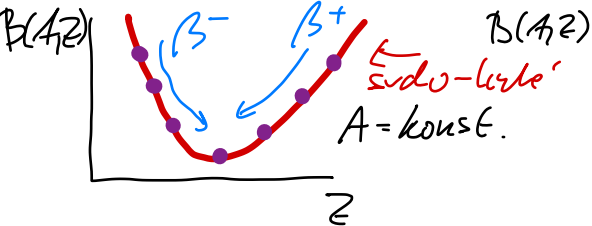
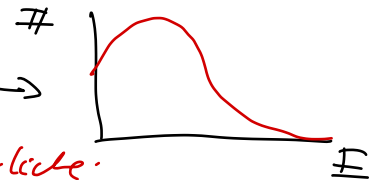
aj mnoho jadra



β^+
 β^-
EC

→ 3 častice → spojité spektrum

- najčastejší je β^-
- mediátor je slabá interakcia → W bozóny
- suacha dostat sa do údolnej stability:



γ -rozpad

- deexcitácia jadra → uvoľnenie energy. $\gamma \sim \text{MeV} \Rightarrow$ cítarové spektrum
- následne po β rozpadoch
- ↳ zväčša v kaskádach
- rýchle rozpady $\sim \text{fs}$

Jaderné reakcie

- fúzia → zlučovanie jadier, spontánne dominy pre $Z < Fe$
- štíeranie → rozpad jadier, ——— || ——— pre $Z > Fe$
- ↳ v Služi \sim pp cyklus $\sim 25 \text{ MeV}$
- ↳ v CNO cyklus $\sim 25 \text{ MeV}$

Jaderné zdroje energie

Štepne reakcie

- vyúžitie energie uvoľnenej pri rozpade ťažkých prvkov
- v prírode sú vyskytujúce urán
- základný princíp reakcie



- z jednej reakcie $\sim 200 \text{ MeV}$
- účinný prierez σ klesá s energiou $n \Rightarrow$ **pomalé uvoľňovanie**
- v prírode najčastejšie $^{235}\text{U} \rightarrow$ potrebuje viac energie na štiepenie \Rightarrow rýchlejšie $n \Rightarrow$ malý σ
- treba odhadovať ^{235}U , kt. je užitočný \rightarrow na 3-4%
- na spomaľovanie $n \rightarrow$ **moderátor** \rightarrow materiál na ktorom sa n javne rozptýlia a predajú energiu \Rightarrow treba ľahké jadrá $\Rightarrow \text{H}_2\text{O}, \text{D}_2\text{O}, \text{parafín}$
- zo štepnej reakcie viac $n \Rightarrow$ treba pohltiť nadbytočné \Rightarrow **regulátory** \rightarrow tyče, kt. sa zasunú do reaktora pre zníženie reaktivity - pohlcujú n
 - \hookrightarrow najčastejšie iba duté tyče, kt. vytláčením vody zastavujú moderovanie
 - \hookrightarrow taktická regulácia **Bórom** pri spúšťaní
- uvoľnená energia pri reakcii ohrieva vodu, kt. sa premení v parogenerátoroch na parú a tá roztáča turbínu

Fúzne reakcie

- ľahké jadrá sú zhlukujú \rightarrow dochádza k uvoľneniu energie
 - \hookrightarrow snaha dopracovať sa k železu Fe, kt. je stabilnejší
 - fúzijské štápy
- výroba všetkých prvkov vo vesmíre od Li po Fe
- 2 najčastejšie cykly výroby He \rightarrow CNO cyklus kde C, N, O sú katalyzátory, $E \sim 25 \text{ MeV}$
 - \rightarrow pp cyklus, $E \sim 25 \text{ MeV}$
- potreba aby jadrá boli blízko seba
 - \hookrightarrow vo hviezdach volajú gravitáciu + tunelovanie (vzjemná väzba veľ. objemu)
- na zemi 2 typy fúzijských reaktorov
 - 1) magnetické udržanie (Tokamak) \rightarrow magnetmi sa udržiava plazma
 - 2) inerciálne udržanie \rightarrow strelou laserom na malej kapsule
- tokamak ITER \rightarrow medzinarodý projekt vo Francúzsku
 - \hookrightarrow snaha o realizáciukladného zisku energie
 - \rightarrow reakcia:
 - 1) $^2_1\text{H} + ^3_1\text{H} \rightarrow ^4_2\text{He} + n \quad \sim 17,6 \text{ MeV}$
 - 2) $p + ^6_3\text{Li} \rightarrow ^4_2\text{He} + ^4_2\text{He} \quad \sim 17 \text{ MeV}$

Častice

Fundamentální částice

• Standardní model částicové fyziky:

	Fermiony				Bosony		
	I.	II.	III.	q	vektorové		
kvarky	u	c	t	$+\frac{2}{3}$	γ		
	d	s	b	$-\frac{1}{3}$	g		
leptony	e	μ	τ	-1	W	skalární	
	ν_e	ν_μ	ν_τ	0	Z	H	

- kvarky**
 - interagují slabě, silně, elmag
 - viazane' silnou chl. do hadronův
 - nevyšly by sa volně
 - 2 druhy nábojů $+\frac{2}{3}, -\frac{1}{3}$
 - v přírodě nejčastěji ibi u, d
 - ↳ ostatně sa rychle rozpadají
 - t kvark - největší známá částka $m_t = 175 \text{ GeV}$

- leptony**
 - **uabitě leptony** = e, μ , τ mají náboj -1
 - interagují slabě a elmag
 - stabilní ibi e
 - μ - z kosmického záření

- neutrína**
 - interagují ibi slabě ⇒ těžko zastavit a detekovat
 - 3 rodiny, všechny ešte známé přesne' hmoty
 - oscilace - u. stavy hmot. s' ibi o' ako rodiny
 - ↳ CP narušenie slaboj interakcie

- vektorové bosony** - mediátory sil, spin 1
 - 1) **elmag interakcia** - foton γ , nehmotný, 2 polarizácie
 - 2) **silná interakcie** - gluóny, nehmotný
 - mají farebný náboj ⇒ viažu sa sami na sebe
 - 3) **slabá interakcia** - hmotné bosony, $m_W = 80 \text{ GeV}$, $m_Z = 91 \text{ GeV}$
 - ↳ uabitě W^\pm bosony = uabitě proudy
 - ↳ neutrálně Z^0 bosony = neutrálně proudy

- Higgsov boson** - skalární boson, skalární pole
 - Higgsov mechanismus ⇒ dáva hmoty částicám
 - vazba na Higgsova a hmotná částice

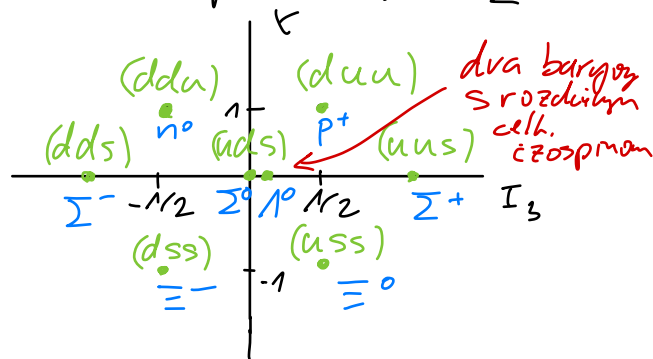
Rozpady

- $W \rightarrow l \bar{\nu}_l, q \bar{q}'$ → kvarky iného druhu, např. $W^+ \rightarrow u \bar{d}$
- $Z \rightarrow l \bar{l}, q \bar{q}, \nu_l \bar{\nu}_l$
- $H \rightarrow \gamma \gamma, W W, Z Z, b \bar{b}$
- $t \rightarrow W b$

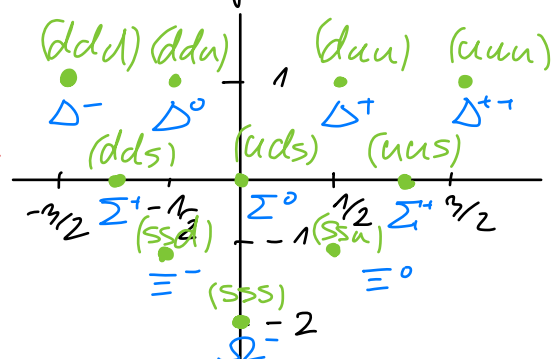
Hadrony

- väzane stavy kvarkov → mezony = kvark - antikvark
 ↳ baryony = 3 kvarky
- farebne neutrálne
- kvarky sú držané silnou silou → mediátor sú gluóny
- najľahšie kvarky u, d, s
 ↳ pióny: $\pi^+ = u\bar{d}$, $\pi^- = \bar{u}d$, $\pi^0 = \frac{1}{\sqrt{2}}(u\bar{u} + d\bar{d})$
 → pohľad možu sa rozpadajú silnou interakciou
 → pióny sú najľahšie: $\pi^\pm \rightarrow \mu^\pm + \bar{\nu}_\mu$ slabá interakcia W^\pm
 $\pi^0 \rightarrow 2\gamma$ elektromagnetická interakcia (rytlejší ako π^\pm)
- Kaony → zložené z s-kvarku: $K^+ = \bar{s}u$, $K^0 = s\bar{d}$
 $K^- = s\bar{u}$, $\bar{K}^0 = \bar{s}d$
- 1 kvark nesie 1 farbu (r, g, b) ⇒ diaľšie kvantové číslo
- z 3 kvarkov kde vyššie dajú 1 deketet a 1 oktetet baryonov
 ↳ dané rozkladom grupy: $3 \otimes 3 \otimes 3 = 10 \oplus 8 \oplus 8 \oplus 1$
- **czospm** $I_3(u) = \frac{1}{2}$, $I_3(d) = -\frac{1}{2}$
- **podivnosť** $S(s) = -1$
- **hypernáboj**: $Y = S + B$, kde $B(u) = B(d) = B(s) = \frac{1}{3}$ je baryónové číslo
 ↳ pre antikvarky je $-\frac{1}{3}$

oktetet spin = 1/2



dekuplet spin = 3/2

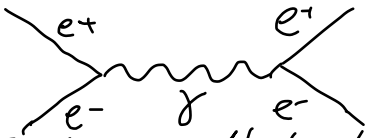


- mezony dostaneme vyškľadacom $3 \otimes \bar{3} = 8 \oplus 1$
- c kvark → baryon obsahuje c-kvark
- b-hadrony ⇒ b-kvark
- t-kvark je najťažší ⇒ nevrní hadrony, rozpadá sa

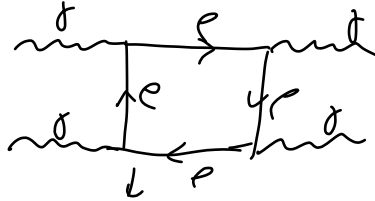
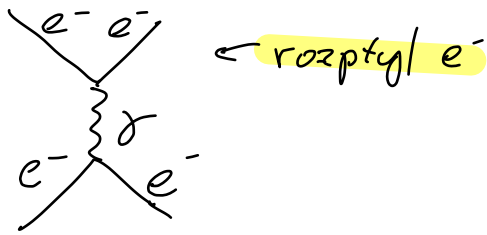
Základné interakcie medzi časticami; zákony zachovania

Elektromagnetická interakcia

- mediátor je **fotón**
- kvarky, μ , e , τ interagujú elektromagneticky



- sú dané Abelovskou Lieovou grupou $U(1) \rightarrow$ fotón nemá náboj
- pre častice, kt. sú ďaleko od seba \rightarrow neinteragujú \rightarrow ukladne' na porovchový rozvoj

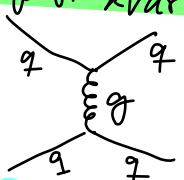


interakcia $\gamma\gamma \rightarrow$ 4 rádi porovchový teórie - málo pravd., ale namorane'

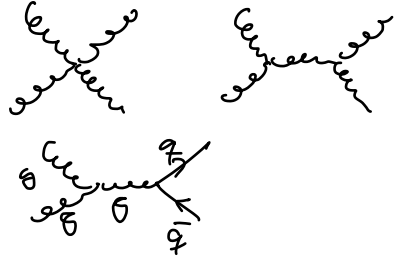
Silná interakcia

- mediátory sú **gluóny**
- interagujú len **kvarky**
- Lieova grupa je $SU(3) \rightarrow$ nekomutatívna \Rightarrow gluóny majú farebný náboj
- farebný náboj \rightarrow 3 farby r, g, b
 \rightarrow pre anticastice $\bar{r}, \bar{g}, \bar{b}$
- gluón má 2 náboje, napr. $r\bar{g}$
- najčastejšie interakcie:

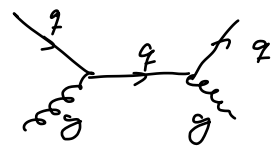
rozptyl kvarkov



rozptyl gluónov



rozptyl kvarku a gluónu



Slabá interakcia

- \rightarrow všetky fermióny interagujú
- \rightarrow hmotné W^\pm, Z^0 bozóny \rightarrow krátky dosah
- \rightarrow elektroslabá interakcia $\rightarrow W^\pm$ má elmag náboj
- \rightarrow napr. pri β rozpadoch: $n \rightarrow W^- + p \rightarrow p + e^- + \bar{\nu}_e$

Zákony zachovania

	elmag	silná	slabá
B, L	✓	✓	✓
T, S	✓	✓	✗
C	✓	✓	✗
P	✓	✓	✗
CP	✓	✓	✗
CPT	✓	✓	✓

- **C symetria** \rightarrow zámena častice - anticastice
- **P symetria** \rightarrow parita, priestorová inverzia (otočenie spinu)
- **T symetria** \rightarrow časová inverzia
- \rightarrow existujú iba pravotočivé (smer spinu) antineutrína
- \rightarrow existujú iba ľavočivé neutrína
- \rightarrow oscilácie neutrín, oscilácie kaónov
- **CP symetria** = uymarenie čas-anticas. + prost. inverzie

L... leptónové číslo

Velké experimenty

- LHC** → Large Hadron Collider, CERN
 - vysoká $p+p$ až do 6,5 TeV
 - detektory: ATLAS, CMS → víceúčelové
 - ALICE → těžké ionty, kvark-gluonové plazma
 - LHCb → fyzika b-kvarku
- objev Higgsova: $H \rightarrow \gamma\gamma$ v CMS, $H \rightarrow WW \rightarrow l\bar{l} \nu_e \bar{\nu}_e$
- SuperKEKB** → e^+e^- v Japonsku
 - studium CP narušení, b-kvarky
 - Belle II detektor
- objev $W \rightarrow l\bar{\nu}_l$
 - $Z \rightarrow l\bar{l}$
 - $t\bar{t} \rightarrow b\bar{b}WW \rightarrow$ Tevatron (Fermilab, USA)

ATLAS

- víceúčelový detektor
- základní komponenty:
 - 1) **Tracker** – měření polohy zakřivením dráhy v solenoidálním poli
 - pixelové detektory, stripové detektory → polovod.
 - driftové trubice → slabý proud plynu → ionizace
 - 2) **elmag. calor** – kalorimetr na měření energie e^\pm, γ
 - postavený tak aby se v něm e^\pm, γ zastavili
 - četný vrstevnatý ionizační LAr → detekce
 - ↳ pro hloubkový vrstevnatý Pb na rozdíly správek
 - 3) **hadronový calor** – kalorimetr na měření energie hadronů
 - hadrony v něm dopadají nejhlouběji E + rozvíjející správek
 - TileCal – Fe na zastavení, rozvíjící správek
 - scintilátory na měření energie
 - 4) **mišnové komory** – mišny přeměňují kalu ⇒ staci změřit polohu a porovnáním s trackerem se ziská zakřivení vrací energii ⇒ ionizační komory

Detekce neutrin

- neutrina oteragují i s slabou nejčastěji $\nu_l + n \rightarrow l^- + p$
- velké objemové nádře na zřízení proud. detekce $\bar{\nu}_l + p \rightarrow l^+ + n$
- nejčastěji plynné vodou jako zdroj n, p
- ve vodě je rozpustený četný scintilátor, který začne blikat když jede přední část lepton z rozpadu
- dohledá se fotonašobice
- Super Kamiohande, Hyper Kamiohande → Japonsko, měření oscilací
- Ice Cube – v Antarktide → v ledu oteragují ⇒ do ledu se vrtají díry, do kd. se dají scintilátory